

Technická univerzita v Liberci

Fakulta textilná



**Adhezné spojovanie textílií epoxidovými
živicami**

Jana Derevjaníková

diplomová práca

1997

TECHNICKÁ UNIVERZITA V LIBERCI

Fakulta textilná

Obor : 31-16-8 obecná technológia

Zameranie : Projektovanie konfekčných výrobkov

Katedra odevníctva

Adhezné spojovanie textílií epoxidovými živicami

Jana Derevjaníková

KOD - 312

Vedúci diplomovej práce :

Prof. RNDr. Ing. Lumobír Sodomka, CSc., F.A.B.I.

Rozsah práce a príloh

Počet strán : 59

Počet tabuliek : 9

Počet obrázkov : 11

Počet príloh : 6

Fakulta textilní

Katedra oděvnictví

Školní rok: 1996/97

ZADÁNÍ DIPLOMOVÉ PRÁCE

pro
obor 31-16-8

Derevjaníkovou Janu
Oděvní technologie
zaměření projektování konfekčních výrobků

Vedoucí katedry Vám ve smyslu zákona č. 172/1990 Sb. o vysokých školách určuje tuto diplomovou práci:

Název tématu: Adhezní spojování textilií epoxidovými pryskyřicemi.

Místo provádění práce je vedené v pracovišti vypracovávajícího vedoucího katedry.

Dohledem kvedoucího katedry je povídán všechno ohledně diplomové práce.

Zásady pro vypracování :

1. Proveďte literární průzkum adhezního spojování textilií pro konfekční aplikace.
2. Proveďte výběr vhodných textilií a zjistěte jejich významné charakteristiky pro adhezní spojení.
3. Zjistěte charakteristické vlastnosti základních a změkčených epoxidových pryskyřic.
4. Určete optimální geometrické a fyzikálně chemické podmínky pro lepení vybraných textilií epoxidovými pryskyřicemi v jedné a více vrstvách v závislosti na jejich orientaci.
5. Proveďte měření mechanických vlastností spojů, vyhodnoťte adhezní energii spojů a ekonomicky zhodnoťte vlastní provedený výzkum.

V74/97T

KODPKV
59A, 70A, 71B, 70C, 71D

Rozsah grafických prací: cca 40 grafů

Rozsah průvodní zprávy: cca 40 stran textu

Seznam odborné literatury:

1. Ježková, J.: Adhezní spoje v technických konf. jejich mechanické a reologické vlastnosti

Diplomová práce, TU Liberec, 1996

2. Lidařík, M. a kol.: Epoxidové pryskyřice

SNTL Praha, 1983

3. Sodomka, L.: Energie a adhezní síly uhlíkových vláken a epoxidovou matricí

Plasty a kaučuk 29, 1992, 7/8

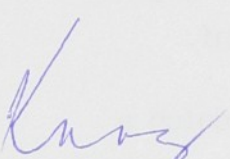
4. Foltín : Příručka pro chem.vláknáře

Vedoucí diplomové práce: Prof.RNDr.Ing. L. Sodomka, CSc.

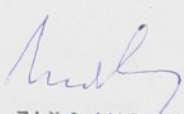
Konzultant:

Zadání diplomové práce: 30.10.1996

Termín odevzdání diplomové práce: 30.5.1997


Doc. Ing. Otakar Kunz, CSc.
Vedoucí katedry




Prof. Ing. Jiří Miličký, CSc.
Děkan

V Liberci dne 30.10.1996

Miestopísané prehlásenie :

Miestopísané prehlasujem, že som diplomovú prácu vypracovala samostatne s použitím uvedenej literatúry a s pomocou vedúceho diplomovej práce.

Jana Derevjaníková

Jana Derevjaníková

V Liberci dňa 30. mája 1997

OBSAH

1. VEDÚCEMOM A ZÁROVEŇI

1.1. Vedúciemom

1.1.1. Obecné predpoklady

1.1.2. Predpoklady vo viede o mechanických vlastnostiach materiálu

1.2. Zároveňi

1.2.1. Zároveňi

1.2.2. Lepený spoj

1.2.2.1. Pôvodnosť materiálu súpravy lepeného spoja

počítačové modelovanie materiálu

1.2.2.2. Výroba materiálu a lepenie do súpravy

POĎAKOVANIE

Chcela by som podľať vedúcemu a zároveň i konzultantom mojej diplomovej práce Prof. RNDr. Ing. L. Sodomkovi, CSc., F.A.B.I. za odborné vedenie a pomoc pri jej vypracovaní .

3. METODOLÓGICKÉ ČASŤ

3.1. Rečenie o metodike

3.2. Príprava vzoriek

3.2.1. Struktúra vzoriek, ich úprava a znázornenie

3.2.2. Váženie

3.2.3. Lepenie

3.3. Meranie mechanických vlastností adhezných spojov

3.3.1. Základné pojmy

3.3.2. Popis metódy - postupy a jeho technické založenie

3.3.3. Postup merania a jeho výhodnosti

3.4. Meranie mechanoluminiscencie a skenovaciej mikroskopie

3.4.1. Obecné predpoklady

3.4.2. Postup merania a jeho výhodnosti

OBSAH:

PREHLAD SYMBOLOV A ZNAČIEK

1 ÚVOD

2 VŠEOBECNÁ ČASŤ

2.1 Adhezné spoje v textilnom priemysle	7
2.2 Rozdiely vo vlastnostiach klasického a adhezného spojovania	8

3 TEORETICKÁ ČASŤ..

3.1 Teória adhézie	10
3.2 Lepený spoj	17
3.2.1 Predpoklady vzniku lepeného spoja, jeho štruktúra a požadované vlastnosti spojov	17
3.2.2 Vliv lepeného materiálu a lepidla na vlastnosti spoja	19
3.3 Lepidlá	25
3.3.1 Kvalifikácia lepidiel	25
3.3.2 Epoxidové lepidlá	25
3.4 Luminescencia	29
3.4.1 Základy luminescencie	29
3.4.2 Mechanoluminescencia	30

4 EXPERIMENTÁLNA ČASŤ

4.1 Rozbor tkanín	33
4.2 Príprava vzoriek	35
4.2.1 Strihanie vzoriek, ich úprava a značenie	35
4.2.2 Váženie	37
4.2.3 Lepenie	37
4.3. Meranie mechanických vlastností adhezných spojov	43
4.3.1 Základné pojmy	43
4.3.2 Popis meracieho prístroja a jeho technické údaje	43
4.3.3 Postup merania a jeho vyhodnotenie	45
4.4 Meranie mechanoluminescencie a akustickej emisie	52
4.4.1 Obecné predpoklady	52
4.4.2 Postup merania a jeho vyhodnotenie	53

5 EKONOMICKÉ ZHODNOTENIE DIPLOMOVEJ PRÁCE	56
6 ZÁVER	57
Zoznam literatúry	
Zoznam príloh a ich rozsah	

Definícia pojmov

b_1 - energie polárity	
m_1 - hmotnosť vzdialky pre lepešku	
m_2 - hmotnosť vzdialky pre lepešku	
m_3 - hmotnosť lepešky	
b_2 - hrúbka lepešky	
m_{10} - hmotnosť pôvodnej výrobky	
m_{11} - hmotnosť drahéj výrobky	
b_3 - hmotnosť	
a_1 - výberový rozsah	
a_2 - výberový rozsah v opačnej smerovej	
A_1 - výberový rozsah v opačnej smerovej	
A_2 - výberový rozsah v smerovej	
B_1 - výberový rozsah v opačnej smerovej	
B_2 - výberový rozsah v smerovej	
C_1 - výberová domena s názvom ZnS	
C_2 - výberová domena	

Definícia pojmov je základom pre výberové hodnotenie.

Hmotnosť je množstvo materiálu, ktoré má určitá objem.

Výberový rozsah je výberový rozsah v opačnej smerovej.

Výberový rozsah v opačnej smerovej je výberový rozsah v opačnej smerovej.

Výberový rozsah v smerovej je výberový rozsah v smerovej.

Výberová domena je výberová domena s názvom ZnS.

Výberová domena s názvom ZnS je výberová domena s názvom ZnS.

Lepeška je lepeška s vysokou hmotnosťou.

Lepeška s vysokou hmotnosťou je lepeška s vysokou hmotnosťou.

Lepeška s nízkou hmotnosťou je lepeška s nízkou hmotnosťou.

Lepeška s nízkou hmotnosťou je lepeška s nízkou hmotnosťou.

Lepeška s nízkou hmotnosťou je lepeška s nízkou hmotnosťou.

Lepeška s nízkou hmotnosťou je lepeška s nízkou hmotnosťou.

Prehľad symbolov a značiek

W - adhezná práca

γ - povrchové napatie

E_L - energia polarity

m_1 - hmotnosť vzorky pred lepením

m_2 - hmotnosť vzorky po lepe

m_L - hmotnosť lepidla

h_L - hrúbka lepidla

m_{01} - hmotnosť prvej vzorky

m_{02} - hmotnosť druhej vzorky

ba - bavlna

sk - sklenená tkanina

O - strihané vzoriek v smere osnovy

Ú - strihané vzoriek v smere útku

45 - strihané vzoriek v smere 45°

Ml - machanoluminescencia

AE - akustická emisia

sk_p - sklenená tkanina s nanosom ZnS

1 ÚVOD

Rozvojom techniky sa adhezné spoje začali využívať v rôznych odvetviach priemyslu. Niektoré ich špecifické vlastnosti a variabilita daná množstvom rôznych druhov lepidiel umožňuje a uprednostňuje ich technické využitie tam, kde ostatné spoje svojimi vlastnosťami nevyhovujú požadovaným potrebám.

Nemožme však očakávať, že každé lepidlo poskytne pevné spoje na všetkých druhoch materiálov. Univerzálne lepidla neexistujú. Iba s určitými druhmi lepidiel, na konkrétnych materiáloch a za určitých pracovných podmienok je možné dosiahnuť spoje s optimálnymi vlastnosťami v určitom smere. [1] Preto je nutné v praxi každý adhezný spoj najskôr overiť a porovnať s jeho požiadavkami.

Cieľom tejto diplomovej práce bolo vytvoriť adhezné spoje z prírodných a chemických vláken v ich extréme, t.j. pevné a krehké, zistiť ich mechanické vlastnosti v závislosti na použitom lepidle a anizotropii tkanín a určiť optimálne geometrické podmienky lepenia.

K experimentu bola použitá bavlnená a sklenená tkanina. Na lepenie bolo použité epoxidové lepidlo ChS 510. K zisteniu mechanických vlastností bola zvolená štandardná ľahová skúška pevnosti a ľažnosti plošných textílií skúška pevnosti vrstiev spoja.

V závere bolo prevedené i ekonomicke vyhodnotenie tejto práce.

Vývoj adhezného spojovania je stále v začiatkoch takže každá informácia z tejto oblasti je potrebná. I výsledky získané z tejto diplomovej práce prispievajú k ďalšiemu rozšíreniu poznatkov o problémoch a možnostiach lepenia v textilnom priemysle.

2 VŠEOBECNÁ ČASŤ

2.1 ADHEZNÉ SPOJE V TEXTILNOM PRIEMYSLÈ

Lepenie , ako aj iné spracovateľské metódy , si našlo svoje miesto v textilnom priemysle tiež. Touto problematikou sa podrobnejšie zaoberá M. Osten v knihe Práce s lepidly a tmely , SNTL Praha 1986.

Pre väčšinu textilií je charakteristickým znakom nasiakavosť a prieplustnosť plynov. Adhezné vlastnosti textílie sú dané zložením vlákien , na ktorých záleží i odolnosť textílie voči chemikáliám a rozpúšťadlám , a na ich úprave. Textílie sa spracovávajú pomocou lepidiel dvoma spôsobmi , a to tak , že : a) textília je pojivom úplne presýtená

b) pojivo je uložené na jej povrchu.

Úplné presýtenie pojivom je typické pre priemyslovú výrobu viacvrstvých konštrukčných materiálov - laminátov. V tomto prípade sa najskôr prevádzka impregnácia bavlnenej tkaniny , ktorá je v plátnovej alebo keprovej väzbe,fenolformaldehydovou alebo melaminformaldehydovou živicou. Po vysúšení sa impregnovaný textil nakrája na diely , navrství sa do zložiek a potom sa lisuje pri stanovenej teplote a tlaku.

Spojovanie textílie povrchovo nanášanými lepidlami sa používa v odevnom priemysle , v čalunickej výrobe , pri výrobe kobercov a pod. .

V odevnom priemysle sa od lepeného spoja vyžaduje , aby svojimi vlastnosťami zodpovedal vlastnostiam spájaného materiálu a vytvoril spoj , ktorý by sa svojimi parametrami vyrovnal šitým spojom. Musí sa bráť do úvahy hlavne to, že spájané materiály nemusia mať rovnaké vlastnosti , mechanické či chemické, a od jednotlivých druhov švov nie sú požadované rovnaké hodnoty parametrov , napr.pevnosti. Práve preto nie je možné lepiť všetky druhy materiálov rovnakým lepidlom. Z toho vyplýva , že lepidlo sa musí vyberať podľa druhu materiálu a požadovaných vlastností spoja. Základné požiadavky , ktoré musí splniť lepidlo , budú podrobnejšie uvedené v kapitole 3.2.2. .

Stupeň dôležitosti požiadavku pre spájanie textilných súčiastok závisí od druhu a charakteru odevného výrobku.

V odevnej výrobe sa tento netradičný spôsob spájania , s ohľadom na vysoké nároky na lepený spoj a malú paletu vhodných lepidiel , používa obmedzene , a to na :[6]

- zaistovanie odevných okrajov
- plošné lepenie
- bodové lepenie
- kontinuálne lepenie

Zaistovanie okrajov sa prevádzka ich zmáčaním pojivom . Tým sa okraj spevní. Pojivo sa nesmie rozkladať pri bežnom praní a chemickom čistení.

Plošné lepenie je zrovnatelné so šitím. Používa sa na podlepovanie , ktoré má vliv na tvárovú stálosť výrobku. Kritérium akosti je v odevnom priemysle i pevnosť švov. Pevnosť lepených spojov v odlupovaní u tzv. nosných švov musí dosahovať minimálnu hodnotu 200 N/5cm a u spojov pomocných s charakterom vystužovania 15 N/5cm . Vyžaduje sa pritom primeraná tuhosť a pružnosť filmu lepidla a jeho odolnosť voči horúcej vode .

Bodové lepenie sa používa iba na opravárenské práce.

Kontinuálne lepenie sa používa pri výrobe plášťov do dažďa a výrobkov , u ktorých sa predpokladá nepriepustnosť vody a plynov.

Táto spracovateľská metóda je v odevnom priemysle zatiaľ vo vývoji vzhľadom k jej náročnosti na použie energie a lepidiel.

2.2 ROZDIELY VO VLASTNOSTIACH KLASICKÉHO A ADHEZNÉHO SPOJOVANIA .

Pre porovnanie adhezného spojovania so šitím si najskôr musíme uvedomiť , aké faktory ovplyvňujú správny vznik spoja.

Pri šítí to sú : šitý materiál a správna voľba nite , ihly , hustota a druh stehu .

U lepených spojov to je : lepený materiál , použité lepidlo , technologický postup , fixácia spoja a podmienky jeho vytvrdzovania .

Pri výbere typu spoja preto musíme bráť do úvahy prednosti a výhody lepenia v zrovnani s tradičnými spôsobmi spájania [1] :

Výhody lepenia :

- ⇒ možnosť spájania rovnakých alebo rôznorodých materiálov bez ohľadu na ich hrúbku
- ⇒ aplikáciou lepidiel nie je narušovaná celistvost súboru
- ⇒ lepením sa takmer nezvyšuje hmotnosť súboru
- ⇒ spoje môžu byť prehliadne alebo farebne prispôsobené
- ⇒ lepením sa dosahuje vysokých pevnosti , najmä pri namáhaní v šmyku a rázovej pevnosti
- ⇒ je možné pripraviť spoje vodotesné a nepriepustné
- ⇒ lepené spoje nenarušujú profil a estetický vzhľad adherendov

Nevýhody lepenia :

- ⇒ kladú sa vysoké požiadavky na rovinnosť a čistotu povrchu adherendov
- ⇒ sú nutné špeciálne povrchové úpravy u adherendov so zlými adheznými vlastnosťami
- ⇒ nerozoberateľnosť spoja
- ⇒ väčšina lepených spojov je citlivá na odlupovanie
- ⇒ maximálna pevnosť spoja je dosiahnutá až po určitej dobe
- ⇒ majú obmedzenú životnosť voči vyšším teplotám
- ⇒ film termoplastických lepidiel je citlivý na dlhodobé statické namáhanie
- ⇒ lepenie v priemyselnej výrobe je náročné na vybavenie pracoviska

Pri zavádzaní tejto technológie ako náhrady za klasické štie je nutné mať na pamäti , že nie je možné dosiahnuť maximálnych úspor iba náhradou adhezného spojovania za štie. Táto technika vyžaduje väčšinou dosť podstatné zmeny v technológii výroby. Umožňuje však podstatnejšie prevádzkanie *mechanizácie a automatizácie*. A práve v tomto je nutné vidieť hlavné poslanie adhezného spojovania. Zavedenie do výroby je treba dôkladne zvážiť a náležite pripraviť. Iba tak je možné zaistiť požadovanú kvalitu výrobku a ekonomickej prínosy [8].

3 TEORETICKÁ ČASŤ

3.1 TEÓRIA ADHÉZIE [1,6]

Adhezným spojovaním sa rozumie proces spájania materiálov, rovnakých alebo rôznych druhov , pomocou lepidiel (adhezív) nanesených na spájaných materiáloch (adherendoch). Spojenie je heterogénne , pretože lepidlo a zlepované materiály vo väčšine prípadov nemajú rovnaké chemické zloženie.

Z fyzikálneho hľadiska sa vysvetľuje spojenie lepením pomocou *adhézie* a *kohézie*

Adhézia (príťavosť) je chápana ako súhrn fyzikálnych a chemických síl , ktorými sa navzájom pútajú dva povrhy , t.j. povrch spojovaného materiálu a adheziva. Medzi pojeným materiáлом a pojivom vzniká väzba , ktorú charakterizujú adhezné sily. Adhezné sily medzi dvoma fázami kvantitatívne vyjadruje adhézná práca (W_A). Je to práca potrebná k prekonaniu dvoch rôznych povrchov (fáz) o jednotkovom priemere . Adhézná práca kvapaliny na pevnom povrchu sa definuje vzťahom :

$$W_A = \gamma_{LG} (1 + \cos \theta) \quad (3.1)$$

kde : W_A – adhezná práca

γ_{LG} – medzipovrchové napätie medzi kvapalinou (L) a plynom (G)

θ – povrchový uhel

Kohézia (súdržnosť) je taký stav , pri ktorom držia molekuly alebo atómy v homogénnej látke pohromade . Kohézné sily charakterizuje tzv. kohézná práca (W_K). Je to práca potrebná k prekonaniu súdržnosti hmoty o jednotkovom priereze. Tak vzniknú dva nové povrhy o dvojnásobnej celkovej ploche a kohéznej práci :

$$W_K = 2 \gamma_A , \quad (3.2)$$

kde : W_K - kohézná práca γ_A – povrchová energia plošnej jednotky povrchu A

Na druhu a velikosti kohezných síl záležia fyzikálne a mechanické vlastnosti materiálu.

Podstatu adhéznych javov sa pokusili teoreticky a experimentálne objasniť mnohí autori. Podľa M. Ostena (1986) pri praktickom lepení stačia následujúce teórie :

Teória adhézie \Rightarrow mechanická

- \Rightarrow špecifická
- teória adsorpcie
 - teória difúzie
 - teória elektrostatická
 - teória polarizácie
 - primárne chemické väzby
 - sekundárne fyzikálne väzby

Primárne chemické väzby sa delia na : kovové

iontové

atómové (kovalentné a elektrokovalentné)

Sekundárne fyzikálne väzby (Van der Waalsové) delíme na :

elektrostatické sily Keesemové

indukčné sily Debyevové

disperzné sily Londonové

MECHANICKÁ TEÓRIA

Vysvetľuje proces lepenia prenikaním tekutého adheziva do pôrov zlepovaných materiálov. Po zatvrdnutí lepidla dôjde k spojeniu oboch povrchov zlepovaných materiálov mechanickými mostikmi adheziva , ktoré sú zakotvené v pôroch zlepovaných materiálov. Pevnosť spoja závisí na poréznosti týchto materiálov a na pevnosti vytvrdeného adheziva , t.j. na kohézií. Podľa tejto teórie by bolo možné zlepovať iba porézne a vlákenné materiály.

Podľa niektorých autorov je zvyšovanie pevnosti spoja dôsledkom zväčšenie povrchu kontaktu lepidla a zlepovaných materiálov ,a nie dôsledkom tvorby mechanických mostikov .

Mechanická teória nevysvetľuje adhéziu lepidiel k nepórezným materiálom.

ŠPECIFICKÁ TEÓRIA

Považuje za dôležitý faktor spojenia zlepovaných materiálov s dokonale hladkými rovnými plochami špecifické medzimolekulárne adhezné sily , ktoré závisia na určitých fyzikálnych a chemických vlastnostiach adheziva a adherendu. Väčšina autorov uvádza , že vznik špecifickej adhézie medzi adherendom a adhezivom je podmienený správnym priebehom dvoch fáz :

- 1) absolutný kontakt adheziva s adherendom
- 2) adsorpcia , t.j. zachytenie molekul lepidla na lepenom povrchu vlyvom sekundárnych príťažlivých síl.

Teória polarizácie (de Bruyn) :

Teória polarizácie sa zaoberá vzťahom medzi adhéziou a adhezným účinkom molekúl lepeného materiálu a lepidla. Atómy molekúl sú spojené chemickými a fyzikálnymi silami .

Elektrostatické sily Keesomové vznikajú následkom vzájomného pôsobenia permanentných dipólov , t.j. molekul s asymetrickým rozložením elektrických nábojov.

Podľa polohy elektricky aktívnych miest delíme molekuly na (obr. 3.1) :

- a) *nepolárne* - molekuly bez aktívnych miest
- b) *negatívne polárne* - molekuly s aktívne negatívnymi miestami
- c) *pozitívne polárne* - molekuly s aktívne pozitívnymi miestami
- d) *pozitívne a negatívne polárne* - molekuly s aktivne pozitívnymi a aktívne negatívnymi miestami .

V prípade , že sa dipóly vzájomne orientujú a orientácia je rušená tepelným pohybom vzniká interakčná energia , ktorá je daná vzťahom [3] :

$$E_{pk} = -2p^4 / (k_B T r^6) \quad (3.3)$$

Pozor na malú významnosť a súčasne veľkú mieru tiež

kde : p - dipólový moment

k_B - Boltzmanová konštanta

T - teplota

r - vzdialenosť medzi dipólmi

„ „ - dipóly sa pritáhujú

Indukčné sily Debyové vznikajú pôsobením pernamentného dipólu a molekúl spôsobilých polarizácie vlyvom indukcie. Sú závislé na asymetrickom rozložení náboja . Energia vzájomnej interakcie je daná vzťahom [3] :

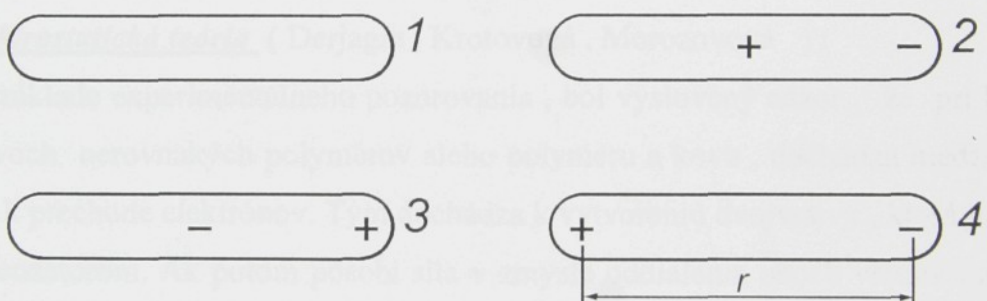
$$E_{pD} = - (2\alpha p^2) / r^6 \quad (3.4)$$

kde : α - súčinieľ indukčnej polarizovačnosti

p - velkosť pernamentného dipólu

r - vzdialosť medzi pernamentným a indukovaným dipólam

Pre lepenie nemajú veľký význam.



Obr. 3. 1. Polarita molekúl

- | | |
|--------------------------|---|
| 1) nepolárny typ | 2) negatívne polárny typ |
| 3) pozitívne polárny typ | 4) pozitívne a negatívne polárny typ r - vzdialosť jadier |

Zdroj : M. Osten (1986)

Disperzné sily Londonové sú vyvolané vzájomnou polarizačiou molekúl , ku ktorej dochádza dôsledkom protismerného pohybu välenčného elektrónu na susedných atómoch.

Pôsobia na malú vzdialosť a sú závislé vo veľkej miere od teploty. Energia týchto síl je vyjadrená vzťahom [3] :

Platí za predpokladu , že :

⇒ polymerné látky obsiahnuté v lepidlách a lepených materiáloch sú rozpustné a navzájom miesitelné

⇒ makromolekuly adheziva a adherendu vykazujú dostatočnú pohyblivosť

Zo vzťahov medzi adheznou účinnosťou a podmienkami , za ktorých došlo ku kontaktu boli vyvodené následujúce závery :

⇒ adhezná účinnosť sa zvyšuje s dobou kontaktu adherendu a adheziva

⇒ zvýšením tlaku sa zväčšuje plocha kontaktu , a tým i množstvo difundujúcich molekul

⇒ zvýšením teploty stúpa rýchlosť difúzie molekul

⇒ molekuly menších rozmerov difundujú rýchlejšie , ale poskytujú iba film s nižšou kohéziou , a tým i menej pevné spoje

⇒ rozvetvené molekuly a kopolymery , s kryštálovou štruktúrou , difúziu stážajú a znižujú adhezívnu účinnosť lepidiel.

Adsorpčná teória (Sharp , Schouhorn) :

Spočíva na termodynamických úvahach o zmáčaní pevných povrchov kvapalinami. Schopnosť zmáčania pevného telesa kvapalinami sa posudzuje podľa velikosti povrchového napäcia alebo podľa velikosti zmáčacieho (dotykového) uhlia. Zmáčaným povrch sa rozumie roztekanie kvapaliny (teda pojiva) po povrchu tuhej fáze , pričom dochádza k znižovaniu jeho povrchového napäcia. Na miestach styku dvoch fáz , napr. pevnej a kvapalnej , vzniká rozhranie , v ktorom existuje rovnováha síl (obr. 3.2.) a je daná vzťahom [3] :

$$\gamma_{SG} = \gamma_{SL} + \gamma_{LG} \cos \theta \quad (3.6)$$

kde : γ_{SG} - povrchové napätie medzi pevnou a plynnou látkov

γ_{SL} - povrchové napätie medzi pevnou a kvapalnou látkov

γ_{LG} - povrchové napätie medzi kvapalnou a plynnou látkou

θ – dotykový uhol

Obr. 3.3. Zmáčanie povrchu kvapalinou

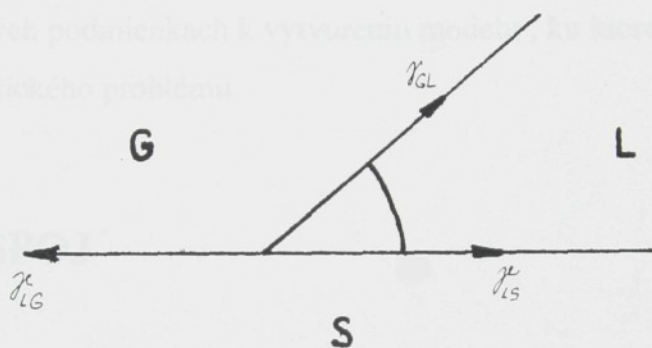
1) kopek zo železnej povrcho $\theta = 90^\circ$

2) mlieko zmáčkané povrcho $\theta < 90^\circ$

Dotykový uhol je daný vzťahom :

$$\cos \theta = (\gamma_{GS} - \gamma_{LS}) / \gamma_{LG} \quad (3.7)$$

Podľa velikosti dotykového uhlia sa určuje stupeň zmáčania povrchu (obr. 3.3.). Ak má kvapalina pevnú látku zmáčať, čo je jedná zo základných podmienok adhézie, musí byť jej povrchové napätie menšie než povrchové napätie podkladu.



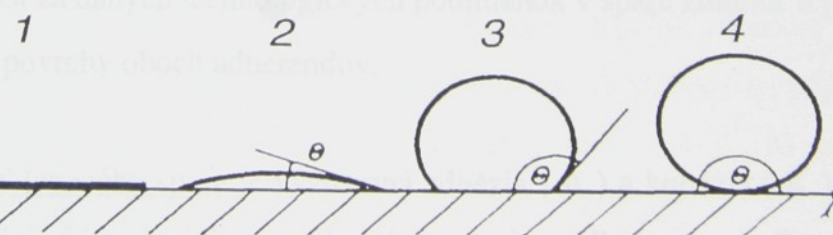
L - kvapalina (ligvidus) γ - povrchové napätie

G - plyn (gazeus) θ - dotykový (zmáčací) uhol

S - pevný substrát (solidus)

Obr. 3.2. Rovnováha sôl medzifázového rozhrania

Zdroj : Sodomka L. (1996)



Obr. 3.3. Zmáčanie povrchu kvapalinami

1) úplne zmáčaný povrch $\theta = 0$

3) málo zmáčaný povrch $\pi / 2 < \theta < \pi / 4$

2) čiastočne zmáčaný povrch $0 < \theta < \pi / 2$ 4) nezmáčaný povrch $\theta = \pi$

Zdroj : Osten M. (1986)

Štúdium adhézie

Hoci štúdiu adhézie bola venovaná veľká pozornosť , nedá sa konštatovať , žeby dnes existovala všeobecne platná teória adhézie. Preto sa nedajú predvídať alebo projektovať vlastnosti spojov a pojených útvarov , aj keď sú známe niektoré vzťahy medzi chemickou povahou a adheznými vlastnosťami , poznáme druhy väzbových síl , velkosť a podmienky ich pôsobenia.

Empíricky vývoj v tejto oblasti predišiel teóriu , tá zatiaľ iba dopĺňuje a prispieva aspoň vo vymedzených podmienkach k vytvoreniu modelu , ku ktorému sa možno priblížiť pri znalostiach teoretického problému.

3.2 LEPENÝ SPOJ

3.2.1 Predpoklady vzniku lepeného spoja , jeho štruktúra a požadované vlastnosti spojov [2]

Pre vznik súdržného spoja sú nutné následujúce fáze :

- ⇒ lepidlo musí byť naniesené alebo prenesené na obe povrchové plochy adherendov a musí ich v tekutom stave zmáčať
- ⇒ musia byť dané podmienky k tomu , aby sa v spáre vytvoril rovnomerný film lepidla
- ⇒ film lepidla musí za daných technologických podmienok v spáre ztuhnúť a podľa zásad adhézie viazať povrhy oboch adherendov.

Pre pevnosť lepeného spoja je významná adhézia (A) a kohézia (K) adhéziva k adherendom a kohézia filmu lepidla po stuhnutí a vytvrdení. Pri nerovnováhe adhezných a kohezných síl nastanú pri mechanickom namáhaní tieto prípady :

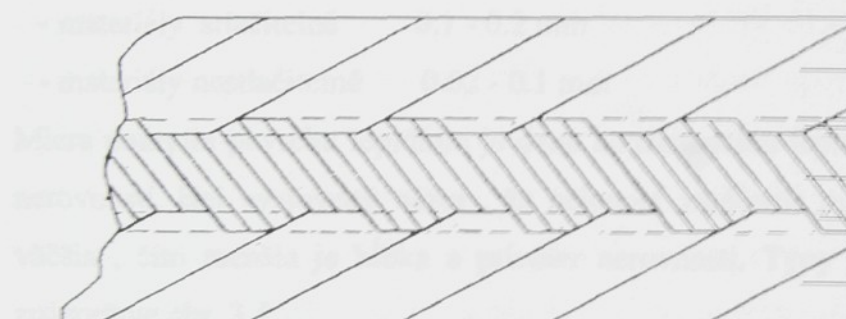
- ak $K < A$ potom pri mechanickom namáhaní nastanie porušenie materiálu mimo lepený spoj

- ak $A < K$ potom pri mechanickom namáhaní nastanie deštrukcia spoja

Štruktúra spoja :

Každý lepený spoj môžeme považovať za súbor piatich navzájom viazaných vrstiev , ktoré značne môžu ovplyvniť kvalitu spoja. Sú to tieto vrstvy (obr. 3.4.) :

- a) lepený materiál na jednej strane spoja
- b) mikrovrstva , kde sa lepidlo a nerovnosti povrchu prelínajú , na jednej strane spoja
- c) vlastný film lepidla
- d) mikrovrstva na druhej strane spoja
- e) adherend na druhej strane spoja



Obr. 3.4 Schéma štruktúry lepeného spoja

Zdroj : Osten M. (1974)

Požadované vlastnosti spojov sú dôležitým hľadiskom pre výber lepidla a technológie lepenia. Sú to nároky na mechanickú pevnosť , tepelnú odolnosť , chemickú stálosť , vodovzdornosť spoja , odolnosť voči poveternostným vlyvom „poprípade ďalšie. Nie vždy je možné vyhovieť všetkým nárokom , preto je treba zvážiť , čo je z hľadiska funkcie použitia spoja najdôležitejšie.

3.2.2 Vliv lepeného materiálu a lepidla na vlastnosti spoja [1]

LEPENÝ MATERIÁL (ADHEREND)

⇒ Geometria povrchu

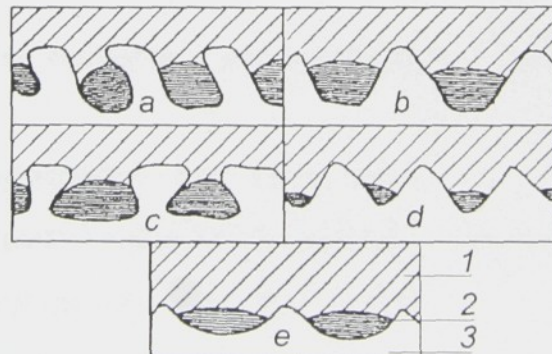
U lepených plôch rozlišujeme povrch :

- a) *viditeľný* - je daný konštrukčnými rozmermi
- b) *mikropovrch* - t.j. teoretický možná styčná plocha , vrátane všetkých nerovností a pôrov
- c) *účinný* - je časťou mikropovrchu , ktorý je zmáčaný lepidlom

Pre vytvorenie súvislého rovnomerného filmu je nutné , aby styčné plochy adherendov boli súbežné. Prípustné nerovnosti spáry , uvádzané v literatúre , sú :

- materiály stlačiteľné 0.1 - 0.2 mm
- materiály nestlačiteľné 0.02 - 0.1 mm

Miera pokrycia povrchu lepidlom je daná konzistenciou lepidla , čistotou povrchu a tvare nerovností. Bol vyslovený názor , že účinnosť zmáčania mikropovrchu lepidlom je tým väčšia , čím menšia je hĺbka a priemer nerovnosti. Typy nerovnosti podľa de Bruyna znázorňuje obr. 3.5.



Obr. 3.9. Tvary nerovnosti mikropovrchu

- a) válcová nerovnosť ,
- b) kónická otvorená nerovnosť ,
- c) kónická uzavorená nerovnosť ,
- d) kónická plochá nerovnosť ,
- e) miskovitá nerovnosť

Zdroj : Osten M. (1974)

⇒ Zloženie a chemická účinnosť adherendu

Optimálne ovplyvnenie súdržnosti spoja je dané autoadhéziou adherendov alebo vznikom priamych chemických väzieb.

⇒ Zmáčavosť

Predpokladom adhezívnej aktivity podkladu je , aby dotykový uhol $\theta < 30^\circ$. Zmáčavosť adherendu priaznivo ovplyvňujú niektoré povrchové úpravy. Zmáčacia účinnosť lepidiel sa zvyšuje tenzidmi.

⇒ Čistota povrchu

Pre dosiahnutie súdržného spoja je nutný maximálny kontakt lepidla s mikropovrchom adherendu. Ak sú kontaktné plochy znečistené , lepidlo sa nedostane k povrchu lepeného materiálu , ale iba k povrchu nečistoty , takže pevnosť spoja potom závisí na súdržnosti nečistôt. Za nečistý povrch môžme považovať každý povrch , ktorý neboli pred lepením samostatne upravený. Čistenie sa prevádzza rozpúšťadlami alebo mechanicky.Dokonale očistenie textilných materiálov , používaných pre spojovanie lepením , je veľmi obtiažne , preto pri výbere lepidla musíme predpokladať ,že povrch vlákien nebude zbavený nečistôt a že tento faktor ovplyvní konečnú pevnosť spoja.

⇒ Priepustnosť plynov

Je podmienená vlhkosťou , četnosťou a prepojením pôrov. Je dôležitá pre výber lepidla a pracovného postupu.

Poznáme materiály : • nepriepustné - napr. kovy , sklo

- priepustné - napr. textilné materiály , drevo
- polopriepustné - napr. fólie , betóny

V praxi sa stretávame s ich kombináciou.

⇒ Hrúbka a tuhosť

Je dôležitá pre výber lepidla. Ak je materiál hrubý a málo ohybný , klesá so vzrástajúcou hrúbkou adherendu i pravdepodobnosť deformácie spoja a zvyšuje sa jeho odolnosť voči dynamickému namáhaniu. Nepriaznivý vliv deformácie môžeme odstrániť konštrukčnou úpravou spoja , zväčšením hrúbky adherendu alebo dosiahnutím rovnakej elasticity filmu lepidla na povrchu adherendu.

⇒ Súdržnosť povrchu

Je daná zložením adherendu , jeho štruktúrou a povrchovou úpravou. Obyčajne platí že , čím väčšia je objemová hmotnosť materiálu , tým súdržnejší je povrch .

⇒ Rozpustnosť , bobtnavosť

Rozpustnosť adherendov môže byť za rovnakých podmienok i príčinou chyby spoja. Stáva sa to najmä pri veľkom nánose lepidla a krátkej dobe otvorennej zostavy spoja , kde nemôže rozpúšťadlo uniknúť a na povrchu rozpusteného adherendu vznikajú defekty. Defekty vznikajú i pri bobtnavosti jedného z materiálov , ak ide o heterogénny materiál.

⇒ Teplotná dĺžková roztažnosť

Zmeny rozmeru materiálu závisia na jeho štruktúre , tvare a teplote. U materiálov s orientovanou štruktúrou je zväčšenie rozmerov väčšie v smere usporiadania makromolekúl. U materiálov s neorientovanou štruktúrou je zväčšenie vo všetkých smeroch rovnaké.

Pri lepení môžu nastat' tieto prípady :

- pri lepení rovnakých materiálov je zmena rozmerov vyvolaná teplotnou dĺžkovou roztažnosťou minimálna
- pri lepení rôznych materiálov sa môže rozmerová zmena prejavit' deštrukciou spoja , napr. popraskaním , odlupovaním spoja

Pre materiály s vysokou teplotnou roztažnosťou musia byť aplikované lepidlá poskytujúce pružný film. Vytvrdzovanie lepidla by malo prebiehať za teploty , v akej bude v praxi daný súbor používaný.

LEPIDLO (ADHEZIVO)

Adheziva sú najčastejšie makromolekulárne látky vhodných deformačných schopností. Najlepivejšie sú v kvapalnom stave , do ktorého sa dostávajú rozpustením , roztavením alebo emulgovaním. Zložením adheziva dosiahneme tvárovú stálosť lepeného spoja [6].

⇒ Zloženie a tvar makromolekuly

Pozri kapitolu : Epoxidové lepidlá

⇒ Polymeračný stupeň

S narastajúcou dĺžkou makromolekul , t.j. s vyšším polymeračným stupňom , stúpa viskozita roztoku a kohézia filmu lepidla , pričom adhézia klesá. Platí to i opačne.Dobré lepidlo preto musí obsahovať vysokomolekulárne i nízkomolekulárne zložky. Pre prípravu lepidiel je vhodný polymeračný stupeň od 50 do 300 .

⇒ Viskozita

Je to miera vnútorného trenia v kvapaline. Závisí na obsahu a polymeračnom stupni filmotvornej látky , obsahu a kvalite plniva , na pomere rozpúšťadla k riedidlu a na teplote. Upravuje sa , podľa pokynov výrobcu lepidla , miešaním s lepidlom inej viskozity alebo pridaním plniv. Upravené lepidlo sa musí po povrchu adherendu rovnomerne rozlievať a tvoriť viditeľný lesklý film.

⇒ Homogenita.

Je základným predpokladom pre tvorbu dobrého spoja. Preto je nutné rešpektovať predpísané miesenie lepidiel a použitých prísad. Tvrďadlo sa väčšinou pridáva ako posledné.Znížená homogenita je zapríčinená nevhodným skladovaním alebo prešľou životnosťou lepidla.

⇒ Objemová stálosť'

Rozumie sa tým zmena objemu lepidla pri premene z tekutého stavu na tuhý film.Čím väčší je obsah aktívnych zložiek a palív v lepidle ,tým menšie sú následné objemové zmeny. Pod pojmom aktívne látky rozumieme nielen polymer , ale i ďalšie látky schopné reakcií.

⇒ Štruktúra a zloženie plniva

Delíme ich na organické a anorganické .

Organické plnivá sú mäkké. Ich nevýhodou je , že znižujú vodovzdornosť a objemovú stabilitu lepidla.

Anorganické plnivá delíme na :

- plnivá s doštičkovou štruktúrou (kaolin , slúda ...) zvyšujú konzistenciu zmesi a zhoršujú mechanické vlastnosti
- plnivá s vlákennou štruktúrou (azbest , sekané sklenené vlákná) značne zvyšujú viskozitu zmesi

- ostrohranné plnivá (mletý porcelán , kovy ...) zvyšujú elektrickú vodivosť filmu lepidla pri správnom pomere

3.2.3 Technologické podmienky tvorby spoja [1,2]

K technologickým podmienkam patrí : 1) konštrukcia lepených spojov

- 2) predbežná úprava spojovaných plôch
- 3) príprava adheziva
- 4) nános lepidla
- 5) fixácia spoja a pôsobenie tlaku
- 6) teplota a doba tuhnutia
- 7) stav výrobného zariadenia

K niektorým bodom podrobnejšie :

ad 1)

Lepené spoje sú namáhané v ťahu , tlaku , šmyku , v odlupovaní , v rázovej pevnosti v krútení a pod. , preto musí byť spoj konštrukčne upravený tak ,aby bol čo najmenej namáhaný , najmä v odlupovaní a krútení. Namáhanie sa v týchto prípadoch sústredí iba do určitých miest spoja ,čo vedie k lokálnemu pretrhnutiu a poškodeniu filmu lepidla. Z technologického hľadiska musíme pri konštrukcii spoja dbať i na to , aby dotykové plochy adherendov boli málo členité a po zlepení nevyžadovali ďalšiu úpravu. V experimentálnej časti sú využité preplátované spoje (obr.4.4) , ktoré sa používajú pri lepení tenkých materiálov ,pretože je tu možné zanedbať vliv ohybového momentu. Ťahové napätie sa u týchto spojov sústredí na koncoch preplátovania a pôsobí ako odlupovacia sila. Dĺžka preplátovaného spoja záleží na druhu materiálu a jeho hrúbke.

ad 4)

Má byť rovnomerný s primerané hrubým filmom lepidla v spáre. Súdržnosť spoja závisí od optimálneho nánosu lepidla danej akostí pre určité vlastnosti oboch adherendov vhodnou technológiou nanášania lepidla , fixácie spoja a spôsobu vytvrdzovania. Pre akosť lepidla je dôležitý obsah sušiny.Limitujúcim činiteľom pre nános lepidla je pôrovitosť , hrúbka a štruktúra adherendu. Optimálny nános lepidla má umožňovať hrúbku filmu v

spare 0.05 - 0.25 mm. O tom či má byť nános jednostranný alebo obojstranný rozhoduje druh lepidla a charakter spoja.

ad 5)

Fixácia (zaistenie) je dôležitým úkonom pred pôsobením tlaku na spoj , pretože niektoré lepidlá v prvej fáze vytvrdzovania zriednu , čím by mohlo dôjsť k posunutiu adherendov.

Účelom pôsobenia tlaku na spoj je rovnomerné rozvrstvenie lepidla v spáre a vyrovnanie menších nerovností povrchu. Tlak musí pôsobiť kolmo na lepené plochy a musí byť primeraný k tlakovej pevnosti podkladu.

Chyby : nadmerný tlak zapríčinuje nesúdržnosť spoja , pretože môže vytlačiť lepidlo,

nedostatočný tlak vedie k nerovnosti rozvrstvenia lepidla , z čoho vyplýva nekvalitný spoj

ad 6)

Doba otvoreného zostavenia spoja je časový interval začínajúci v okamžiku nanesenia tekutého lepidla a končiaci priložením druhej plochy , t.j. uzavorením spoja.

Doba uzavoreného zostavenia spoja začína v okamžiku , keď obe lepené plochy boli boli na seba priložené ,až do okamžiku zavedenia tlaku.Táto doba musí byť čo najkratšia , aby nedošlo k stuhnutiu lepidla pred začiatkom pôsobenia tlaku.

Tuhnutie lepidla v spoji

Podmienkou vytvorenia filmu lepidla , ktoré je schopné adhézie , je jeho prechod z fáze tekutej do fáze tuhej. Spôsob , akým to prebieha , charakterizujú jednotlivé skupiny lepdiel. Rýchlosť tuhnutia môže byť ovlyvnená teplotou okolia alebo umelým teplotným režimom , preto rozlišujeme :

- *lepenie za normálnej teploty* od + 15°C do + 25°C
- *lepenie za tepla* od + 30°C do + 100°C
- *lepenie za horíca* > 100°C

Maximálne vytvrdenie lepidla neznamená maximálnu pevnosť spoja .Limitným činiteľom pre urýchlenie tvrdnutia lepidla je tepelná odolnosť a rozdiel teplotnej dĺžkovej roztažnosti oboch adherendoch .

3.3 LEPIDLÁ

3.3.1 Kvalifikácia lepidiel

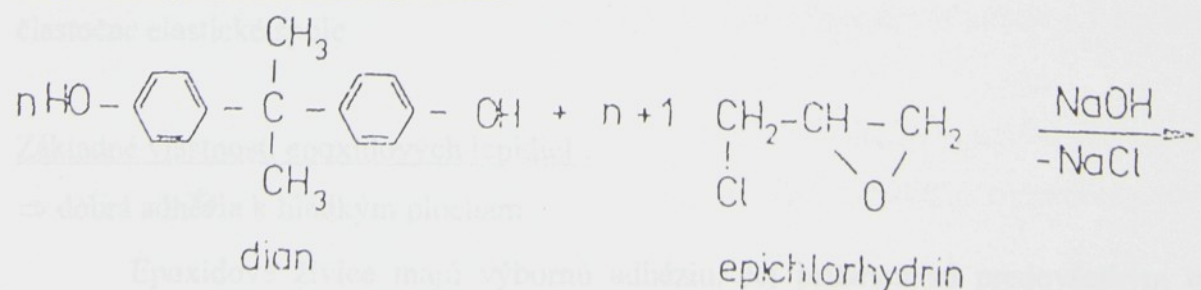
Adheziva tvoria širokú skupinu spojovacích materiálov. Rozdeliť ich do jednotlivých kategórií môžme rôznymi zpôsobmi podľa niekoľkých hľadísk.V tabuľke 3.1. je podrobne rozdelenie lepidiel podľa M. Ostena (1974) .

3.3.2 Epoxidové lepidlá [7]

Týmto lepidlám bude venovaná väčšia pozornosť , pretože boli použité v experimentálnej časti pri lepení textilných tkanín.

Priprava epoxidových živíc je založená na reakcii viacmocných fenolov s epichlorhydrinom. Ako viacmocný fenol sa najčastejšie používa dian [bisfenol A ,2,2 - bis(4-hydrofénolpropan)].

Schéma prípravy epoxidovej živice :



Zdroj : M. Osten (1986)

Podľa vzájomného pomeru oboch zložiek a podmienok vytvrdzovania vznikajú živice s rôznymi vlastnosťami.

Vytvrdzovanie epoxidových živíc je proces , v ktorom sa pomocou chemických reakcií prevádzajú nízkomolekulárneé , rozpustné a tavitelné epoxidové monomery a oligomery na netavitelné a nerozpustné polymery. Epoxidové živice po vytvrdenutí získavajú mnoho nových vlastnosti, ako je napr. mechanická pevnosť , „kaučukovitá elasticita“, rozmerová stálosť , tepelná odolnosť a pod. , ktoré sú nutné pre ich aplikáciu. Vytvrdzovanie sa prevádzka pomocou tzv. *tvrdidiel* za normálnej teploty až po teploty do

200 °C. Tvrđidlá sú jednak látky schopné reagovať s epoxidovými, poprípade s hydroxylovými , skupinami prítomnými v živici , takže sa stávajú súčasťou vytvorenej siete , jednak sú to látky , ktoré iba iniciujú polymeráciu epoxidových skupín a vzniknutá sieť je zložená iba zo segmentov epoxidových živíc.U niektorých typov tvrdidiel prebiehajú oba typy polyreakcií súčasne a vo vznikutej sieti sú prítomné obe štruktúry vedľa seba. Tvrđidlom bývajú polyaminy.Najbežnejším tvrđidlom pre lepenie za normálnej teploty je diethylentriamin (P11) .

Epoxidové živice sa ako lepidlo používajú buď bez ďalších úprav alebo sú ich vlastnosti upravené látkami ako sú zmäkčovadla , reaktívne rozpúšťadlá. V nevytvrditelnom stave sú kvapalné a sú rozpustné v ketonoch , esteroch ,v aromatických a chlorovaných uhl'lovodíkoch , a vo vyšších alkoholoch. Vytvrdzovanie epoxidových lepidiel oboch skupín, t.j. tvrditelných za tepla i studena, sa môže urýchliť pridaním vhodného urýchľovača. Vytvrdzené epoxidové lepidlá vytvárajú nerozpustné , netavitelné a čiastočne elastické spoje.

Základné vlastnosti epoxidových lepidiel :

⇒ dobrá adhézia k hladkým plocham

Epoxidové živice majú výbornú adhéziu. Jej príčinou sú predovšetkým epoxidové a hydroxylové skupiny , poprípade niektoré skupiny vnesené tvrđidlom. Epoxidové

skupiny majú vlyv na adhéziu iba v prvej fáze lepenia , t.j. vo fáze zmáčania povrchu , v ďalšom pochode miznú reakciou s tvrdidlami , s ktorými tvoria makromolekulu.

⇒ dobrá kohézia po vytvrdení

Kohézia je dôsledkom prítâžlivých sôl medzi molekulami živice. Dodáva filmu a lepidlu dobré chemické vlastnosti , pričom je i znakom dobrej pevnosti v odlupovaní .

⇒ pri vytvrdzovaní nesmie v lepidle vznikať žiadne pnutie oslabujúce adhéziu , to znamená

že lepidlo musí mať minimálnu zmrštitelnosť a nesmie obsahovať tekavé zplodiny , vzniknuté reakciou alebo z použitých rozpúšťadiel

Tento bod splňajú velmi dobre, pretože reakcia vytvrdzovania prebieha za nepatrných objemových zmien , pričom nevznikajú žiadne tekavé zplodiny. Z tohto dôvodu nie je nutný vysoký tlak. K fixovaniu lepených dielov postačí tlak s minimálnou hodnotou 0.02 MPa pri optimálnej hrûbke filmu lepidla 0.1 -0.2 mm.

⇒ musia mať dobré elektroizolačné vlastnosti

Ich elektrická vodivosť je asi 25 kV/mm a merný vnútorný odpor je väčší než 10^{12} Ωcm . Takže táto podmienka je tiež splnená.

⇒ musia mať najmenej podliehať stárnutiu a mať dobrú chemickú odolnosť

Stárnutie epoxidových živíc je nepatrné.

⇒ musia byť jednoduchým zpôsobom zpracovateľné a nesmú mať fiziologicky škodlivé účinky.

Aplikácia epoxidov :

Použitie epoxidov pre ich výborné vlastnosti sa rozšírilo v rade odvetví : strojárskom priemysle , v leteckom a elektrotechnickom priemysle, v stavebnictve , v lekárstve , v drevárenskom a nábytkárskom priemysle , výtvarnom umení , v optike , pri reštaurátoriských prácach.

Významné použitie je i v textilnom priemysle. Používajú sa napríklad ako apretačné činidlá , stabilizátory , zmäkčovadlá , systémy pre antistatickú a hydrofóbnu úpravu textilných materiálov , i ako lepidlá .

podľa pôvodu	organické z prírodných surovín	živicové
		škrobové
		glutinové
		albuminové
		bitumenové
	organické syntetické	polykondenzačné
		polymeračné
		polyadičné
	anorganické	vodné sklo
		cementy
		sádra
	zmiešané	albumín - cement
		albumin - síra
		močovinové s vodným sklom a pod.
podľa konzistencie	tuhé	lepiace fólie
		lepidlá v prášku a granuliach
	polotuhé	lepiace pásky
		lepiace pasty
		lepisťe tmely
	tekuté	lepidlá v roztoku
		lepidlá disperzné
podľa spôsobu	reaktívne jednozložkové	tuhnú účinkom zvýšenej teploty alebo vlhkosti
tuhnutia	reaktívne dvoj a viac zložkové	tuhnú vplyvom tvrdiacich katalyzátorov
	nereaktívne - roztokové	tuhnú vyparením vody alebo rozpúšťadla
	- disperzné	tuhnú vsiaknutím vody do podkladu
	- taveninové	tuhnú po ochladení spáry na normálnu teplotu
	stále lepisťe	
podľa tepelných vlastností filmu	termosetové	fenolické
lepidla		rezorcinové
		močovinové
		melaminové
		epoxidové
		polyuretanové
		polyesterové
	termoplastické	polyvinylacetátové
		polyvinylchloridové
		polymetakrylátové
		polyvinylacetátové
		polystyrénové
		polyamidové
		z derivátov celulózy
	kaučukové	chlórkaučukové
		polychloroprenové
		polybutadiénakrylonitrilové
podľa odolnosti filmu lepidla k	neodolné vode	škrobové
		glutinové

vode		
		albuminové
		polyvinylalkoholové
		metylcelulózové
		karboxymetylcelulózové
krátkodobo odolné vode		močovinové
		polyvinylacetátové
		nitrátcelulózové
		polyvinyléterové
trvale odolné vode		fenolformaldehydové
		rezorcinové
		melaminové
		polyuretánové
		polyesterové
		polymetakrylátové
		epoxidové

Tab. 3.1. Klasifikácia lepidiel

Zdroj : Osten M. (1986)

3.4 LUMINESCENCIA

3.4.1 Základy luminescencie [4,5]

Luminesenciou sa podla Vavilova [4] rozumie taká vlastnosť plynnych a kondenzovaných látok , ktorých odozva na pôsobiacu vonkajšiu energiu sa prejavuje vyžiarovaním , emisiou , elektromagnetického , väčšinou svetelného žiarenia v dobe dlhšej než 10^{-10} s. Luminescenciu kvalifikujeme ako nerovnovážne žiarenie.

Do luminescenčného žiarenia nepočítame rovnovážne tepelné žiarenie , odrážané žiarenie a Čerenkovovo žiarenie .

Luminescencia je pozorovateľná vo všetkých skupenstvách : plynnom , kvapalnom a tuhom , a to látiek organických i anorganických. Látkami kondenzovanými sa spoločne nazývajú látky tuhé a kvapalné.

Látky , ktoré java luminescenciu , voláme *luminofóry*. V súčasnosti je ich veľké množstvo a luminescencia v nich vzniká rôznymi pochodmi. K najdôležitejším látkam ,

ktoré sa vhodným spracovaním stávajú luminiscenčnými patrí sulfid zinočnatý (ZnS) , ktorý bude použitý i v experimentálnej časti.

Mechanizmus luminescencie rozdeľujeme na tri štádia :

- 1) *exitácia* - predanie energie luminofóru a jeho vybudenie
- 2) *transport energie látkou* - vyžiarenie energie z vybudého luminofóru
- 3) *rekombinácia* - medzi 1. a 3. štádiom v niektorých luminofóroch môže dôjsť k prenosu energie z miesta , kde nastalo vybudenie luminofóru do miesta , v ktorom dochádza k vyžiareniu viditeľného žiarenia.

Podľa formy energie , ktorá sa dodáva luminofóru pri jeho exitácií , rozoznávame rôzne druhy luminescencie , napr. :

- fotoluminescencia - budená viditeľným alebo ultrafialovým žiarením
- katoluminescencia - budená bombardovaním elektrónu
- elektroluminescencia - budená elektrickým poľom
- radioluminescencia - budená radioaktívnym a rengénovým žiarením
- mechanoluminescencia - budená vonkajším mechanickým pôsobením a iné.

V experimentálnej časti bude sledována mechanoluminescencia , takže jej bude venovaná väčšia pozornosť.

4.2.2 Mechanoluminescencia [4]

Mechanoluminescencia je jednou z foriem luminescencie , pri ktorej sa mechanická energia mení na svetelnú alebo obecne žiarivú , alebo sa ňou rozumie v najširšom slova zmysle luminescencia vybudená vonkajším pôsobením.

Mechanoluminescencia je veľmi zložitý dej , lebo pri mechanickom pôsobení na kondenzované látky dochádza obvykle k zložitým mechanickým javom , ako je elastická , plastická deformácia , popričade rozrušenie látiek , ktoré sa veľmi ľahko separují. Pri opakovanom mechanickom namáhaní vznikajú v látkach vysoké tlaky , koncentrované do

malých oblastí i vysoké teploty. Väčšina mechanoluminescenčných javov je doprevadzaná i ďalšími javmi , ako sú javy elektrickej povahy , emisia elektrónov a iné.

Vedľa mechanoluminescencie , ktorá vzniká za prítomnosti jednej látky , počítame do mechanoluminescenčných javov i javy vznikajúce pri odtrhovaní jednej látky z povrchu látky druhej , tento jav nazývame adhezoluminescencia . Pri tomto spôsobe budenia mechanoluminescencie pozorujeme luminescenciu jedného alebo oboch participujúcich materiálov.

Javy mechanoluminescencie :

Existuje množstvo mechanoluminescenčných navzájom odlišných javov podľa spôsobu budenia. Z obecného hľadiska ich delíme do troch skupín , a to :

- 1) priame mechanoluminescenčné javy
- 2) nepriame mechanoluminescenčné javy
- 3) javy doprevadzajúce javy mechanoluminescenčné

Do prvej skupiny radíme všetky mechanoluminescenčné javy , ktoré sú bezprostrednou odozvou na vonkajšie mechanické pôsobenie na tuhé látky.

Do druhej skupiny radíme javy , pri nich je pôsobenie mechanické sekundárne , napr. ohrev.

Do tretej skupiny radíme javy doprovodné , ktoré možme pozorovať pri niektorých typoch mechanoluminescencie a týmito javmi je potom možné príslušný typ mechanoluminescencie identifikovať.

Ďalším kritériom delenia daných obecných javov je doba trvania , kde sa mechanoluminescencia delí na : • dočasné (temporérnu)

- trvalé (pernamentné)

Zatial' , čo trvalú mechanoluminescenciu môžme pozorovať v ľubovoľnom čase pri mechanickom (primárnom i sekundárnom) vonkajšom pôsobení na tuhé látky , pri dočasnej mechanoluminescencii sa stráca schopnosť mechanoluminescenčného javu s časom.

Mechanoluminescenčné materiály :

Mechanoluminescenčné látky delíme na dve veľké oblasti , a to na anorganické a organické. Tu potom môžeme nájsť tri skupiny mechanoluminescenčných látok rovnakej štruktúry , a to : alkalické halogenidy kryštalickej štruktúry chloridu sodného (NaCl) , kryštály wurtzitického a sfaleritického typu štruktúry sulfidu zinočnatého (ZnS) a alauny , t.j. látky s kationtovou skupinou .

Medzi anorganické látky patria , napr. sulfidy , diamand , ľad , sklo , a iné.

Medzi organické látky patria , napr. polymery , kaučuky , a iné.

Použitie mechanoluminescencie v technike :

Mechanoluminescenciu môžeme použiť pre četné technické aplikácie , ako napr. určovanie doby rázu telesa , určovanie rozloženia rýchlosťi častíc pri prúdení , rozloženie kvality rôznych častíc , využitie ku štúdiu mechanických vlastností materiálu a pod

Zhrnutie mechanoluminescencie :

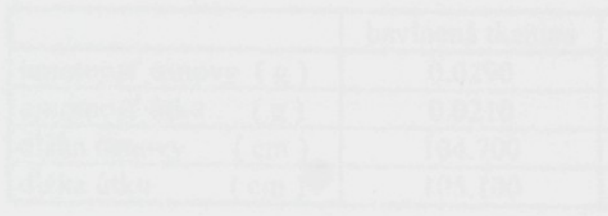
V porovnaní s inými disciplinami fyziky pevných látok je mechanoluminescencia na začiatku svojho bázania i keď patrí medzi najstaršie javy vďaka citlivosti oka ako svetelného detektora . Jednotná teória mechanoluminescencie neexistuje i keď pokusy o jednotný výklad všetkých typov mechanoluminescencie už boli naznačené. Z experimentálneho hľadiska , boli vyčerpané všetky experimentálne možnosti pre budenie mechanoluminescencie . K dispozícii je i väčšina základných skutočnosti získaných z mechanoluminescenčných meraní , takže je treba využiť výsledkov experimentov k teoretickému spracovaniu , ktoré je v porovnaní s experimentom ešte na samom začiatku.

4 EXPERIMENTÁLNA ČASŤ

4.1 ROZBOR TKANÍN

Pred začiatkom všetkých následujúcich meraní bol vykonaný rozbor skúšobných vzoriek tkanín , t.j. bavlnenej a sklenenej. Obe tkaniny sú v plátnovej väzbe. V ďalších parametroch sa tkaniny navzájom líšia. Bavlnená tkanina (obr.4.1. a) je v neupravenom , t.j. v režnom stave. Skленená tkanina (obr. 4.1. b) je v upravenom stave.

Zistené parametre tkanín sú kvôli prehľadnosti a možnosti zrovnania zoradené do tab. 4.1. . V tab. 4.2. sú uvedené pre porovnanie niektoré vlastnosti bavlnených a sklenených vlákien.



a) bavlnená tkanina

b) sklenená tkanina

Obr. 4.1. Vzorky skúšaných tkanín

	Bavlnená tkanina	Sklenená tkanina
Väzba tkaniny	plátno P 1 / 1	plátno P 1 / 1
Druh použitej priadze	bavlnené	sklenené
Plošná hmotnosť (g / m ²)	163,20	205,79
Dĺžková hmotnosť osnovy (tex)	27,70	69
Dĺžková hmotnosť útku (tex)	20	70,5
Dĺžková hustota osnovy (nití / cm)	34	12
Dĺžková hustota útku (nití / cm)	22	17
Zotkanie osnovy (%)	4,70	0,75
Zotkanie útku (%)	5,10	0,65
Hrúbka tkaniny (mm)	0,96	0,77

Tab. 4.1. Parametre vzorkov skúšaných tkanín

Hodnoty , ktoré sú získané výpočtom , sú priemerné hodnoty z desiatich meraní :

• plošná hmotnosť

$$t = m / l \quad [g / km = tex] \quad (4.1.)$$

kde je : **m** - hmotnosť , **l** - dĺžka

Získané hodnoty pre výpočet plošnej hmotnosti :

	bavlnená tkanina	sklenená tkanina
hmotnosť osnovy (g)	0,0290	0,0695
hmotnosť útku (g)	0,0210	0,0710
dĺžka osnovy (cm)	104,700	100,75
dĺžka útku (cm)	105,100	100,65

• zotkanie

$$\varepsilon = (l / l_0) 100 \quad [\%] \quad (4.2.)$$

kde: **l** je rozdiel pôvodnej dĺžky nite a dĺžky po zotkaní

l₀ je povodná dĺžka (l₀ = 10 cm)

4.2 PRÍPRAVA VZORIEK

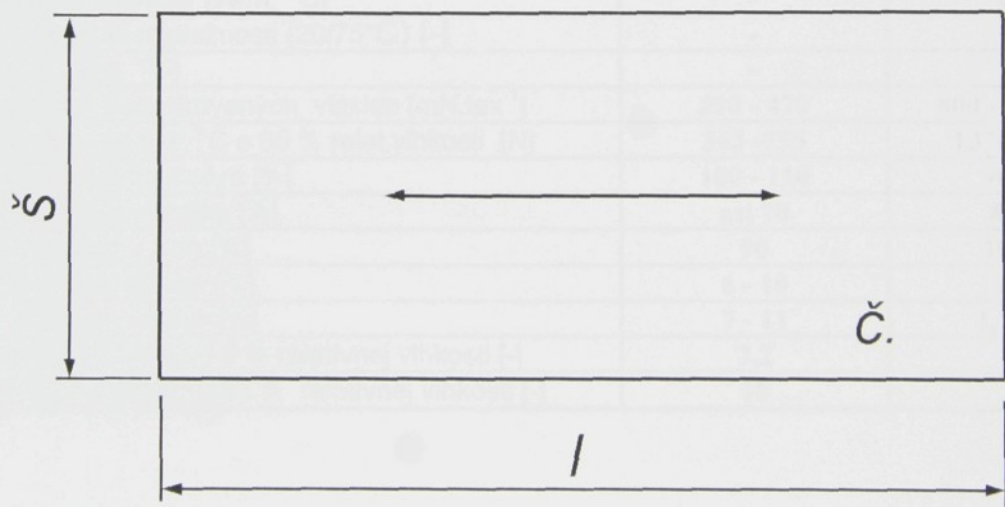
Táto časť experimentu vyžaduje pracnú prípravu a prenosť značenia vzoriek , aby nedošlo k zámene a následovnému skresleniu výsledkov. Je to časovo a organizačne náročná záležitosť .

4.2.1 Strihanie vzorkiek, ich úprava a značenie

Z bavlnenej a sklenenej tkaniny boli vystrihnuté vzorky , a to v smere (obr 4.2 1.)

- osnovy (O)
- útku (Ú)
- 45°

v šírke $\ddot{s} = 30 \text{ mm}$ a dĺžke $l = 140 \text{ mm}$ a $l = 50 \text{ mm}$.



l dĺžka Š šírka č číslo vzorku ↔ smer strihania

Obr. 4.2. Strihanie vzoriek

U sklenených vzoriek sa kvôli preklzávaniu nití v osnove a útku spevňovali okraje lepidlom v šírke cca 2 mm . Bolo na to použité disperzne lepidlo Gama fix bez rozpúšťadiel od firmy HENKEL , ktoré sa využíva na lepenie papiera , textílie , dreva a pod. .

Konce vzoriek oboch tkanín boli následne polepené prúžkami bavlnených tkanín o rozmere 30 x 40 mm , aby nedošlo k poškodeniu jednotlivých nití a k preklzu v čel'ustiach trhacieho zariadenia pri ľahových deformačných skúškach. Parametre bavlnených tkanín , určených pre zaistenie skúšobných vzoriek , nie sú doležité , preto nebudú popisované .

	bavlnené vlákna	sklenené vlákna
merná hmotnosť suchých vlákien [g/cm ³]	1,55	2,49 - 2,54
merná hmotnosť klimatizovaných vlákien [g/cm ³]	1,49	2,44 - 2,48
vlhkostná prirážka [%]	8,5	1,5
navlhavosť pri 65 % [%]	7,0 - 8,5	-
navlhavosť pri 95 % [%]	24 - 27	0,4
teplota mäkknutia [°C]	žltne pri 120	500 - 600
teplota topenia [°C]	-	1100 - 1200
merná tepelná vodivosť [W/m. °C]	-	0,98
koeficient tepelnej roztažnosti (20/75°C) [-]	-	4,8
merné teplo [J/kg. °C]	-	8,0
merná pevnosť klimatizovaných vlákien [mN.tex ⁻¹]	390 - 470	800 - 1000.10 ³
pevnosť v ľahu pri t=21°C a 65 % relat.vlhkosti [N]	363 - 755	1370 - 1470
relativna pevnosť za mokra [%]	100 - 110	90 - 95
relativna pevnosť v slučke [%]	asi 70	8 - 10
relativna pevnosť v uzle [%]	90	10 - 30
ťažnosť suchých vlákien [%]	6 - 10	asi 2
ťažnosť mokrých vlákien [%]	7 - 11	1,7 - 1,8
dielektrická konštanta pri 0 % relativnej vlhkosti [-]	3,2	3,7
dielektrická konštanta pri 65 % relativnej vlhkosti [-]	18	4,4

Tab. 4.2. Vlastnosti bavlnených a sklenených vlákien

Zdroj: Simon J. (1954) , Švedová J. (1978)

V experimente neboli dodržané rozmerové údaje dané normou ČSN 80 08 12 a zmena a - 5/1991 pre ľahové skúšky plošných textílií , ktorá stanovuje upínaciu dĺžku 200 mm (dĺžka elementárnej vzorky má byť najmenej o 150 mm väčšia než upínacia dĺžka) ,

šírku 50 mm a počet skúšaných vzoriek 5. Neboli tiež dodržané rozmerové hodnoty vzoriek pre stanovenie pevnosti spoja vrstiev podľa normy ČSN 80 08 30 , ktorá stanovuje upínaciu dĺžku 100 mm , rozmery 250 x 50 mm , a to z dôvodov ekonomických .

4.2.2 Váženie

Pre neskoršie zistenie spotreby lepidla bolo nutné všetky skúšobné vzorky zvážiť pred a po lepení . Vážilo sa na **analytických váhach 200 g LB - 1050 / 2** cca 24 hodín po nastrihaní a spevnení krajov .

Z technických údajov sú uvedené iba najdoležitejšie data , a to :

⇒ váživosť	50 mg - 200 g
⇒ citlivosť	0.1 mg
⇒ hodnota delenian (d)	1 mg
⇒ prestnosť	1. Trieda , vynikajúca
⇒ medz chýb	0 -50 g - 0.5 mg
	50 - 200 g - 1.0 mg

Získané hodnoty váženia sú uvedené v tab. 4.3. .

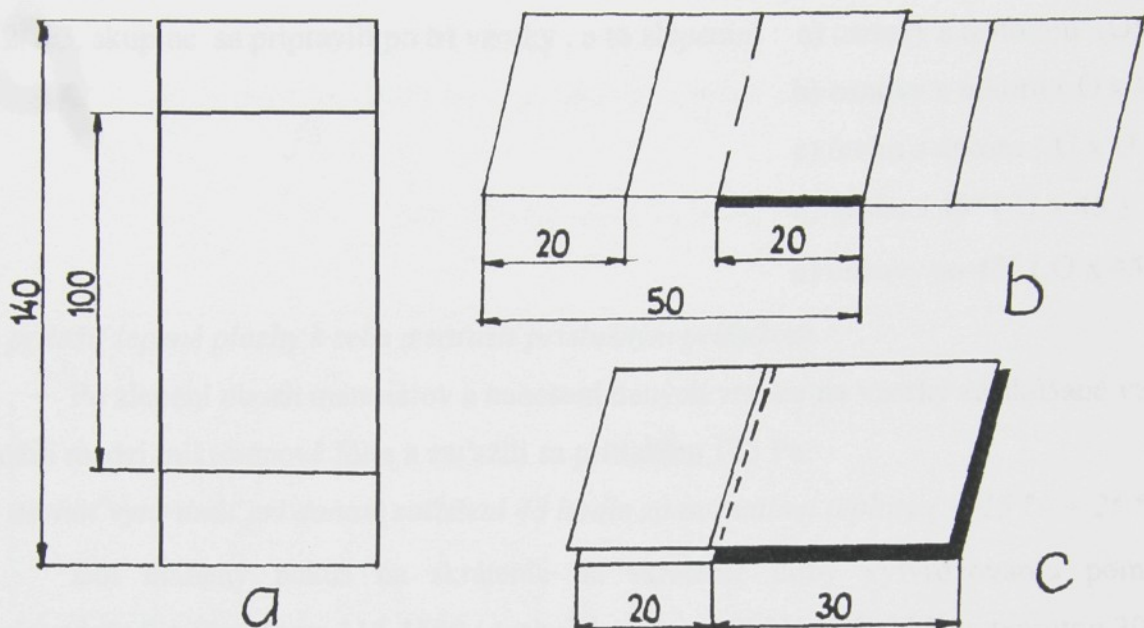
4.2.3 Lepenie

Pripravené vzorky boli určené pre tvorbu troch druhov lepených spojov :

1.skupina vzorky o rozmere 140 x 30 mm určené na vystuženie tkanín
(obr. 4.4. a)

2.skupina vzorky o rozmere 50 x 30 mm určené pre tvorbu jednoduhých
preplátovaných spojov (obr. 4.4. b)

3.skupina vzorky o rozmere 50 x 30 mm určené pre tvorbu jednostranne preplátovaných spojov (obr. 4.4. c)



Obr. 4.4. Typy adhezných spojov

Na lepenie bolo zvolené dvojzložkové lepidlo **ChS Epoxy 510** (s objemovou mernou hmotnosťou $\rho = 1.172 \text{ g / cm}^3$) a silne zásadité **tvrdidlo P11** .

Postup lepenia:

- 1) pripraviť lepiacu zmes z lepidla a tvrdidla v danom pomere a dôkladne premiešať

V tomto experimente sa miesilo v pomere 1:10 , t.j. 1 hmotnostný diel tvrdidla na 1 hmotnostný diel lepidla. Lepiacu zmes bolo nutné chladíť v nádobe so studenou vodou , aby

nedochádzalo k predčasnému vytvrdzovaniu .

- 2) naniest' rovnomerne lepidlo na obe lepené plochy sterkou alebo štetcom

V 1.skupine sa nanášalo lepidlo : a) v jednej vrstve z lícnej a rubnej strany vzorky

b) v dvoch vrstvách z lícnej a rubnej strany vzorky

a to v počte troch kusov z každej varianty. U sklenených tkanín sa naviac pripravili vzorky s nánosom prášku sulfidu zinočnatého (ZnS) pre neskoršie skúmanie adhezoluminescencie .

- V 2. a 3. skupine sa pripravili po tri vzorky , a to zlepenním :
- a) osnovy s osnovou (Ox O)
 - b) osnovy s útkom (O x Ú)
 - c) útku s útkom (Ú x Ú)
 - d) útku s 45° (Ú x 45°)
 - e) osnovy so 45° (O x 45°)

3) *priložiť lepené plochy k sebe a zaťažiť príslušným prítlakom*

Po zlepenní oboch materiálov a nanesení daných vrstiev na vzorky sa skúšané vzorky vložili medzi mikroténové fólie a zaťažili sa prítlakom 143 Pa.

4) *nechat' vytvrdniť pri danom zaťažení 48 hodín za normalnej teploty (+ 15 ° – + 25 °)*

Bol učinený pokus na skrátenie na skrátenie doby vytvrdzovania pomocou teplovzdušného fénu **ferm 116-1500** (technické údaje : 220V , 1500 kW a teplotou $300\text{ }^\circ\text{C}$ a $2500\text{ }^\circ\text{C}$) na bavlnenej tkanine . Napriek nánosu lepiacej zmesi začala bavlnená tkanina hnednút' cca 8 min pri teplote $300\text{ }^\circ\text{C}$ (rozpad bavlneného vlákna je pri teplote $150\text{ }^\circ\text{C}$) . Samotné lepenie prebiehalo pri izbovej teplote $20\text{ }^\circ\text{C}$ a vlhkosti 65 - 70 % .

V amatérskych podmienkach pri lepení je nutné dodržiavať následujúce opatrenia :

- s lepidlami pracovať vždy pri otvorenom okne
- pri práci nejest'
- vyvarovať sa blízkosti volného plameňa a nefajčiť'
- netriet' si oči
- vyvarovať sa väčšieho kontaktu lepidla s pokožkou
- dodržiavať návod výrobcu

Po vytvrdnutí lepidla následovalo opäťovné váženie vzoriek adhezných spojov a vystužených tkanín . Zároveň sa zistovala hmotnosť a hrúbka nánosu lepidla na jednotlivých vzorkach. Všetky tieto údaje sú uvedené v tab. 4.3..

Hrúbka lepidla bola vypočítaná podľa vzťahu :

$$\rho = m / V \quad (\text{kg} / \text{m}^3) \qquad V = S \times h \quad (\text{m}^3) \quad (4.3.)$$

kde : ρ – hustota lepidla , m - hmotnosť lepidla , S - lepená plocha , h - hrúbka lepidla

Tab. 4.3. Hodnoty váženia

1. skupina		bavlnené vzorky tkanín				sklenené vzorky tkanín			
Rozmer	140 x 30	m_1 (g)	m_2 (g)	m_L (g)	h_L (mm)	m_1 (g)	m_2 (g)	m_L (g)	h_L (mm)
osnova	0.	1,073				1,542			
		1,086				1,467			
		1,088				1,751			
	1. vrstva	1,136	2,305	1,169	0,332	1,429	2,876	1,447	0,411
		1,103	2,308	1,205	0,342	1,494	2,918	1,424	0,404
		1,110	2,319	1,209	0,343	1,573	2,821	1,248	0,354
	2. vrstva	1,092	3,924	2,832	0,804	1,541	4,629	3,088	0,877
		1,156	3,560	2,404	0,683	1,431	4,958	3,527	1,002
		1,107	3,314	2,207	0,627	1,664	3,800	2,136	0,607
útok	0.	1,275				1,442			
		1,326				1,497			
		1,495				1,823			
	1. vrstva	1,257	2,717	1,460	0,415	1,553	3,677	2,124	0,603
		1,269	2,915	1,646	0,467	1,527	3,449	1,922	0,546
		1,275	2,816	1,541	0,438	1,611	3,283	1,672	0,475
	2. vrstva	1,259	4,117	2,858	0,812	1,613	4,817	3,204	0,910
		1,289	4,163	2,874	0,816	1,464	5,111	3,647	1,036
		1,297	3,712	2,415	0,686	1,412	4,659	3,247	0,922
45°	0.	1,510				1,496			
		1,532				1,500			
		1,547				1,719			
	1. vrstva	1,159	2,692	1,533	0,435	1,460	2,757	1,297	0,368
		1,076	2,590	1,514	0,430	1,517	3,041	1,524	0,433
		1,052	2,500	1,448	0,411	1,800	3,348	1,548	0,440
	2. vrstva	1,260	3,866	2,606	0,740	1,457	4,707	3,250	0,923
		1,157	4,198	3,041	0,864	1,506	4,867	3,361	0,955
		1,079	4,338	3,259	0,926	1,471	4,896	3,425	0,973
	Σ			37,221				43,091	

Legenda k tab. 4.3.: m_1 - hmotnosť vzorky pred lepením

m_2 - hmotnosť vzorky po lepení

m_L - hmotnosť lepidla

h_L - hrúbka lepidla

m_{01} - hmotnosť prvej vzorky

m_{02} - hmotnosť druhej vzorky

2. skupina							
Rozmer :	50 x 30	m_{01} (g)	m_{02} (g)	m_1 (g)	m_2 (g)	m_L (g)	h_L (mm)
<i>b a v l n e n á t k.</i>	O x O	0,434	0,444	0,878	1,189	0,311	0,442
		0,430	0,454	0,884	1,172	0,288	0,410
		0,453	0,437	0,890	1,188	0,298	0,424
	O x Ú	0,451	0,456	0,907	1,116	0,209	0,297
		0,443	0,454	0,897	1,096	0,199	0,283
		0,438	0,452	0,890	1,113	0,223	0,317
	Ú x Ú	0,455	0,459	0,914	1,210	0,296	0,421
		0,438	0,442	0,880	1,123	0,243	0,346
		0,440	0,455	0,895	1,099	0,204	0,290
<i>s k l e n e n á t k.</i>	Ú x 45	0,471	0,436	0,907	1,122	0,215	0,306
		0,466	0,449	0,915	1,103	0,188	0,267
		0,443	0,427	0,870	1,057	0,187	0,266
	O x 45	0,447	0,460	0,907	1,113	0,206	0,293
		0,461	0,451	0,912	1,169	0,257	0,365
		0,461	0,459	0,920	1,245	0,325	0,462
	O x O	0,496	0,482	0,978	1,141	0,163	0,232
		0,482	0,487	0,969	1,114	0,145	0,206
		0,486	0,488	0,974	1,230	0,256	0,364
<i>s k l e n e n á t k.</i>	O x Ú	0,485	0,498	0,983	1,146	0,163	0,232
		0,495	0,498	0,993	1,204	0,211	0,300
		0,496	0,500	0,996	1,164	0,168	0,239
	Ú x Ú	0,498	0,496	0,994	1,181	0,187	0,266
		0,492	0,497	0,989	1,181	0,192	0,273
		0,496	0,490	0,986	1,199	0,213	0,303
	Ú x 45	0,500	0,492	0,992	1,190	0,198	0,282
		0,497	0,496	0,993	1,172	0,179	0,255
		0,498	0,482	0,980	1,173	0,193	0,274
	O x 45	0,491	0,483	0,974	1,175	0,201	0,286
		0,491	0,482	0,973	1,116	0,143	0,203
		0,481	0,496	0,977	1,182	0,205	0,292
	Σ					6,466	

3. skupina							
Rozmer :	50 x 30	m_{01} (g)	m_{02} (g)	m_1 (g)	m_2 (g)	m_L (g)	h_L (mm)
<i>b</i>	O x O	0,459	0,463	0,922	1,307	0,385	0,365
		0,456	0,459	0,915	1,353	0,438	0,415
		0,426	0,451	0,877	1,292	0,415	0,393
<i>a</i>	O x Ú	0,669	0,550	1,219	1,497	0,278	0,264
		0,460	0,523	0,983	1,588	0,605	0,574
		0,435	0,489	0,924	1,737	0,813	0,771
<i>n</i>	O x 45	0,519	0,531	1,050	1,454	0,404	0,383
		0,509	0,555	1,064	1,554	0,490	0,465
		0,641	0,523	1,164	1,626	0,462	0,438
<i>á</i>	Ú x 45	0,489	0,546	1,035	1,509	0,474	0,449
		0,493	0,551	1,044	1,574	0,530	0,502
		0,468	0,501	0,969	1,559	0,590	0,559
<i>t</i>	Ú x Ú	0,516	0,529	1,045	1,588	0,543	0,515
		0,510	0,504	1,014	1,596	0,582	0,552
		0,531	0,550	1,081	1,656	0,575	0,545
<i>s</i>	O x O	0,571	0,577	1,148	1,162	0,014	0,013
		0,588	0,590	1,178	1,294	0,116	0,110
		0,501	0,599	1,100	1,281	0,181	0,172
<i>k</i>	O x 45	0,569	0,588	1,157	1,252	0,095	0,090
		0,573	0,600	1,173	1,242	0,069	0,065
		0,575	0,574	1,149	1,322	0,173	0,164
<i>l</i>	O x Ú	0,576	0,557	1,133	1,316	0,183	0,173
		0,560	0,551	1,111	1,252	0,141	0,134
		0,562	0,563	1,125	1,243	0,118	0,112
<i>e</i>	Ú x 45	0,562	0,599	1,161	1,258	0,097	0,092
		0,565	0,542	1,107	1,236	0,129	0,122
		0,574	0,576	1,150	1,230	0,080	0,076
<i>n</i>	Ú x Ú	0,577	0,545	1,122	1,321	0,199	0,189
		0,561	0,544	1,105	1,337	0,232	0,220
		0,566	0,562	1,128	1,317	0,189	0,179
	Σ					9,600	

Výkres 2.159 (sín. 4.3.) je průřezem základny výrobku zhotoveného z nejdřív uvedených materiálů po namíšení v teplu , tlaku a výběru. Skladem jsou uvedeny všechny materiály a výrobky, které mohou být použity k výrobě. K výrobě byly použity papír , lepenky , umělé hmoty , dřevo , drátový střílek . K výrobě byly použity hmoty , které zabezpečují efektivní příběh sklošky jednotlivým výrobkům . Výrobek je vytvářen výrobou výrobků , které jsou pak sestaveny do jednotlivých výrobků a pak je pak sestaveny do jednotlivých výrobků .

4.3 MERANIE MECHANICKÝCH VLASTNOSTI ADHEZNÝCH SPOJOV

Mechanické vlastnosti tkanín popisujú schopnosť telies zmeniť tvar a prípadne objem (t.j. deformovať sa) v dôsledku vonkajších mechanických síl. Vonkajšia sila vyvoláva v telese napätie ,ktoré vedie ku vzniku zodpovedajúcej deformácie. Pevnosť v ľahu a ľažnosť považujeme za základné fyzikálne charakteristiky popisujúce mechanické vlastnosti. [11]

4.3.1 Základné pojmy

Pevnosť materiálu je definovaná ako najväčšie konvenčné napätie , ktoré spôsobí rozdelenie materiálu na dve časti. [12]

Pevnosť spoja vrstiev (F) je sila potrebná k oddeleniu jednotlivých vrstiev vrstvených textílií. Uzáver sa v N . [ČSN 80 0830]

Ľažnosť je najväčšie predĺženie , ktoré je dosiahnuté pri pretrhnutí vzorky. [12]

Anizotropie je smerová závislosť mechanických vlastností tkanín.

Pracovný diagram je záznam ľahovej skúšky , t.j. závislosť medzi silou pôsobiacou na vzorku a predĺžením vzorky pri skúške. [12]

4.3.2 Popis meracieho prístroja a jeho technické údaje [13]

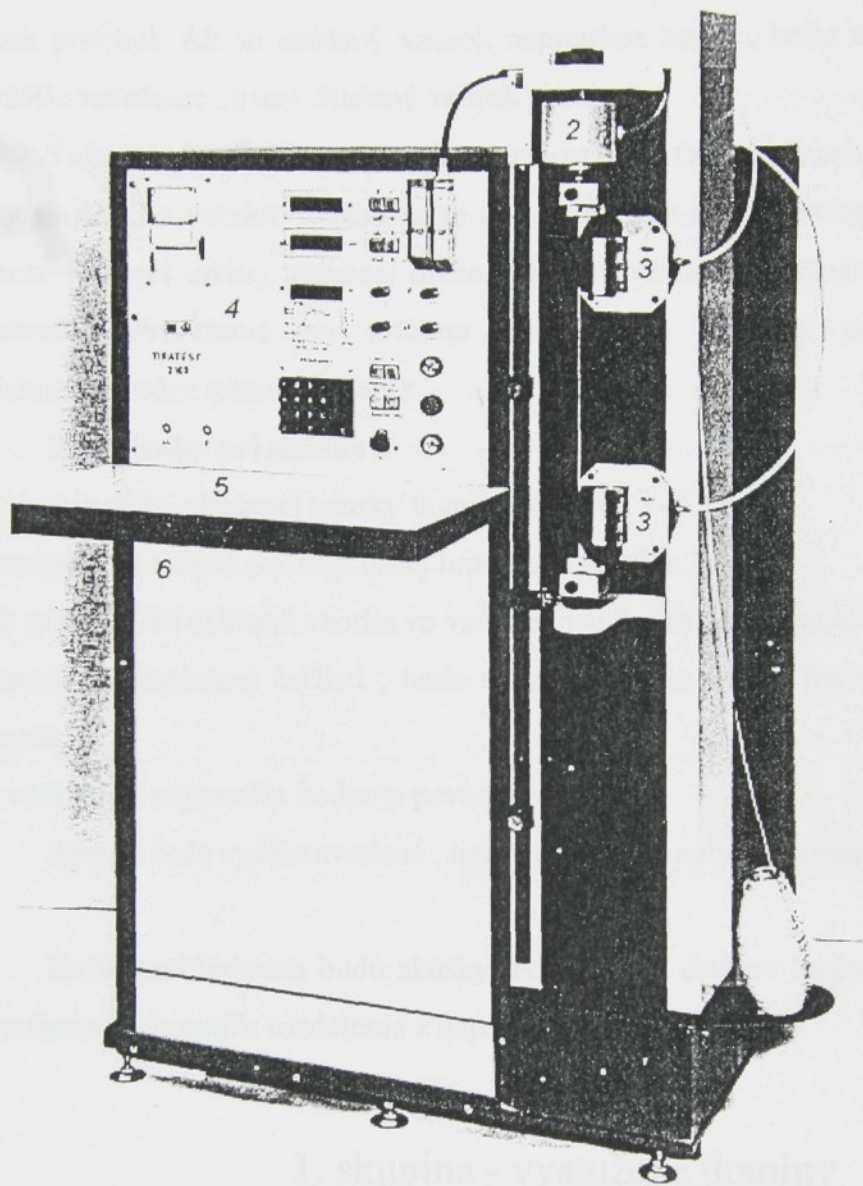
TIRATEST 2150 (obr. 4.5.) je prístroj na skúšanie pevnosti , zmeny tvarov pevných materiálov pri namáhaní v ľahu , tlaku a ohybe. Široký výber upínacích zariadení , silomerových meničov a snímačov ľažnosti umožňuje skúšanie textílií , priadzí , tkanín , papieru , lepenky , umelých hmôt , fólií , drátov atď. K dispozícii je zvolený program , ktorý zabezpečuje efektívny priebeh skúšky jednorázovým jednoduchým vkládaním dat , pohodlným upínaním vzorku a úplne automatickým priebehom skúšky s vytisknutím dat a štatistickým výpočtom hodnôt.

Technické údaje :

- ⇒ maximálna skúšaná sila (kN) 5
⇒ rozsah merania sily (kN) 1×10^{-3} - 5
⇒ rozsah zmeny dĺžky (mm) 10×10^{-3} - 50
⇒ rozmery skúšobného priestoru
v x š (mm) 930 x 150 (1150 x 150)
⇒ plynulý regulačný rozsah 1 : 30
⇒ vkladanie dat cez numerickú klávesnicu
⇒ výstup dat α - numerická pásková tiskáreň
⇒ detektor pretrhu
⇒ automatický rýchly spätný chod

Popis prístroja : 1) zaťažovacie zariadenie

- 2) silomerový menič
- 3) upínacie zariadenie
- 4) meracia a ovládacia jednotka
- 5) zapisovacia doska
- 6) hlavný spínač



Obr. 4.5. Tiratest

4.3.3 Postup merania a jeho výhodnotenie

Pevnosť v ťahu sa podľa normy skúša postupným zaťažovaním skúšaného vzorku materiálu na trhaciom prístroji v N až do pretrhnutia . [14]

Pre sledovanie vzťahu pevnosti a ťažnosti pri skúšaní je prístroj vybavený zapisovacím zariadením , ktoré zaznamenáva krviku závislosti medzi zaťažením a

predĺžením. Hodnota pevnosti sa odčítavá ako zaťaženie v N , pri ktorom sa skúšaný vzorok pretrhol. Ak sa skúšaný vzorok nepretrhne naraz , berie sa za hodnotu pevnosti najväčšie zaťaženie , ktoré skúšaný vzorok znesie.

Ťažnosť sa zistuje zároveň s pevnosťou v ťahu a vyjadruje sa v % z upínacej dĺžky skúšaného vzorku. Odčíta sa to ako predĺženie s presnosťou na 1 mm , alebo ako t'ažnosť v % pri určitej upínacej dĺžke. Ťažnosť vzorku sa zaznamenáva až v okamžiku pretrhnutia. Predĺženie pri určitom predpísanom zaťažení odčítame v okamžiku dosiahnutia medze tohto zaťaženia.

Podmienky pri skúške :

- 1) upínacia dĺžka skúšanej vzorky tkaniny je (200 +- 1) mm
- 2) predpatie je volené podľa plošnej hmotnosti textílie
- 3) ak sa pretrhnie skúšaná vzorka vo vzdialosti 5 mm od upínacej čeľuste , alebo ak sa pretrhne v upínacej čeľusti , berie sa výsledok do úvahy iba v tom prípade ak daná hodnota je väčšia než najmenšia hodnota pevnosti v ťahu.

Ako už bolo vyššie uvedené , tieto podmienky neboli dodržané.

Kvôli prehľadnosti budú skúšky jednotlivých druhov lepených spojov popisované samostatne , a to podľa rozdelenia z kapitoly 4.2.3. .

1. skupina - vystužené tkaniny

Pred začiatkom vlastného merania bola ručne nadstavená rýchlosť posunu hornej čeľuste prístroja na 160 mm / s . Predpätie bolo vypnuté , pretože jeho hodnotu je možné odčítať priamo z ťahových kriviek. Upínacia dĺžka vzorky bola 100 mm.

Priebehy trhacích skúšok sa priebežne zaznamenávali a ukladali do pamäti vloženého programu (príloha 1. a) Tiratestu , kde boli zároveň vypočítané požadované hodnoty a vytisknuté na tiskárni. Súčasne so zaťažovaním skúšaných vzoriek bol kreslený pracovný diagram vzorku až do jeho pretrhu .

VÝSLEDKY MERANIA

Záznamy pracovných diagramov vzoriek vystužených tkanín sú založené v prílohe 2. V každom grafe sú zaznamenané tri priebehy ľahových kriviek pre daný smer. K tomu je priložená tabuľka odčítaných hodnôt sily a ľažnosti pri maxime a ich štatistické vyhodnotenie. V tabuľke 4.4. sú kvôli prehľadnosťi porovnania zoradené priemerné hodnoty sily a ľažnosti v maxime.

smer	počet vrstiev	bavlna			sklo		
		F (N)	ε (%)	$\varnothing h$	F (N)	ε (%)	$\varnothing h$
O	0	354,930	19,43		528,200	2,77	
	1	418,800	5,13	0,339	1674,000	3,40	0,390
	2	456,730	2,97	0,705	1807,300	2,93	0,828
Ú	0	342,300	12,77		799,330	5,17	
	1	564,800	2,83	0,440	1939,300	3,47	0,541
	2	604,330	2,97	0,771	2064,600	3,40	0,956
45	0	163,100	36,30		293,330	34,03	
	1	408,700	4,40	0,426	1142,600	9,43	0,414
	2	353,760	2,47	0,843	1273,300	4,60	0,950

Tab. 4.4. Namerané priemerné hodnoty sily (F), ľažnosti (ε) v maxime a hrúbky nánosu lepidla $\varnothing h$

VÝKLAD A VYHODNOTENIE ĽAHOVEJ SKÚŠKY

Ľahová skúška bavlnených a sklenených vláken je prevedená za účelom zistenia ich mechanických vlastností pre porovnanie s vlastnosťami adhezných spojov. Cieľom vystuženia tkanín, t.j. vrstvenia nánosu lepidla, bolo zistiť, kde končí vlyv anizotropie tkanín a začína vlyv lepidla.

a) čisté tkaniny

bavlnené

Deformačný proces prebiehal rozdielne u vzorkov namáhaných v jednom smere (O, Ú) a u šikmo strihaných tkanín (45°) ďalej iba O, Ú, 45.

U vzoriek O a \bar{U} prebiehala trhacia skúška podobne . V ťahu bola namáhaná iba jedna sústava nití , t.j. O alebo \bar{U} . V dôsledku rastúceho ťahu dochádzalo k napriamovaniu namáhanej sústavy nití Priečna sústava sa zvoľňovala. Približne v prostriedku dochádzalo k zhustňovaniu pozdĺžnych nití . V podstate prvým narušením nití bola porušená celá pevnosť vzorky.Vzorky boli porušené (pretrhnuté) približne vo svojom prostriedku. Boli tu zaznamenané najväčšie hodnoty sily v maxime a najmenšie hodnoty ľažnosti , pričom v prípade namáhania osnovnej sústavy nití sú hodnoty vyššie než hodnoty \bar{U} .

V vzoriek strihaných v smere 45° dochádzalo k inému priebehu deformácie. Sila na porušenie vzorky nie je sila potrebná k pretrhnutiu oboch sústav nití , ale je to sila potrebná k prekonaniu šmykového trenia medzi vláknami. U tychto vzoriek nie je ani jedná nit' upevnená v čel'ustiach trhacieho pristroja naraz celá. Pri zaťažovaní týchto vzoriek dochádzalo k šmykovému treniu medzi vláknami. Nedošlo tu k pretrhu vzorky ale iba k jej natiahnutiu , z čoho vyplýva i skutočnosť , že tu boli zaznamenané najvyššie hodnoty ľažnosti a najnižšie hodnoty sily v maxime.

sklenené vzorky

Deformačný proces prebiehal podobne ako u bavlnených vzoriek , a to vo všetkých smeroch. Pri ich zaťažovaní nedochádzalo k pretrhu vzorky, ale iba k jej porušeniu väzby. V prípade jednoosého namáhania boli hodnoty namáhania \bar{U} väčšie než O, t.j. opačne ako u bavlnených vzoriek. U vzoriek v smere 45° ťahová skúška prebiehala zhodne ako u bavlnených.

b) 1. vrstva nánosu lepidla

K porušeniu u tohto typu vzoriek dochádzalo náhlym prasknutím.

U **bavlnených** vzoriek boli v smere O boli zaznamenané najvyššie hodnoty ľažnosti , u \bar{U} najnižšie , ale zasa najvyššie hodnoty sily v maxime a to i v porovnaní s hodnotami vzoriek v 45° . Naviac u vzoriek namáhaných v \bar{U} dochádzalo k pretrhu pri zaťažení v čel'ustiach trhacieho zariadenia. Porovnaním O a \bar{U} boli vyššie hodnoty sily a ľažnosti v smere O.

U **sklenených** vzoriek bola najvyššia hodnota sily v maxime zaznamenaná opäť v smer \bar{U} , ale na rozdiel od bavlnených vzoriek , najvyššia ľažnosť bola v 45° . Hodnota sily

v maxime je rovnako ako u bavlnených vzoriek vyššia v O než 45° . Vzorky namáhané v jednej ose sa roztrhli v čeľustiach trhacieho zariadenia.

c) 2. vrstva nánosu lepidla

Na **bavlnených** vzorkách bola opäť najväčšia hodnota sily v maxime u \bar{U} , najnižšia u O. Čažnosť O a \bar{U} bola rovnaká a vyššia než hodnota čažnosti u 45° .

U **sklenených** vzoriek je rovnako ako u bavlnených najväčšia pevnosť v \bar{U} , najnižšia u 45° . Čažnosť je najvyššia u vzoriek v smere 45° , najnižšia v O.

ZÁVER :

Zrovnáním výsledkov merania vzoriek tkanín s vystuženými vzorkami môžme vyslovíť názor , že vliv anizotropie tkanín končí už pri prvom nánose lepidla , a to u vzoriek bavlnených i sklenených. Zmeny hodnôt pevnosti a čažnosti vlivom ďalšieho nánosu lepidla sú malé v porovnaní s rozdielom hodnôt madzi čistou vzorkou tkaniny a vystuženou v jednej vrstve.

Problém prietruhu vzorkov v čeľustiach trhacieho zariadenia v rôznej anizotropii možme vysvetliť manžimálnym napätiom na tomto mieste. Otázkou zostáva ,prečo je to tak . S ohľadom na zložitosť oblasti lepenia bližší výklad nie je možný , predstavovalo by urobiť ďalší experiment a venovať sa špeciálne iba tejto problematike.

2. skupina - jednoduché preplátované spoje

V parametroch nadstavenie trhacieho zariadenia nastala zmena iba v upínacej dĺžke, ktorá bola 40 mm.

VÝSLEDKY MERANIA

Záznamy pracovných diagramov sú založené v prílohe 3 . Namerané priemerné hodnoty sily (F) a čažnosti (ε) v maxime sú uvedené v tab. 4.5. .

	bavlna		sklo		sklo + ZnS	
	F (N)	(%)	F (N)	(%)	F (N)	(%)
O x O	332,950	18,36	953,330	8,58	1083.10	9.33
O x 45	199,200	24,00	490,833	8,42	407.600	7.75
Ú x 45	194,060	26,58	514,367	11,92	354.760	13.67
Ú x O	332,600	18,92	699,300	4,75	863.060	6.08
Ú x Ú	303,460	17,00	857,867	5,33	664.530	9.25

Tab. 4.5. Namerané priemerné hodnoty sily (F) , tăžnosti (ε) v maxime

VÝKLAD AVYHODNOTENIE ŤAHOVEJ SKÚŠKY

Priebehy tăhových skúšok u bavlnených a sklenených vzoriek tkanín sú podobné.

U **bavlnených** vzoriek bola zaznamenaná najväčšia pevnosť v spoji O/O , najnižšia v spoji Ú/45. Najvyššia hodnota tăžnosti bola v spoji Ú/45 a najnižšia v spoji Ú/Ú . K porušeniu vzoriek dochádzalo pretrhom tkaniny v hrane spoja , t.j. na prechode medzi lepením a tkaninou.

U **sklenených** vzoriek , rovnako ako u bavlnených , bola nameraná najvyššia pevnosť v spoji O/O a tăžnosť v spoji Ú/45. Najnižšia pevnosť bola v spoji O/45 a najnižšia tăžnosť v spoji Ú/O.

Hodnoty merania spojov sklenených tkanín v porovnaní s hodnotami nameranými u spojov s násonom práškového ZnS sú zrovnatelné .

Porušenie tkanín spojov bolo rovnaké ako u bavlnených spojov.

ZÁVER:

Z výsledkov merania sa dá vyslovit' názor , že pevnosť lepeného spoja je vyššia než pevnosť bavlnených i sklenených tkanín , pričom vlyv anizotropie je nevýrazný. Z destrukcie materiálu vyplýva , že kohézia filmu lepidla je väčšia než adhézia lepených materiálov.

Z prietruhu vzoriek v hrane spoja môžme usúdiť , že práve tam dochádza pri namáhaní k najväčšej koncentrácií napäťia.

Adhezoluminescencia z technických dôvodov nebola sledovaná

3. skupina - jednostranne preplatované spoje

Pre tieto spoje bol použitý program pre skúšanie pevnosti vrstiev spoja (príloha 1b)

Pred začiatkom merania bola nadstavená rýchlosť posuvu hornej čeluste prístroja na 100 mm / s . Upínacia dĺžka vzorky bola 20 mm. Predpätie bolo vypnuté.

VÝSLEDKY MERANIA

Záznamy pracovných diagramov sú založené v prílohe 4. V tabuľke 4.6. sú pre porovnanie zoradené stredné hodnoty síl.

	bavlna	sklo	skloZnS
	F (N)	F (N)	F (N)
O x O	39,676	10,527	6.109
O x 45	13,197	12,892	12.086
U x 45	30,011	18,490	17.079
U x O	25,226	9,848	10.121
U x U	16,152	25,453	16.867

Tab. 4.6. Stredné hodnoty síl skúšky pevnosti spoja vrstiev

VÝKLAD A VYHODNOTENIE VÝSLEDKOV

Výsledkom skúšky pevnosti spoja vrstiev sú zistené hodnoty pevnosti spoja u elementárnych vzoriek a aritmetický priemer týchto hodnôt v danom smere.[ČSN 80 0830]

. K porušeniu spojov dochádzalo pretrhom tkanín v čelustiach trhacieho zariadenia alebo odtrhnutím časti zlepovanej plochy materiálu , a to u bavlnených i sklenených vzoriek tkanín , pričom u sklenených vzoriek bol pretrh rýchlejší.

Maximálna stredná hodnota sily u bavlnených vzoriek tkanín je najvyššia v spoji O/O , u sklenených je to u spoja Ū/Ú.

ZÁVER :

Výsledky merania opäť ukázali , že pevnosť tohto typu spoja je väčšia ako pevnosť daných tkanín , čo zároveň vysvetľuje i ich pretrhnutie na začiatku oddelovania lepených plôch od seba.

Deformačná práca roztrhnutia spoja sa ľahko vyjadruje , lebo na ose predĺženia je súčasne deformácia jednotlivých bodových spojov , ale tiež i dĺžková deformácia samotných vrstiev po odtrhnutí. V prílohe 6 je ukazaný modelový výpočet adheznej energie.

Adhezoluminescencia opäť z technických dôvodov nebola sledovaná.

4.4 MERANIE MECHANOLUMINESCENCIE A AKUSTICKEJ EMISIE

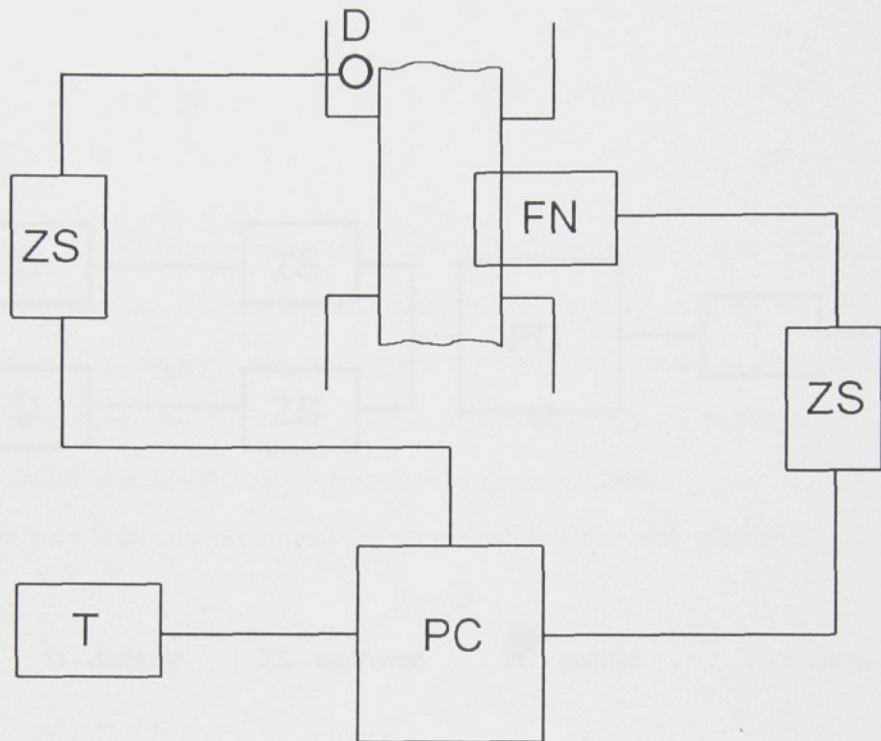
4.4.1 Obecné predpoklady

Akustická emisia (AE) je elastické vlnenie , ktoré je dôsledkom náhleho uvolnenia energie v materiale. [14]

Podmienky ideálneho experimentu [4] :

- 1) východzia látka (luminofór) musí byť v podobe monokryštálu , ktorého štruktúra a luminiscenčné vlastnosti sú presne známe ,
- 2) na takto známy monokryštál je nutné pôsobiť za presne definovaných podmienok , ktorými sú dynamické alebo statické namáhanie , pôsobiace v presne definovanom danom smere , za rovnakých vonkajších podmienok , teploty , tlaku , atmosféry , elektrického a magnetického poľa a podmienok vonkajšieho ožiarenia. Pri dynamickom namáhaní je treba vedieť výšku amplitúdy vonkajšieho pôsobenia , jeho períodu , tvar a časový priebeh vonkajšieho pulzu , prípadne jeho frekvenčný rozklad , a či pritom prebiehajúca deformácia je elastická , plastická alebo ide o lom.Náčrt ideálneho zariadenia na súčasné meranie AE , Ml je na obr. 4.7. .

mechanického zariadenia pomocou prídavných zariadení pri použití súčasných technológií. Ideálny prípravok je na obr. 4.6.



ZS - zosilovač T - tiskáreň PC - počítač FN - fotonásobič D - piezoelektrický detektor AE

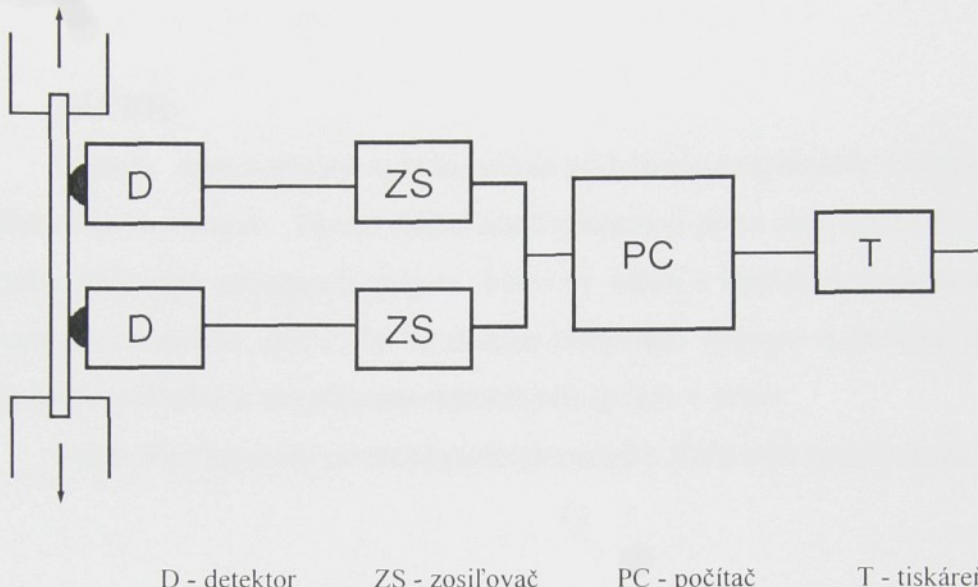
Obr. 4.6. Náčrt ideálneho zariadenia na súčasné meranie AE , MI

4.4.2 Postup merania a jeho vyhodnotenie

Tento experiment bol kvôli svojej náročnosti prevedený iba na vzorkách sklenených tkanín rozmeroch 140 x 30 mm . Na tieto vzorky bol k nánosu lepidla (násos lepidla v jednej a dvoch vrstvách) pridaný práškový sulfid zinočnatý (ZnS) aktivovaný mangánom .

Zistovala sa pevnosť vystužených vzoriek tkanín (rovnaký princíp skúšky ako skúšanie 1. skupiny vzorkov) a zároveň sa sledovala aktivita akustickej emisie a

mechanoluminescencia pomocou príavných zariadení pripojených k trhaciemu prístroju. Náčrt pripojenia je na obr. 4.8. .



Obr. 4.7. Náčrt pripojania príavných zariadení

VÝSLEDKY MERANIA

Grafy aktivity AE sú založené v prílohe 5. V každom grafe je zaznamenaná ĭahová krivka spolu s dvomi krivkami zaznamenavajúcich priebeh akustickej emisie. Za každým týmto grafom následujú integračné krivky priebehov aktivity AE.

VÝKLAD MERANIA

Akustická emisia (AE) podáva viac informácií o spoji i materiáli ako je to názorne vidieť v grafoch aktivity AE , kde priebeh ĭahovej krivky a kriviek aktivity AE je rozdielný. Pri namáhaní spoja sú vysielané napäťové vlny rôznych dĺžok , ktoré zachytávajú deje v samotnom spoji , napr. trenie vlákien , ale i vlyvy okolia. Z tohto dôvodu je AE snímaná v oblasti ultraakustiky , aby nedochádzalo k zachytávaniu veľkých šumov , napr. hlučnosti stroja , ktoré by násladne značne skreslili informácie o sledovanom spoji.

Adhezoluminescencia (zviditeľnenie koncentrácie napäťia , trhlín a pod.) za pomoci práškového ZnS bola pozorovaná. Žiaľ vďaka nedostatočným skúsenostiam vo fotografovaní nebola zachytená.

ZÁVER:

Účelom tejto kapitoly nebolo nebola podrobná interpretácia výsledkov merania AE a adhezoluminescencie . Týmto dodatkom diplomovej práce sme chceli iba naznačiť ďalšie spôsoby skúmania adhezných spojov , ktoré by viedli k lepšiemu pochopeniu dejov , ktoré nastanú pri namáhaní spoja , čo by značne prispelo k rozvoju teoretických modelov a ich výkladu , a nasledne k skvalitneniu samotných spojov v praxi.

Takže túto kapitolu ponechávame otvorenú k ďalšiemu spracovaniu.

5. EKONOMICKE ZHODNOTENIE DIPLOMOVEJ PRÁCE

a) Spotreba materiálu :

0.80 m bavlnenej tkaniny ($s = 140$)	70 Kč / m	76 Kč
1.00 m sklenenej tkaniny ($s = 140$)	200 Kč / m	200 Kč

b) Spotreba lepidla s tvrdidlom :

0.0964 kg	220 Kč / kg	21.20 Kč
-----------------	-------------------	----------

c) Počet hodín diplomanta :

210 h	100 Kč / h	21 000 Kč
-------------	------------------	-----------

d) Počet hodín konzultanta :

70 h	200 Kč / h	14 000 Kč
------------	------------------	-----------

Celkové náklady tejto diplomovej práce činia 35 297,20 Kč bez obchodnej prirážky .

Nastojím, že len niekoľko problémov pozornejších sa vyskytlo pri výrobkoch používaných v tejto práci , ktoré jasne dokazujú možnosť ich využitia v rôznych spojeniach materiálov. Táto práca tiež pôsobí veľký záber na možnosť využitia výrobkov v jednotlivých otázkach podrobnejšie. Nechavam vás s týmto výrokom.

6. ZÁVER

Problematika adhezného spojovania je veľmi zložitá a je ešte stále na začiatku svojho vývoja. Publikácia v tejto oblasti je malá , takže každý nový experiment znamená krok v pred.

V tejto diplomovej práci sú zhrnuté poznatky o chovaní adhezných bavlnených a sklenených spojov v ich extréme , to znamená , že sú pevné a krehké , čoho sa dosiahlo použitím nemäkkčenéj epoxidovej živice ChS 510 vytvrdenej tvrdidlom P11. Skúmali sa ich mechanické vlastnosti v troch typoch lepených spojov pomocou ľahových deformačných skúšok. Jednotlivé výsledky merania boli zaznamenané a podrobnejšie popísané v kapitole 4.3.3. .

Podmienky pre vytvorenie kvalitného spoja sú veľmi náročné na kvalitu použitých lepidiel a na technologickom postupe. Okrem toho je nezanedbatelný i vliv prostredia v ktorom sa lepené spoje vytvárajú a tvrdnú ako napr. teplota , vlhkosť a pod. Pri amatérskom lepení sa tieto podmienky ľahko dodržujú , čo sme si sami overili na nekvalite niekoľkých vzoriek.

Otázka ideálnych podmienok na vytvorenie kvalitných spojov v praxi je ešte stále citlivá na interpretáciu a vyžaduje dlhodobejší výskum, čo však v tejto práci z časových dôvodov nebolo možné.

Ďalším problémom je vliv anizotropie na tvorbu kvalitného spoja. V tejto práci nemala veľký význam , ale nesmieme zabudnúť , že boli vytvorené spoje v svojom extréme, ktorý v praxi nebude použity.

Otázkou je i vliv vhodne použitého typu spoja pre daný materiál. Veľké množstvo rôznych druhov lepidiel umožňuje ich veľkú variabilitu. Zatiaľ , ako už v tejto práci bolo spomenuté, teória zaostava za praxou . takže by sme museli každý druh najskôr vyskúšať , a až potom vyslovíť nejaké závery , čo značne zdrží ich použitie v praxi.

Nastienili sme len niekoľko problémov pozorovaných pri lepení a skúšaní vzoriek použitých v tejto práci , ktoré jasne dokazujú náročnosť problematiky adhezného spojovania materiálov. Táto práca mala príliš veľký záber skúmania , ktorý nedovoľoval venovať sa jednotlivým otázkam podrobnejšie. Nechavame ich ako ďalšie námety pre

diplomové práce s doporučením začať výskum na monofilných vláknach (priadza sama o sebe je už zložité teleso) , ktoré by boli ľahké na interpretáciu teórie adhezného spájania a sústredit' sa len na jeden konkrétny problém , a ten potom podrobne preskúmať.

ZOZNAM LITERATÚRY :

- [1] OSTEN, M. : Práce s lepidly a tmely , SNTL , Praha 1986
- [2] OSTEN, M. : Lepení plastických hmot , SNTL , Praha 1974
- [3] SODOMKA,L. : Nekonvenční způsoby spojování a oddělování, (přednášky) Liberec 1996
- [4] SODOMKA, L. : Mechanoluminescence a její použití , ACADEMIA , Praha 1985
- [5] SODOMKA, L. : Struktúra a vlastnosti pevných látok , SNTL , Praha 1967
- [6] MOTEJL,V. : Stroje a zařízení v oděvní výrobě , SNTL , Praha 1984
- [7] LIDAŘÍK, M.: Epoxidové pryskyřice , SNTL , Praha 1983
- [8] JEŽKOVÁ, J.: Adhézní spoje v technických konfekcích, jejich mechanické a reologické vlastnosti (Diplomová práce) , TU Liberec 1996
- [9] SIMON, J.: Textilní materiály , SPN , Praha 1954
- [10] HLADÍK, V. a kol.: Textilní vlákna , SNTL , Praha 1970
- [11] ŠVÉDOVÁ, J. a kol.: Technické textílie , VÚ lykových vláken , Šumperk 1978
- [12] VOSÁHLOVÁ, R.: Studium mechanických vlastností sílových tkanin a jejich souvislosti se strukturou a stejnoměrností (Diplomová práce), VŠST Liberec 1991
- [13] Návod k obsluze TIRATESTU
- [14] POSPÍŠIL, Z. a kol.: Příručka textilního odborníka, sv. 1. 1. vydání , SNTL , Praha 1981
- [15] Akustická emise : Názvosloví , směrnice CDS č.70/1988 , SVÚ materiálu , Praha
- [16] SODOMKA, L.: Wissenschaftliche Berichte 13-15. 4. 1988

ZOZNAM PRÍLOH :

Príloha 1 Programy tāhových skúšok

Príloha 2 Pracovné diagrami tkanín a vystužených tkanín

Príloha 3 Pracovné diagrami jednoduchých preplatovaných spojov

Príloha 4 Pracovné diagrami jednostranne preplatovaných spojov

Príloha 5 Grafy aktivity akustickej emisie

Príloha 6 Modelový výpočet adheznej energie

PRÍLOHA

PRÍLOHA 1

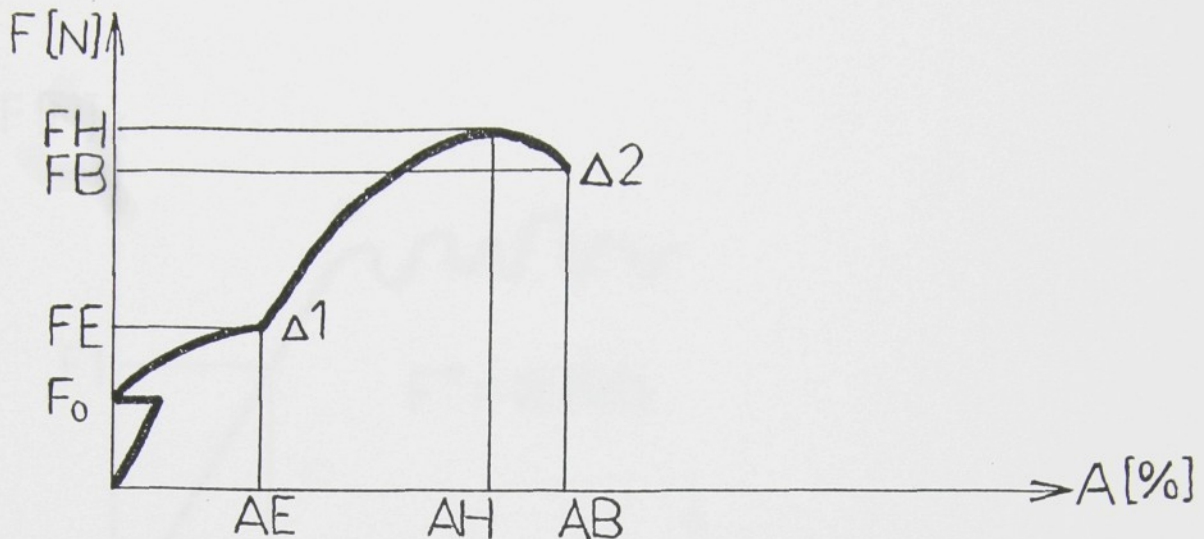
Programy tāhových skúšok

Počet listov : 2

Príloha 1 je súbor dvoch programov v tvare skriptu v programe Python 3.0, ktoré sú určené na výpočet tāhových skúšok. Prvý program je určený na výpočet sily prídušky, ktorá je potrebná na dosiahnutie daného tāhu. Výpočet je založený na vzťahu (1), kde F_{tah} je sila prídušky, m_{tah} je hmotnosť tāhu, α je koeficient a F_{druh} je sila druhého tahu. Príslušné hodnoty sú uvedené v faktore 0. Nejdôležitejšia je to, že výpočet je určený vzhľadom k tomu, že je možné počítačové prostredie "Python" predstaviť sily v jednotkach da pa metrických (metriky, kilogramy, sekundy) či anglických (fúty, libry, sekundy).

Štandardná skúška pre skúšanie textilu a papiera.

T1 (ATP 1)



IN : DAT 1- 4: vstupné data

$DIV : 0$ pred číslom (tex) - N/tex

1 hodnoty v N

$LO:$ upínacia dĺžka

$FO:$ predpätie v N

1: pokles prvej sily roztrhnutia v N - sklz

2: pokles sily roztrhnutia v N

OUT : NR : bežné číslo skúšky

$TH:$ doba roztrhnutia v S

$FE:$ sila prvého roztrhnutia (narušenie) v N

$FB:$ sila roztrhnutia v N

$FH:$ maximálna sila v N

$AE:$ pretiahnutie pri sklz v %

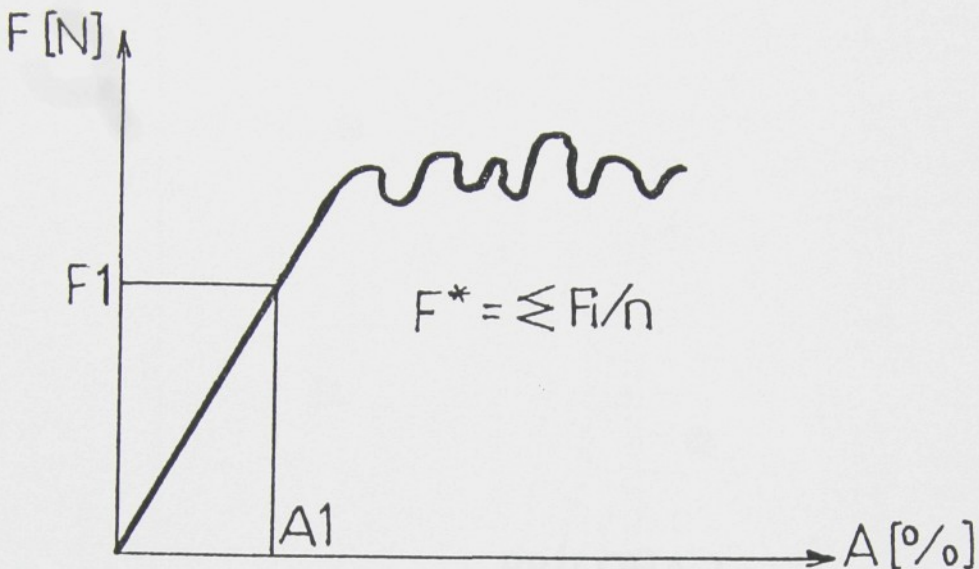
$AH:$ pretiahnutie pri max. sile v %

$AB:$ pretiahnutie pri sile roztrhnutia v %

U tohto programu sa pri dosiahnutí predpäťia FO skoriguje zadaná dĺžka upnutia LO o veľkosť zmeny dĺžky, ku ktorej až do tohto okamžiku dôjde. Keď dôjde k poklesu sily, ktorá je väčšia ako zadaný pokles sily 1, potom to počítač interpretuje, ako dosiahnutie sily prvého roztrhnutia a vypočíta príslušnú hodnotu rozťahnutia. Keď po novom vzostupe sily dôjde k ďalšiemu poklesu sily, ktorý je rovnaký alebo väčší ako zadaná hodnota 2, je dosiahnuté roztrhnutie vzorku a vypočítajú sa sila roztrhnutia a tāžnosť. Keď platí, že 2 je väčšie ako FH - potom sa pre FB a AB určí hodnota 0. Najväčšiu silu, ku ktorej dôjde behom skúšky t'ahom - max. pevnosť - a príslušná hodnota pretiahnutia - max. pretiahnutie - potom počítač uloží do pamäti. Mimo to počítač zistí dobu od začiatku skúšky t'ahom až po dosiahnutie max. sily.

Skúška d'alšieho roztrhnutia .

T 6 (ATP 6)



IN : DAT : (1-4) vstupné data

DIV : 0 pred číslom tex - N/tex

1 hodnoty v N

= 1 hodnoty v N/mm

L0 : upínacia dĺžka v mm

AL : hodnota pretiahnutia v % - po dosiahnutí AL dôjde k vytvoreniu strednej hodnoty F

OUT : NR : číslo skúšky

F1 : hodnota sily v N pri dosiahnutí AL

F : stredná hodnota v N

NUTNO MANUÁLNE PRERUŠIŤ PRIEBEH SKÚŠKY.

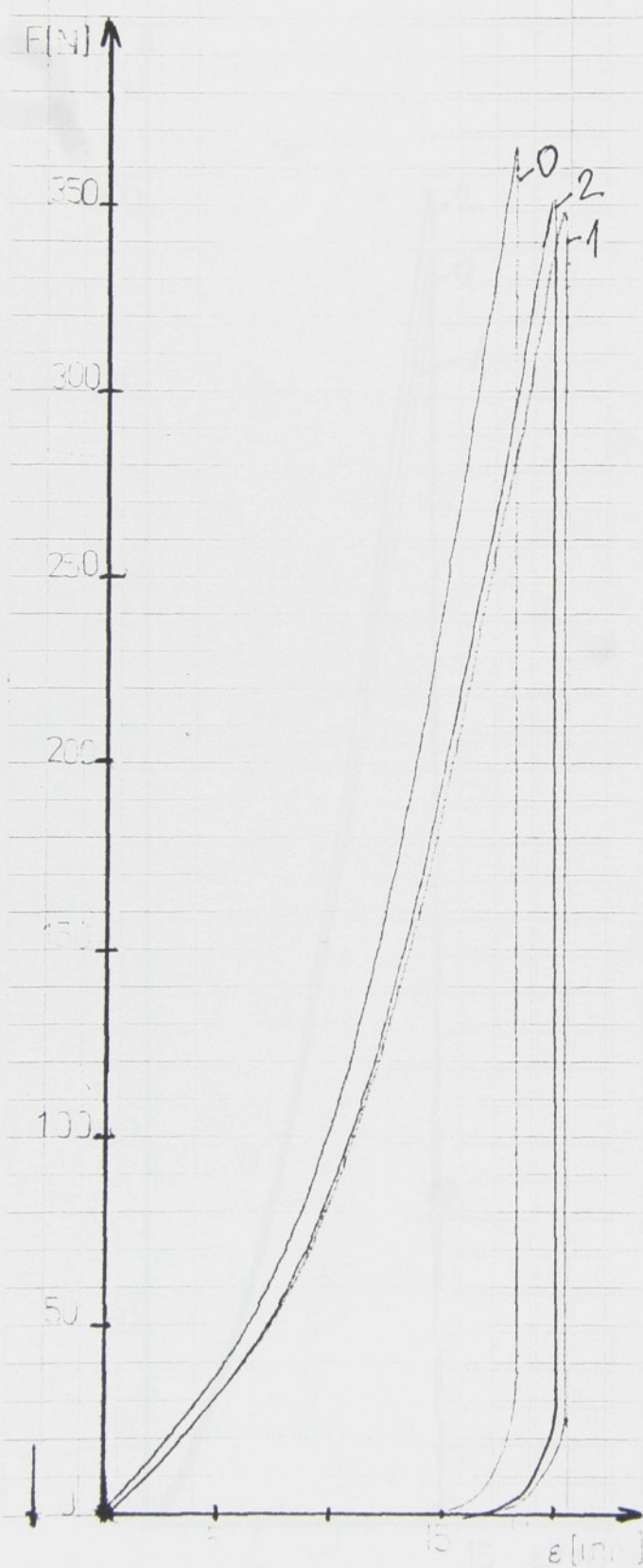
Ked' sa u tohto programu dosiahne zadané vzťažné pret'aženie AL, určí sa príslušná hodnota sily. Po dosiahnutí vzťažného pret'aženia sa zistia a spočítajú aktuálne hodnoty sily F_1 až užívateľ zastaví pohon stisknutím tlačítka STOP. Po ukončení skúšky ľahom sa suma týchto hodnôt sily delí počtom nameraných hodnôt a tým sa F určí ako aritmetická stredná hodnota hodnôt sily.

PRÍLOHA 2

Pracovné diagramy tkanín a vystužených tkanín

Počet listov : 18

ba:0°



STANDARDPROGRAMM
TEXTIL

L0 = 100mm

a2 = 10N

DAT1 = 01

NR = 0

TH = 6.8801s

FEM = 0N

FEB = 366.6N

FEE = 366.6N

FEH = 0N

GR = 18.4%

GRB = 18.4%

NR = 1

TH = 7.4801s

FEM = 0N

FEB = 346.6N

FEE = 347.7N

FEH = 0N

GR = 20%

GRB = 20.2%

NR = 2

TH = 7.4401s

FEM = 0N

FEB = 350.5N

FEE = 350.5N

FEH = 0N

GR = 19.9%

GRB = 19.9%

KMU = 1KN

DAT1 = 01

DIV = 1

L0 = 100mm

F0 = 0N

a1 = 0N

a2 = 10N

NR = 3

R/FH=354.93N

s/FH=10.261N

V/FH=2.8743%

P/FH=7.1357%

E/FH=344.73N

R/AH=19.433%

s/AH=0.8963%

V/AH=4.6125%

P/AH=11.451%

E/AH=18.537%

ba: U_o



DAT1 = 21

NR = 0
TH = 4.8000s
FE = 0N
FB = 339.1N
FH = 339.1N
AE = 0N
AH = 12.8%
AB = 12.8%

NR = 1
TH = 4.7800s
FE = 0N
FB = 329.2N
FH = 329.2N
AE = 0N
AH = 12.7%
AB = 12.7%

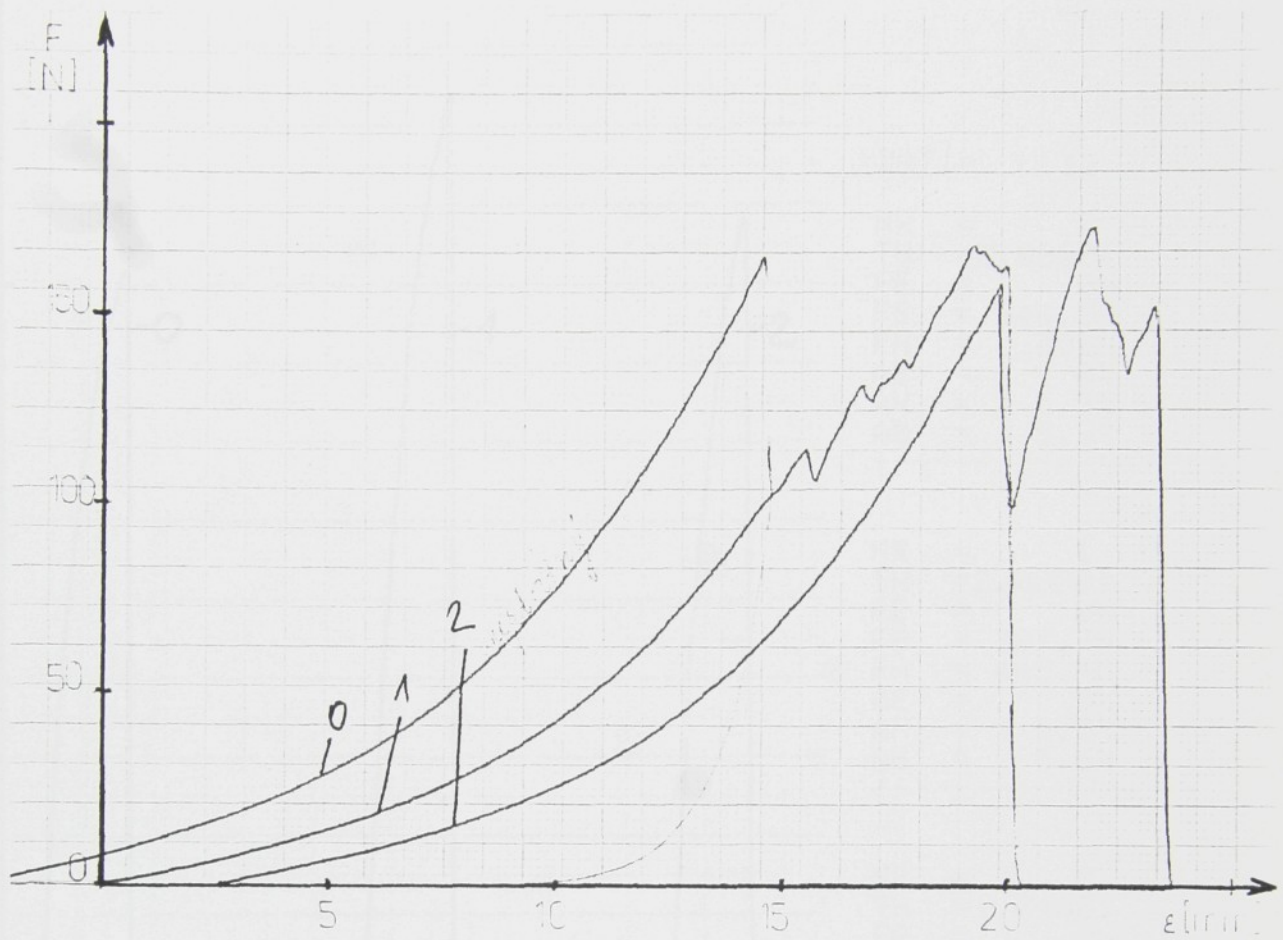
NR = 2
TH = 4.8000s
FE = 0N
FB = 359.5N
FH = 359.6N
AE = 0N
AH = 12.8%
AB = 12.8%

KMU: 1KN
DAT1 = 21
DIV = 1
LG = 100mm
FO = 0N
a1 = 0N
a2 = 10N
NR = 3

R/FH = 342.3N
s/FH = 14.959N
V/FH = 4.3702%
P/FH = 10.849%
E/FH = 327.34N

R/AH = 12.766%
s/AH = 0.0580%
V/AH = 0.4548%
P/AH = 1.1292%
E/AH = 12.708%

ba:45₀



$$\begin{aligned} DAT_1 &= 31 \\ \Delta_2 &= 100\text{N} \end{aligned}$$

$$\begin{aligned} NR &= 0 \\ TH &= 13.66\text{s} \\ FE &= 0\text{N} \\ FB &= 0\text{N} \\ FH &= 160.9\text{N} \\ AE &= 0\% \\ AH &= 36.5\% \\ AB &= 0\% \end{aligned}$$

$$\begin{aligned} NR &= 1 \\ TH &= 13.52\text{s} \\ FE &= 0\text{N} \\ FB &= 0\text{N} \\ FH &= 165.3\text{N} \\ AE &= 0\% \\ AH &= 36.1\% \\ AB &= 0\% \end{aligned}$$

$$\begin{aligned} KMU &= 1\text{KN} \\ DAT_1 &= 31 \\ DIV &= 1 \end{aligned}$$

$$\begin{aligned} LO &= 100\text{mm} \\ FO &= 0\text{N} \\ \Delta_1 &= 0\text{N} \\ \Delta_2 &= 100\text{N} \end{aligned}$$

$$\begin{aligned} HR &= 2 \\ R/FH &= 163.1\% \\ \dot{\epsilon}/FH &= 3.1118\% \\ V/FH &= 1.9079\% \\ P/FH &= 5.8012\% \\ E/FH &= 159.98\text{N} \end{aligned}$$

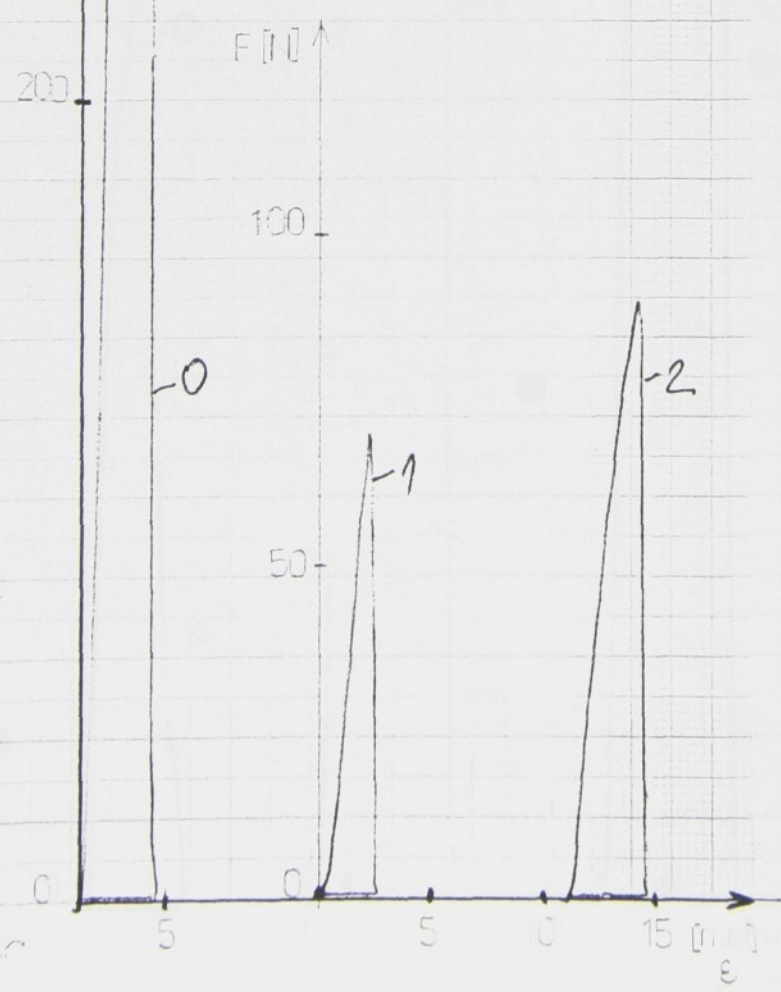
$$\begin{aligned} R/AH &= 36.3\% \\ \dot{\epsilon}/AH &= 0.2825\% \\ V/AH &= 0.7783\% \\ P/AH &= 2.3666\% \\ E/AH &= 36.017\% \end{aligned}$$

ba: U₁



DAT1=	22
NR	= 0
TH	= 1.1400s
EE	= 580.5N
EE	= 600.5N
EE	= 0%

EE	= 0.9000s
EE	= 474.9N
EE	= 474.9N
EE	= 0%
EE	= 0%



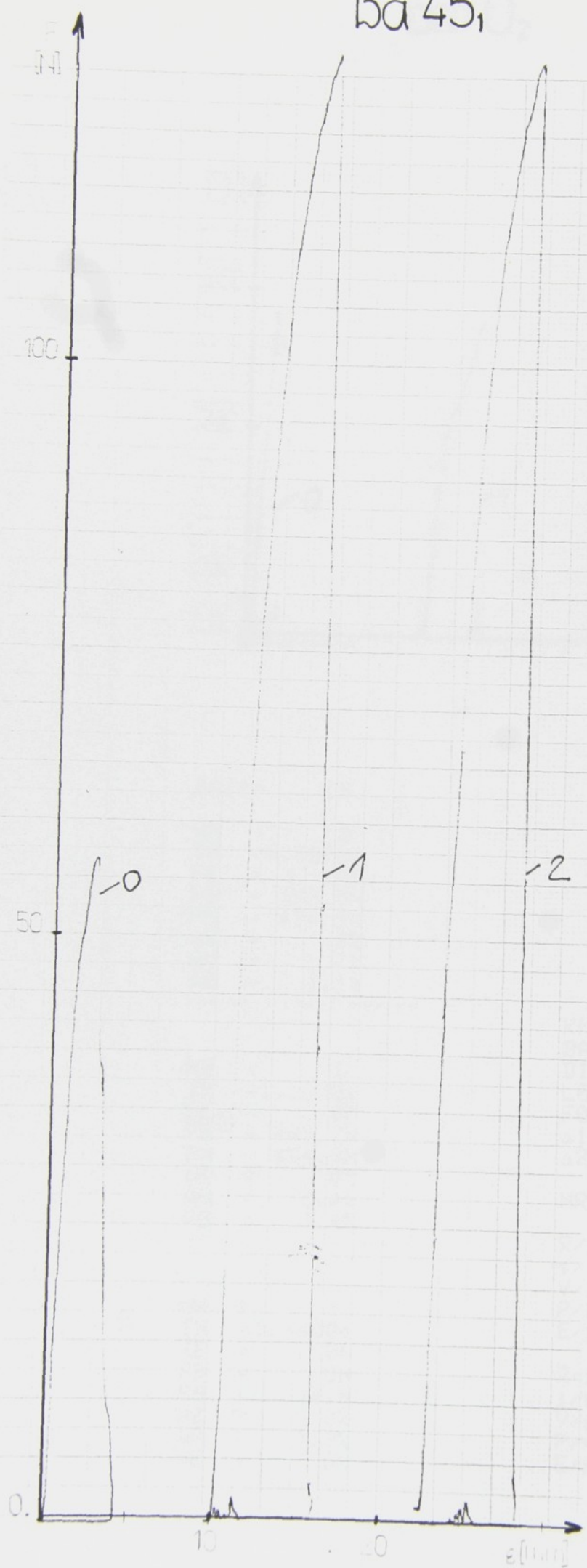
NR	= 0
TH	= 1.2200s
EE	= 584.5N
EE	= 599N
EE	= 0%
EE	= 3.2%
EE	= 3.2%

KNU:	1KN
DAT1=	22
DIY	= 1
LO	= 100mm
FO	= 0N
s1	= 0N
s2	= 100N
NR	= 3

$$\begin{aligned}x/FH &= 564.0\% \\s/FH &= 78.594\% \\V/FH &= 13.915\% \\P/FH &= 34.546\% \\E/FH &= 486.80\%\end{aligned}$$

$$\begin{aligned}x/AH &= 2.8333\% \\s/AH &= 0.4725\% \\V/AH &= 16.679\% \\P/AH &= 41.408\% \\E/AH &= 2.3607\%\end{aligned}$$

ba 45,



DAT1= 32

NR	=	0	%
TH	=	0.9200	%
FE	=	0.9500	%
FH	=	223.40	N
RE	=	0.60	%
EB	=	2.42	%
AB	=	0	%

NR	=	1	%
TH	=	0.1400	%
FE	=	0.437	N
FH	=	504.80	N
RE	=	0.55	%
EB	=	5.62	%
AB	=	0.05	%

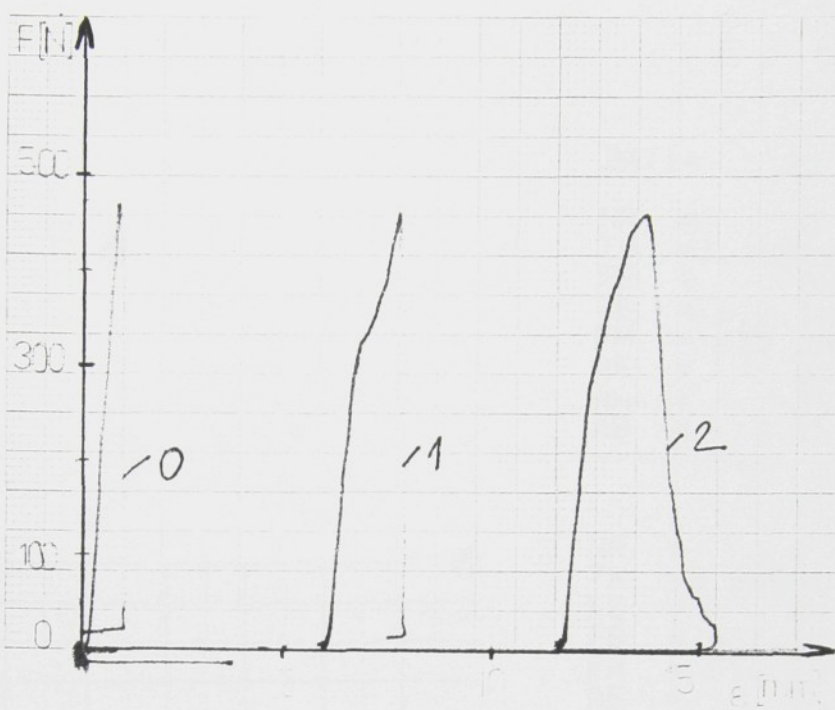
NR	=	2	%
TH	=	1.9600	%
FE	=	411.90	N
FH	=	493.00	N
RE	=	0.55	%
EB	=	5.20	%
AB	=	0.05	%

KMW:	1KN
DAT1	= 32
DIV	= 1
LCS	= 180mm
FE	= 0%
FA	= 100N
HR	= 3

R/FH= 493.7N
S/FH=169.51N
V/FH=39.273%
P/FH=97.501%
E/FH=248.18N

R/AH= 4.4%
S/AH=1.7435%
V/AH=39.626%
P/AH=98.376%
E/AH=2.6564%

ba: O₂



DAT1 = 13

NR = 0
TH = 0.6800s
FE = 0N
FB = 452.59N
FH = 474.99N
AE = 0%
AH = 1.7%
AB = 1.8%

KMU: 1kN
DAT1 = 13
DIV = 1
L0 = 100mm
F0 = 0N
a1 = 0N
a2 = 100N
NR = 3

NR = 1
TH = 1.2800s
FE = 0N
FB = 445.73N
FH = 454.33N
AE = 0%
AH = 3.4%
AB = 3.4%

R/FH=456.73N
s/FH=17.081N
V/FH=3.7399%
P/FH=9.2848%
E/FH=439.65N

NR = 2
TH = 1.4400s
FE = 0N
FB = 0N
FH = 441N
AE = 0%
AH = 3.8%
AB = 0%

R/AH=2.9666%
s/AH=1.1150%
V/AH=37.586%
P/AH=93.311%
E/AH=1.8516%

ba:U₂



DAT1= 23

HR	=	0
TH	=	1.16000
EFFE	=	0.04
EFFE	=	612.1H
EFFE	=	638.2H
EFFE	=	0%
EFFE	=	3%
EFFE	=	3.1%

HR	=	1
TH	=	0.90000
EFFE	=	0.04
EFFE	=	437.1H
EFFE	=	516.2H
EFFE	=	0%
EFFE	=	2.3%
EFFE	=	2.4%

HR	=	2
TH	=	1.38000
EFFE	=	0.04
EFFE	=	658.6H
EFFE	=	658.6H
EFFE	=	0%
EFFE	=	3.6%
EFFE	=	3.6%

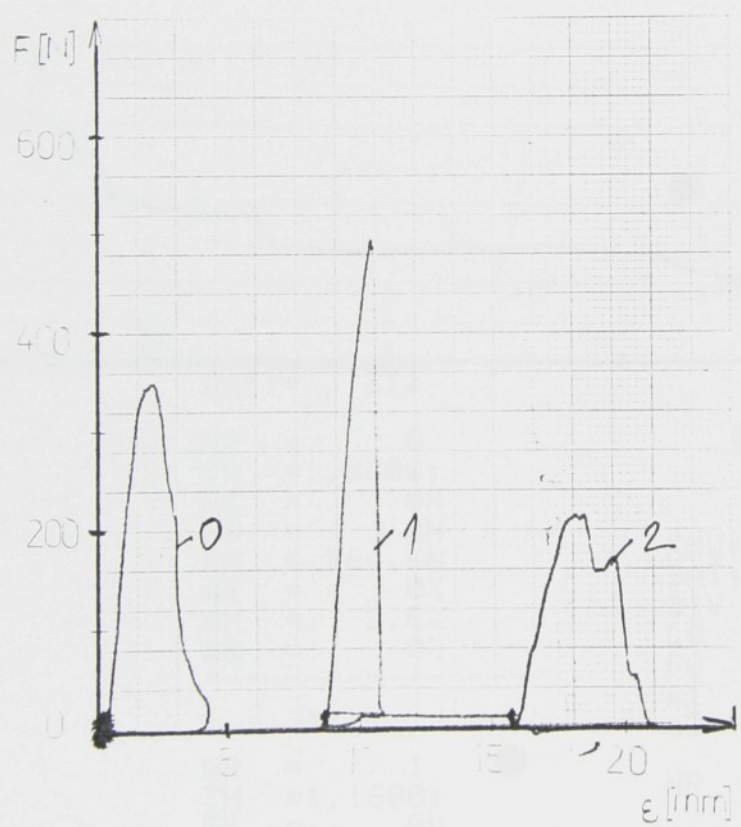
KMW:	=	1KN
DAT1:	=	23
DIV:	=	1
L0:	=	100mm
P0:	=	0N
P1:	=	0%
P2:	=	100%

HR = 3

R/FH=604.33N
s/FH=77.004N
V/FH=12.742%
P/FH=31.633%
E/FH=527.32N

R/AH=2.9866%
s/AH=0.6506%
V/AH=21.931%
P/AH=54.448%
E/AH=2.3168%

ba: 45₂



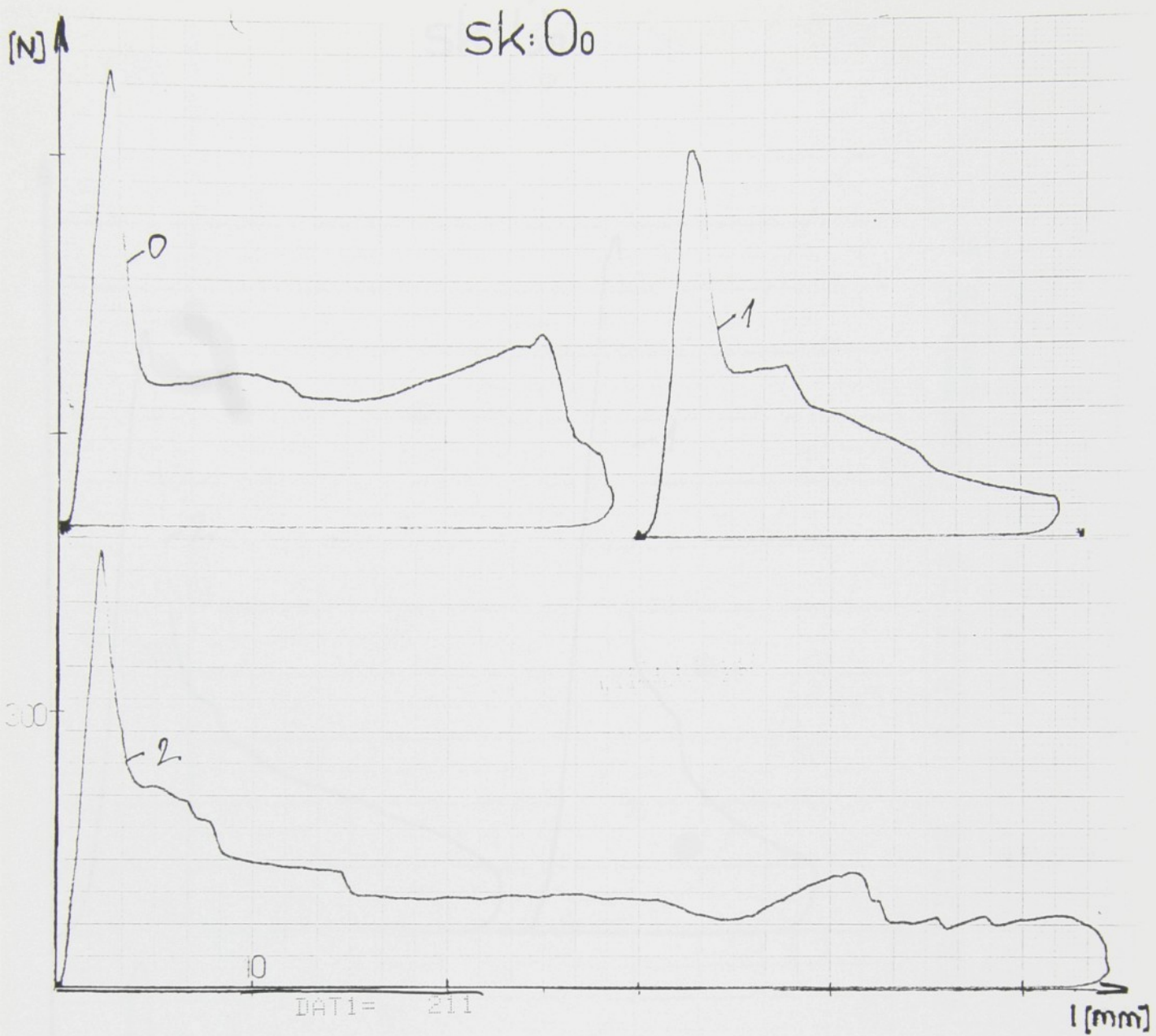
DETTENTME	0
DETTENTME	0.05%
DETTENTME	0.1%
DETTENTME	0.2%
DETTENTME	0.3%
DETTENTME	0.4%
DETTENTME	0.5%
DETTENTME	0.6%
DETTENTME	0.7%
DETTENTME	0.8%
DETTENTME	0.9%
DETTENTME	1%
DETTENTME	1.0%
DETTENTME	1.1%
DETTENTME	1.2%
DETTENTME	1.3%
DETTENTME	1.4%
DETTENTME	1.5%
DETTENTME	1.6%
DETTENTME	1.7%
DETTENTME	1.8%
DETTENTME	1.9%
DETTENTME	2.0%
DETTENTME	2.1%
DETTENTME	2.2%
DETTENTME	2.3%
DETTENTME	2.4%
DETTENTME	2.5%
DETTENTME	2.6%
DETTENTME	2.7%
DETTENTME	2.8%
DETTENTME	2.9%
DETTENTME	3.0%
DETTENTME	3.1%
DETTENTME	3.2%
DETTENTME	3.3%
DETTENTME	3.4%
DETTENTME	3.5%
DETTENTME	3.6%
DETTENTME	3.7%
DETTENTME	3.8%
DETTENTME	3.9%
DETTENTME	4.0%
DETTENTME	4.1%
DETTENTME	4.2%
DETTENTME	4.3%
DETTENTME	4.4%
DETTENTME	4.5%
DETTENTME	4.6%
DETTENTME	4.7%
DETTENTME	4.8%
DETTENTME	4.9%
DETTENTME	5.0%
DETTENTME	5.1%
DETTENTME	5.2%
DETTENTME	5.3%
DETTENTME	5.4%
DETTENTME	5.5%
DETTENTME	5.6%
DETTENTME	5.7%
DETTENTME	5.8%
DETTENTME	5.9%
DETTENTME	6.0%
DETTENTME	6.1%
DETTENTME	6.2%
DETTENTME	6.3%
DETTENTME	6.4%
DETTENTME	6.5%
DETTENTME	6.6%
DETTENTME	6.7%
DETTENTME	6.8%
DETTENTME	6.9%
DETTENTME	7.0%
DETTENTME	7.1%
DETTENTME	7.2%
DETTENTME	7.3%
DETTENTME	7.4%
DETTENTME	7.5%
DETTENTME	7.6%
DETTENTME	7.7%
DETTENTME	7.8%
DETTENTME	7.9%
DETTENTME	8.0%
DETTENTME	8.1%
DETTENTME	8.2%
DETTENTME	8.3%
DETTENTME	8.4%
DETTENTME	8.5%
DETTENTME	8.6%
DETTENTME	8.7%
DETTENTME	8.8%
DETTENTME	8.9%
DETTENTME	9.0%
DETTENTME	9.1%
DETTENTME	9.2%
DETTENTME	9.3%
DETTENTME	9.4%
DETTENTME	9.5%
DETTENTME	9.6%
DETTENTME	9.7%
DETTENTME	9.8%
DETTENTME	9.9%
DETTENTME	10.0%

KNU:	1KN
DAT1:	33
DIV:	1
LG:	100mm
FQ:	5H
A1:	0N
A2:	100N
NR:	3

R/FH=	353.76H
s/FH=	140.99H
V/FH=	39.854%
P/FH=	98.942%
E/FH=	212.77H

R/AH=	2.4666%
s/AH=	0.2886%
V/AH=	11.703%
P/AH=	39.854%
E/AH=	2.1779%

sk: 0₀



NR = 0
TH = 1.0600s
FE = 0N
FB = 0N
FH = 564.6N
AE = 0%
AH = 2.8%
AB = 0%

KMW: 1KN
DAT1 = 211
DIV = 1
L0 = 100mm
FO = 0N
s1 = 0N
s2 = 100N

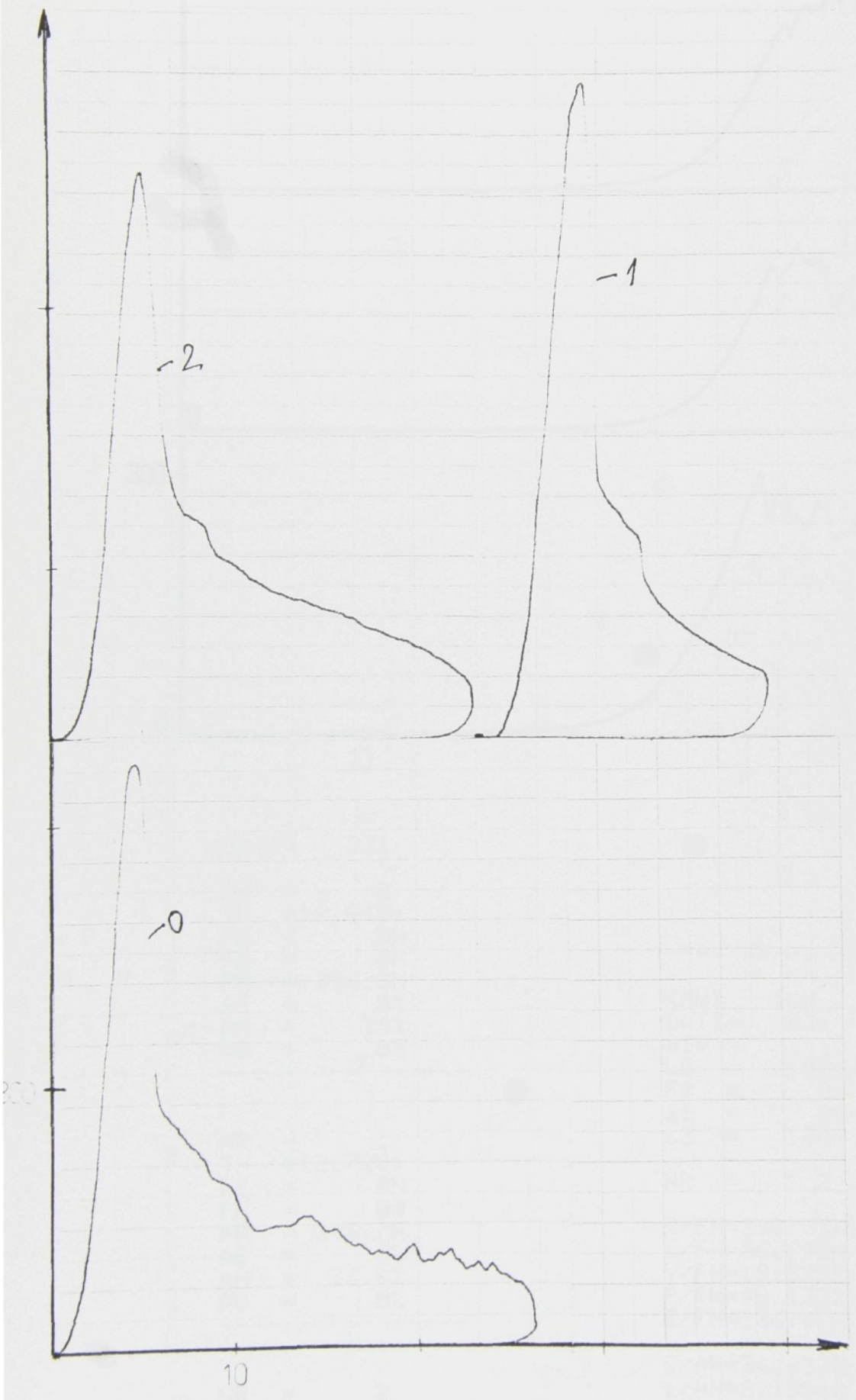
NR = 1
TH = 1.1600s
FE = 0N
FB = 0N
FH = 475.9N
AE = 0%
AH = 3%
AB = 0%

NR = 3
 $\bar{x}/FH = 528.2N$
 $s/FH = 46.439N$
 $V/FH = 8.7920%$
 $P/FH = 21.827%$
 $E/FH = 481.76N$

NR = 2
TH = 0.9600s
FE = 0N
FB = 0N
FH = 544.1N
AE = 0%
AH = 2.5%
AB = 0%

$\bar{x}/AH = 2.7666%$
 $s/AH = 0.2516%$
 $V/AH = 9.0963%$
 $P/AH = 22.582%$
 $E/AH = 2.515%$

sk: \dot{U}_0



DAT1 = 221

NR	=	1,768,880
TH	=	770,4,52
FE	=	0,000,000
FH	=	0,000,000
AE	=	0,000,000
AH	=	0,000,000
AB	=	0,000,000

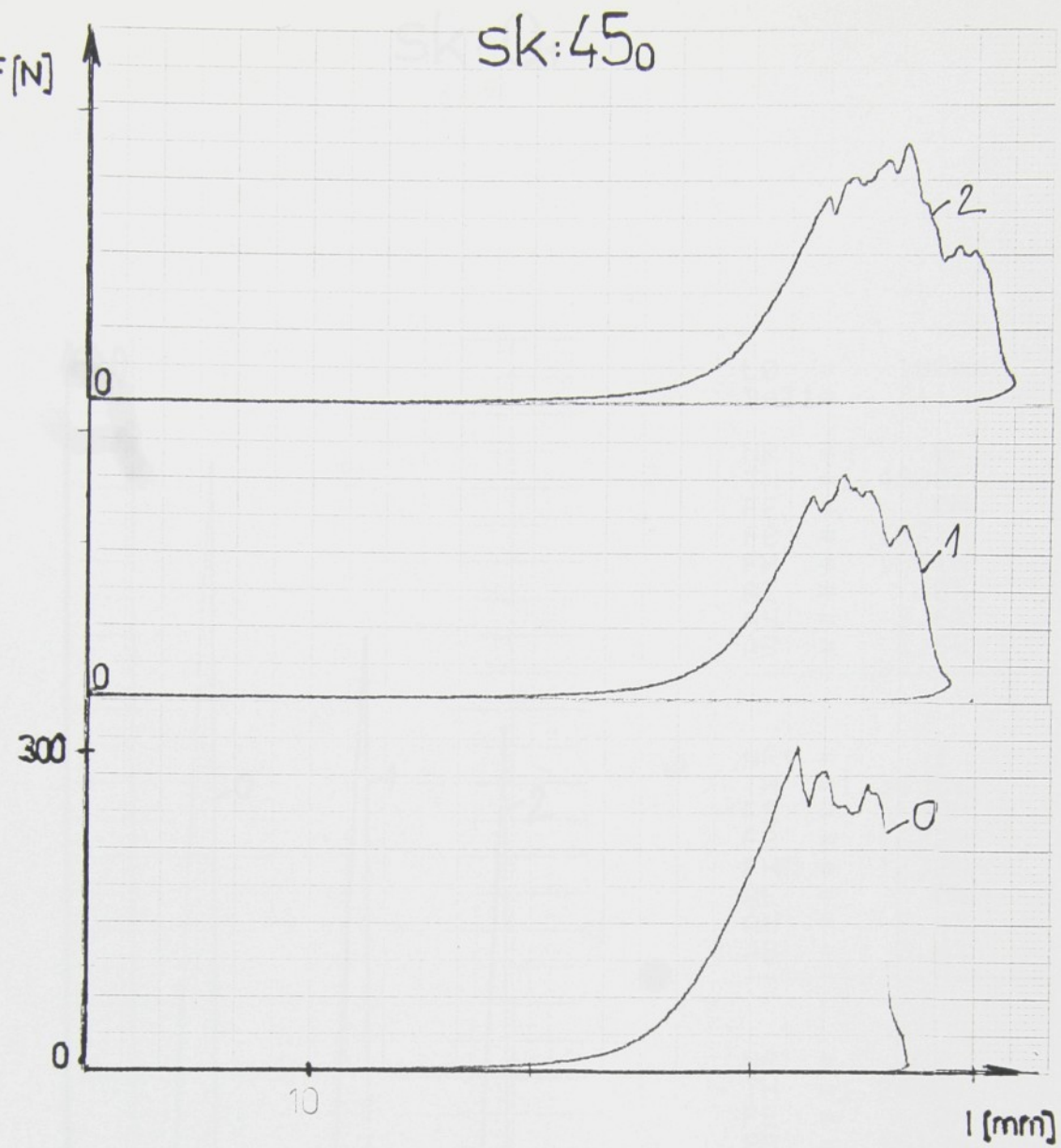
NR	=	1,920,000
TH	=	874,0,
FE	=	0,000,000
FH	=	0,000,000
AE	=	0,000,000
AH	=	0,000,000
AB	=	0,000,000

NR	=	1,920,000
TH	=	753,
FE	=	0,000,000
FH	=	0,000,000
AE	=	0,000,000
AH	=	0,000,000
AB	=	0,000,000

KMW = 1KH
DAT1 = 221
DIV = 1000000
L6 = 1000000
F0 = 1000000
a1 = 1000000
a2 = 1000000
NR = 0

R/FH = 799,333%
s/FH = 65,333%
V/FH = 8,170%
P/FH = 20,286%
E/FH = 734,000%

X/AH = 5,1665%
s/AH = 0,5600000%
V/AH = 11,000000%
P/AH = 27,000000%
E/AH = 4,598000%



DAT1= 231

NR	=	0
TH	=	12.040s
FE	=	0N
FB	=	0N
FH	=	356.3N
AE	=	0%
AH	=	32%
AB	=	0%

KMU:	1KH
DAT1=	231
DIY	= 1
LG	= 100mm
FG	= 0N
z1	= 0N
z2	= 100N

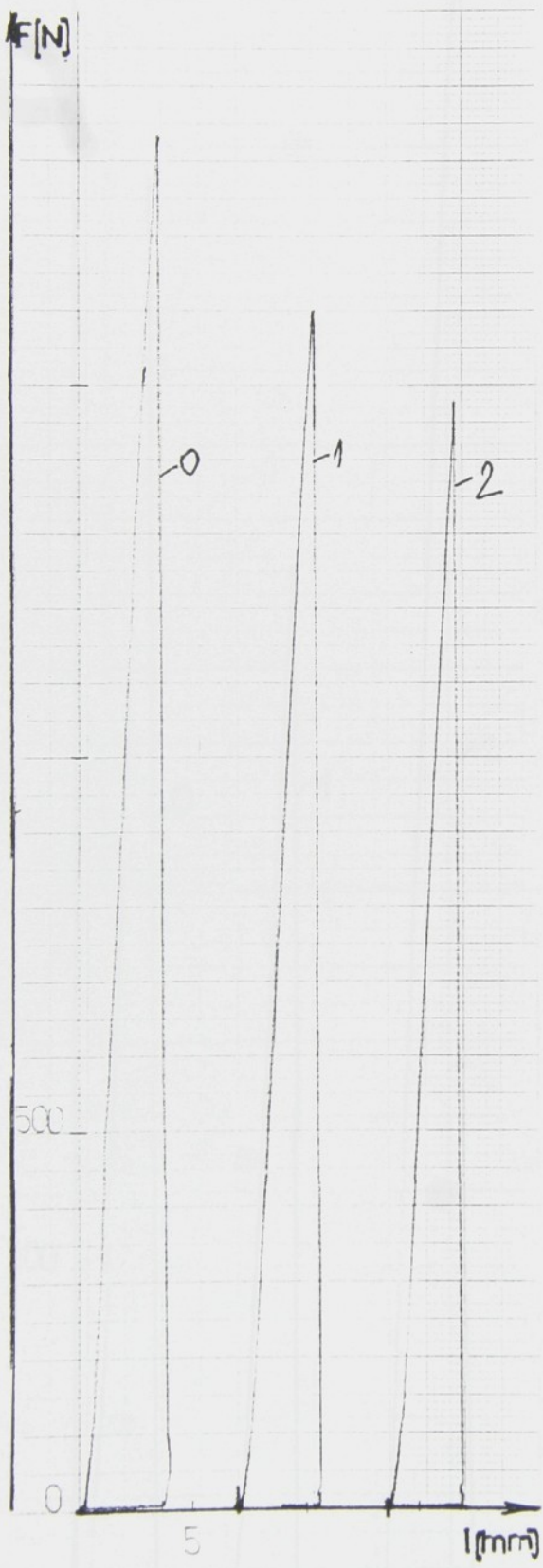
NR	=	1
TH	=	12.720s
FE	=	0N
FB	=	0N
FH	=	245.7N
AE	=	0%
AH	=	33.8%
AB	=	0%

X/FH=	293.33%
s/FH=	56.072%
V/FH=	19.388%
P/FH=	48.133%
E/FH=	236.46N

NR	=	2
TH	=	13.640s
FE	=	0N
FB	=	0N
FH	=	278N
AE	=	0%
AH	=	36.3%
AB	=	0%

X/AH=	34.033%
s/AH=	2.1594%
V/AH=	6.3451%
P/AH=	15.752%
E/AH=	31.873%

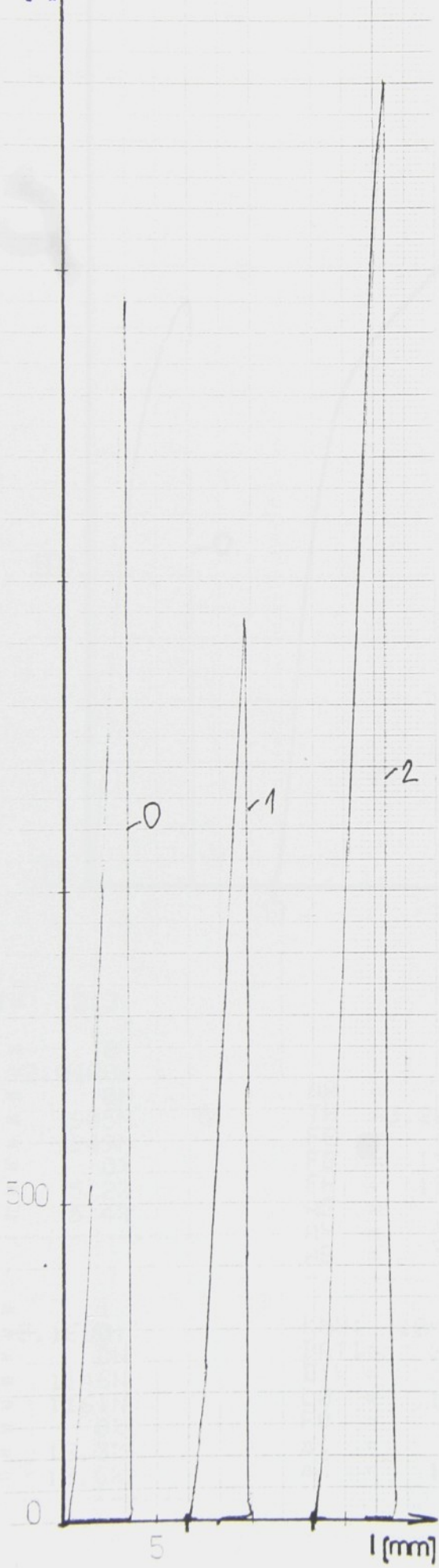
sk: 0,



DATE:	100mm
DAT1:	211
DAT2:	0
DAT3:	0
DAT4:	0
DAT5:	0
DAT6:	0
DAT7:	0
DAT8:	0
DAT9:	0
DAT10:	0
DAT11:	0
DAT12:	0
DAT13:	0
DAT14:	0
DAT15:	0
DAT16:	0
DAT17:	0
DAT18:	0
DAT19:	0
DAT20:	0
DAT21:	0
DAT22:	0
DAT23:	0
DAT24:	0
DAT25:	0
KEN:	10KN
DAT1:	211
DAT2:	100mm
DAT3:	100mm
DAT4:	0
DAT5:	0
DAT6:	0
DAT7:	0
DAT8:	0
DAT9:	0
DAT10:	0
DAT11:	0
DAT12:	0
DAT13:	0
DAT14:	0
DAT15:	0
DAT16:	0
DAT17:	0
DAT18:	0
DAT19:	0
DAT20:	0
DAT21:	0
DAT22:	0
DAT23:	0
R/FH=	1674N
s/FH=	179.71N
v/FH=	10.735%
p/FH=	86.653%
e/FH=	1494.24
r/AH=	3.4%
s/AH=	0.2000%
v/AH=	5.8825%
p/AH=	14.604%
e/AH=	3.1999%

Sk: U₁

F[N]



DAT1 = 212

NR	0
THEUR	1.3888888888888888
THEUR	2000112
THEUR	2000112
THEUR	3.32

THEUR	1.0000000000000002
THEUR	1.2200000000000002
THEUR	1.47
THEUR	1.47
THEUR	1.47

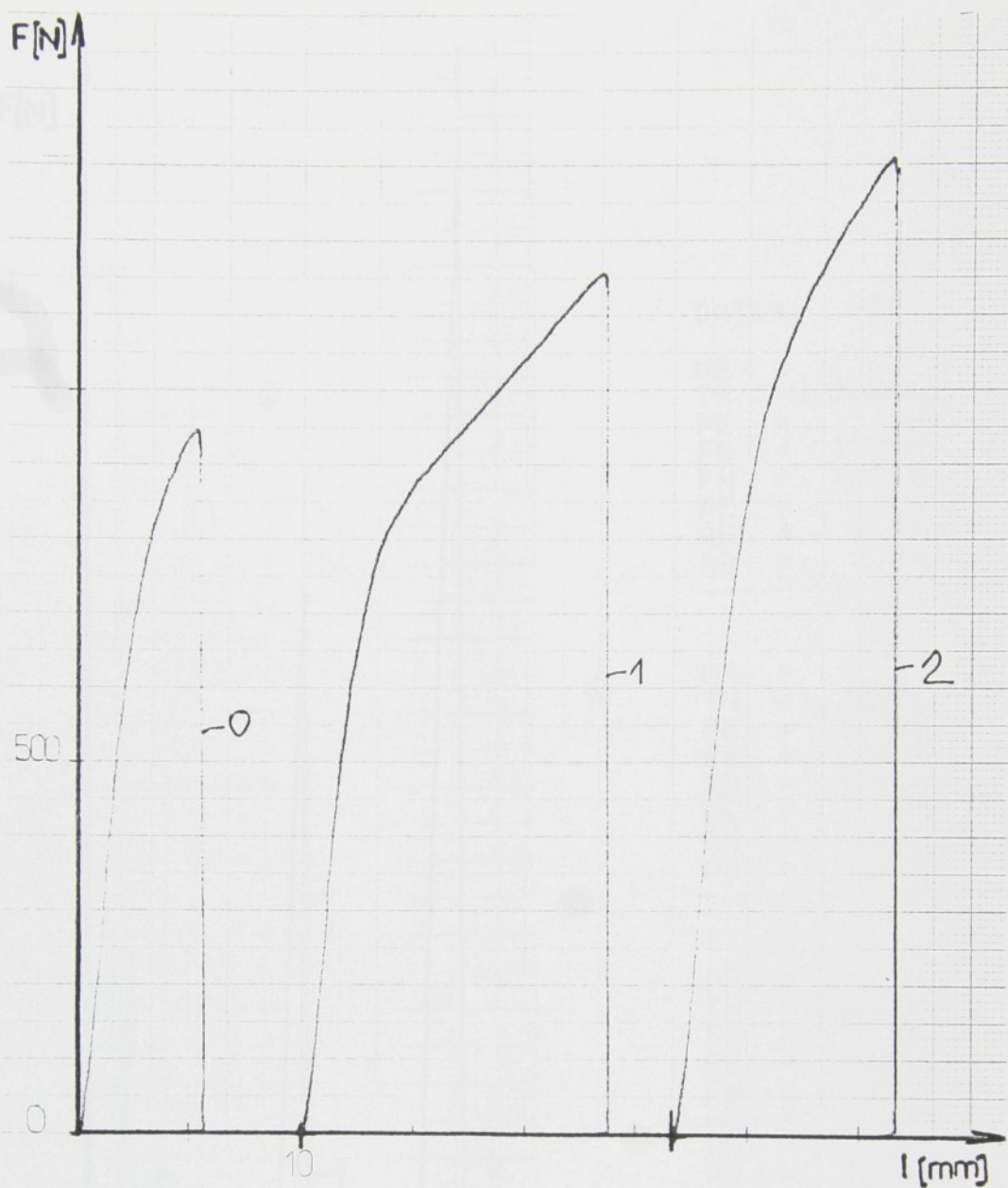
THEUR	0.0000000000000002
THEUR	0.0000000000000002
THEUR	0.33
THEUR	0.33
THEUR	0.33

KMU = 10KN
DAT1 = 212
DIV = 1
L0 = 198mm
F0 = 0mm
B1 = 100N
B2 = 100N
NR = 3

X/FH=1939.34
s/FH=448.742
V/FH=22.7262
P/FH=566.4212
E/FH=1498.562

X/AH=3.4666666666666666
s/AH=0.4723232323232323
V/AH=1.1333333333333333
P/AH=0.9946666666666666
E/AH=0.9946666666666666

Sk: 45,



DAT1 = 213

NR = 0
TH = 2.0400s
FE = 0N
FB = 905N
FH = 949N
AE = 0%
AH = 5.2%
AB = 5.4%

NR = 2
TH = 3.8000s
FE = 0N
FB = 1318N
FH = 1318N
AE = 0%
AH = 9.8%
AB = 9.8%

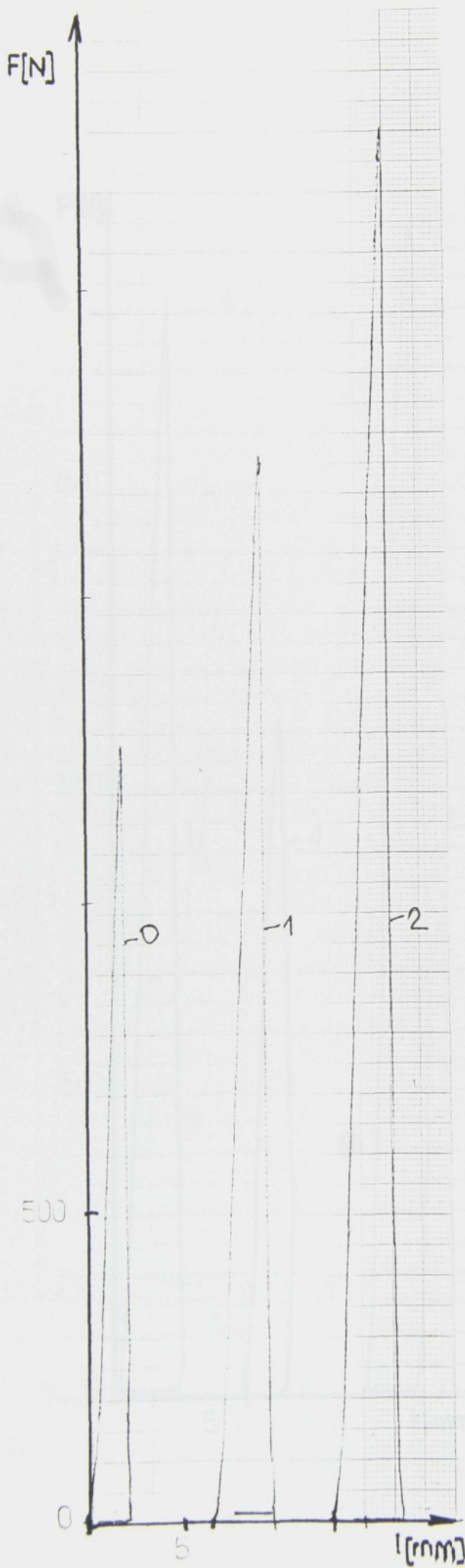
NR = 3
 $\Delta/FH = 1142.6N$
 $s/FH = 185.18N$
 $V/FH = 16.206\%$
 $P/FH = 40.233\%$
 $E/FH = 957.48N$

NR = 1
TH = 5.1600s
FE = 0N
FB = 1146N
FH = 1161N
AE = 0%
AH = 13.3%
AB = 13.6%

KMU: 10kN
DAT1 = 213
DIV = 1
L0 = 100mm
F0 = 0N
 $\Delta 1 = 0N$
 $\Delta 2 = 100N$

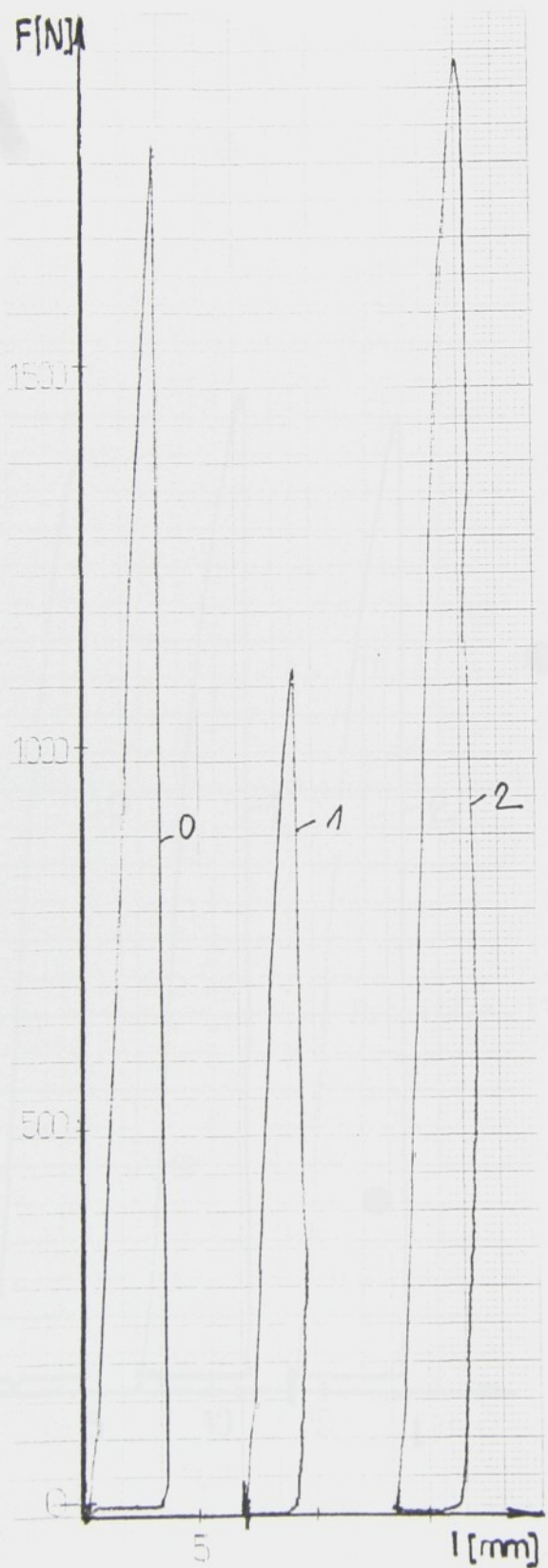
$\Delta/AH = 9.4333\%$
 $s/AH = 4.0624\%$
 $V/AH = 43.064\%$
 $P/AH = 106.91\%$
 $E/AH = 5.3709\%$

sk: O₂

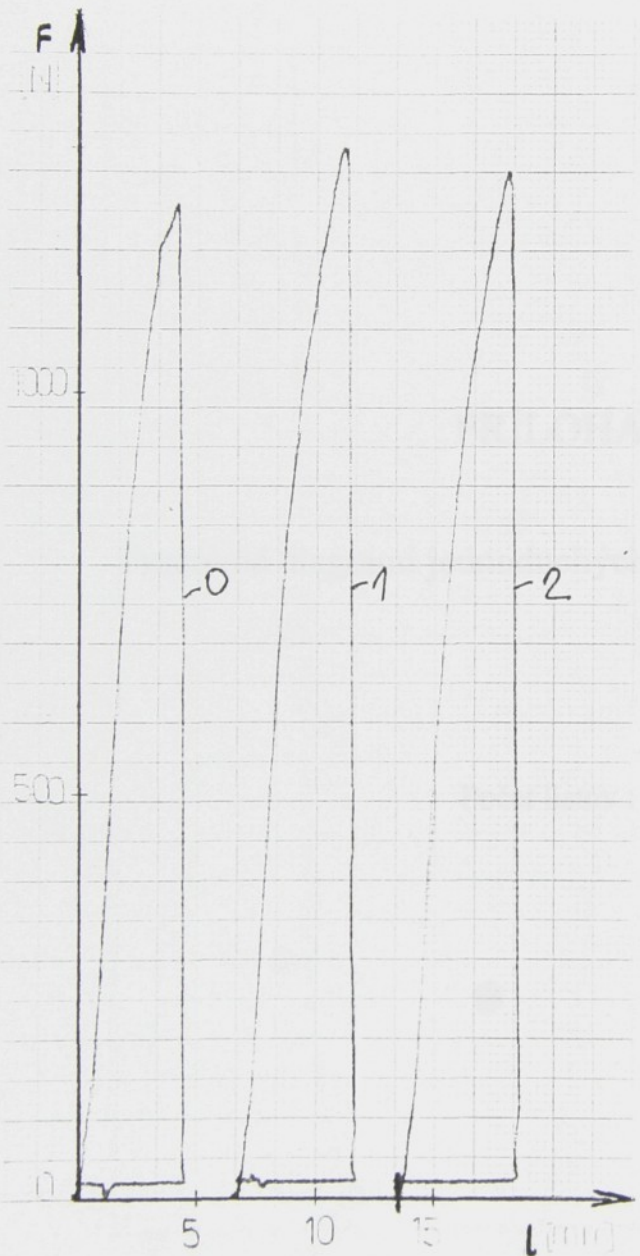


DAT1=	221
R/EH	0
E/EH	0.9000s
H/EH	0H
R/EH	1301N
E/EH	1301N
H/EH	0%
R/EH	0.8%
E/EH	0.8%
H/EH	0%
R/EH	0.2600s
E/EH	1
H/EH	1786H
R/EH	1786H
E/EH	0%
H/EH	0.2%
R/EH	0.3600s
E/EH	0
H/EH	2335N
R/EH	2335N
E/EH	0%
H/EH	3.4%
R/EH	0.3600s
E/EH	0
H/EH	2335N
R/EH	2335N
E/EH	0%
H/EH	3.4%
KMW=	10KN
DAT1=	221
R/EH	1
E/EH	100mm
H/EH	0H
R/EH	0H
E/EH	100H
NR	0
Z	3
R/FH=	1807.3H
S/FH=	517.33H
V/FH=	28.624%
P/FH=	71.062%
E/FH=	1290H
R/AH=	2.9333%
S/AH=	0.6429%
V/AH=	21.917%
P/AH=	54.412%
E/AH=	2.2904%

sk U₂



sk 45₂



DAT1= 223

NR	=	0
TH	=	1.7200s
FE	=	0N
FB	=	1230N
FH	=	1236N
AE	=	0%
AH	=	4.4%
AB	=	4.4%

NR	=	1
TH	=	1.7800s
FE	=	0N
FB	=	1277N
FH	=	1300N
AE	=	0%
AH	=	4.6%
AB	=	4.7%

NR	=	2
TH	=	1.8800s
FE	=	0N
FB	=	1284N
FH	=	1284N
AE	=	0%
AH	=	4.8%
AB	=	4.8%

KMW: 10KN
 DAT1= 223
 DIV = 1
 L0 = 100mm
 FE = 0N
 A1 = 0N
 A2 = 100N

NR = 3

X/FH=1273.3N
 s/FH=33.312N
 V/FH=2.6162%
 P/FH=6.4949%
 E/FH=1240.0N

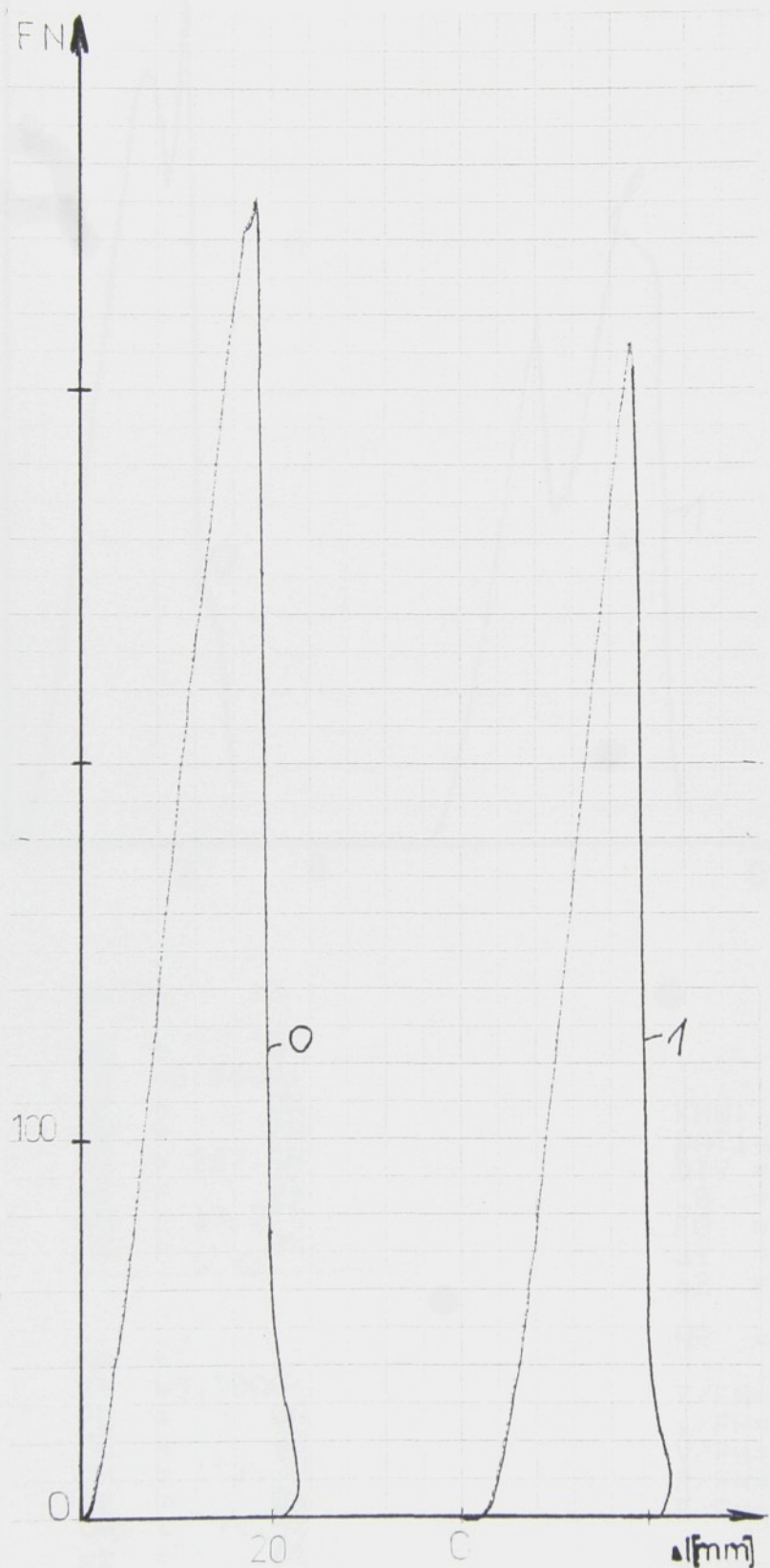
X/AH= 4.6%
 s/AH= 0.2%
 V/AH=4.3478%
 P/AH=10.794%
 E/AH= 4.4%

PRÍLOHA 3

Pracovné diagrami jednoduchých preplatovaných spojov

Počet listov : 15

b/a: 0/0



DATEN: 1.

NR = 0
TH = 2.7600s
FE = 0N
FB = 0N
FH = 351.1N
AE = 0%
AH = 18.5%
AB = 0%

NR = 1
TH = 2.8000s
FE = 0N
FB = 0N
FH = 314.8N
AE = 0%
AH = 18.25%
AB = 0%

KMU: 1KN
DIV = 1
LG = 40mm
FO = 0N
 Δ_1 = 0N
 Δ_2 = 100N

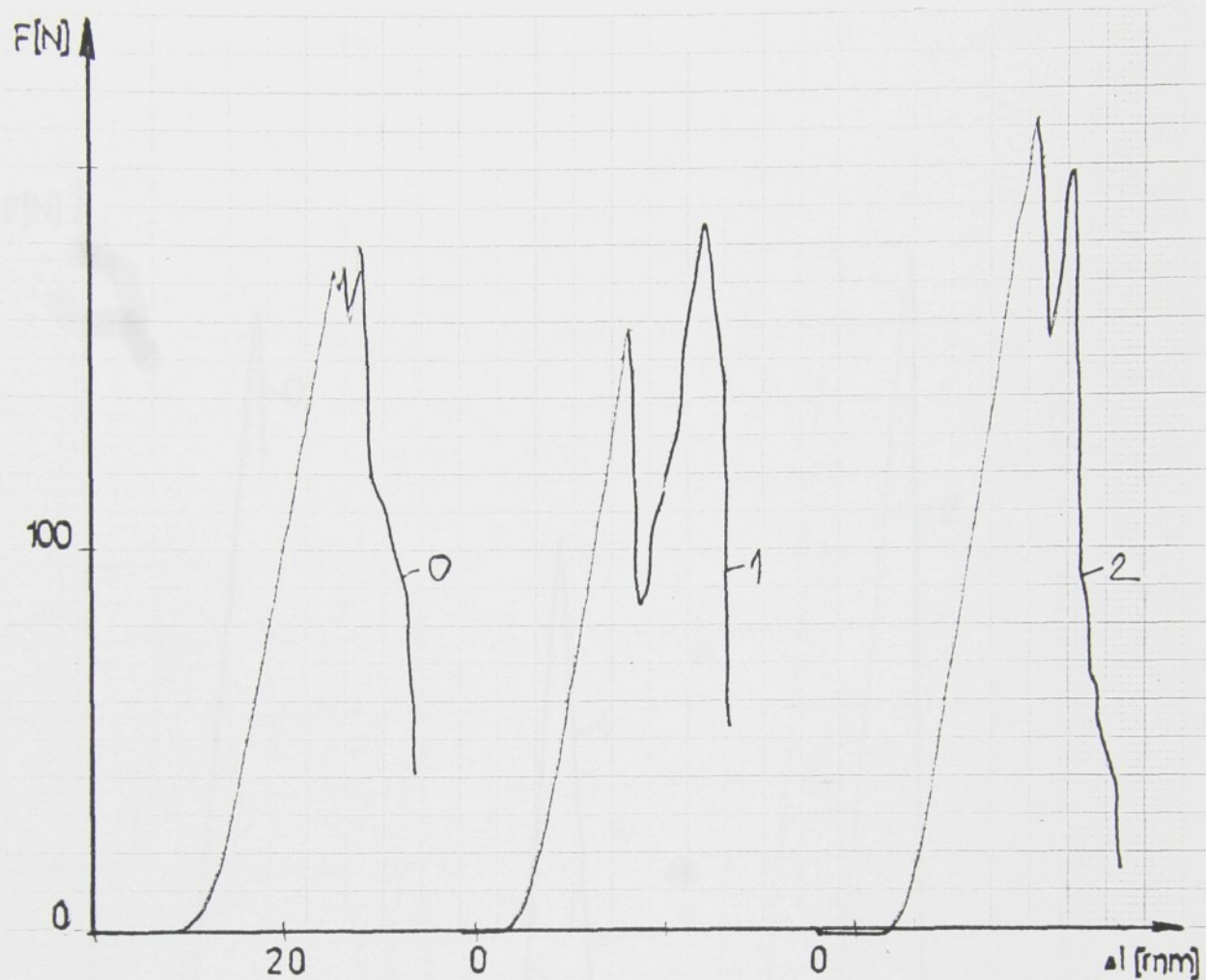
NR = 2

$\Sigma/FH=332.95\%$
 $s/FH=25.668\%$
 $V/FH=7.7093\%$
 $P/FH=23.448\%$
 $E/FH=307.28\%$

$\Sigma/AH=18.375\%$
 $s/AH=0.1767\%$
 $V/AH=0.9620\%$
 $P/AH=2.9251\%$
 $E/AH=18.198\%$

ENDE ZERTIFIKAT

ba:0/45



DAT1= 13

NR = 0
TH = 4.4400s
FE = 0N
FB = 0N
FH = 181.1N
AE = 0%
AH = 29.5%
AB = 0%

KMU: 1KH
DAT1= 13
DIV = 1
L0 = 40mm
F0 = 0N
a1 = 0N
a2 = 100N

NR = 1
TH = 3.9600s
FE = 0N
FB = 0N
FH = 185.9N
AE = 0%
AH = 26.5%
AB = 0%

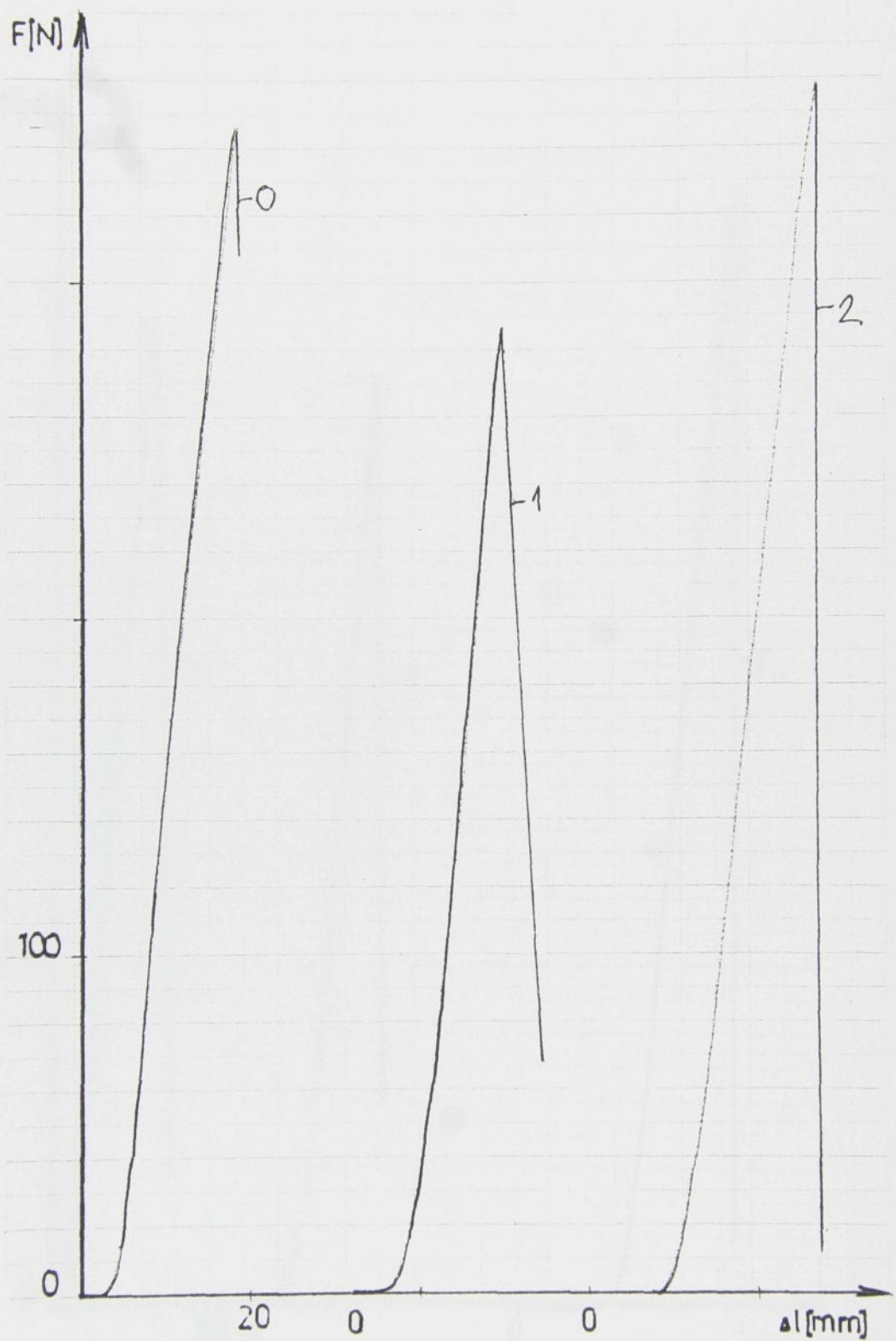
NR = 3
 $\bar{x}/FH=194.06N$
 $s/FH=18.459N$
 $V/FH=9.5117\%$
 $P/FH=23.613\%$
 $E/FH=175.60N$

NR = 2
TH = 3.5400s
FE = 0N
FB = 0N
FH = 215.2N
AE = 0%
AH = 23.75%
AB = 0%

$\bar{x}/AH=26.583\%$
 $s/AH=2.8758\%$
 $V/AH=10.818\%$
 $P/AH=26.857\%$
 $E/AH=23.707\%$

ENDE ZERTIFIKAT

ba: 0/U



X/FH=	332,62%
s/FH=	39,01%
V/FH=	11,73%
P/FH=	29,12%
E/FH=	29,33%
X/AH=	18,91%
s/AH=	0,62%
V/AH=	3,05%
P/AH=	7,57%
E/AH=	18,33%

ba: Ü/U

FM

100

DAT1= 15

NR = 0
TH = 1.7800s
FE = 0.0H
EE = 283.6H
EG = 0.0X
EH = 11.75%
AB = 0.0%

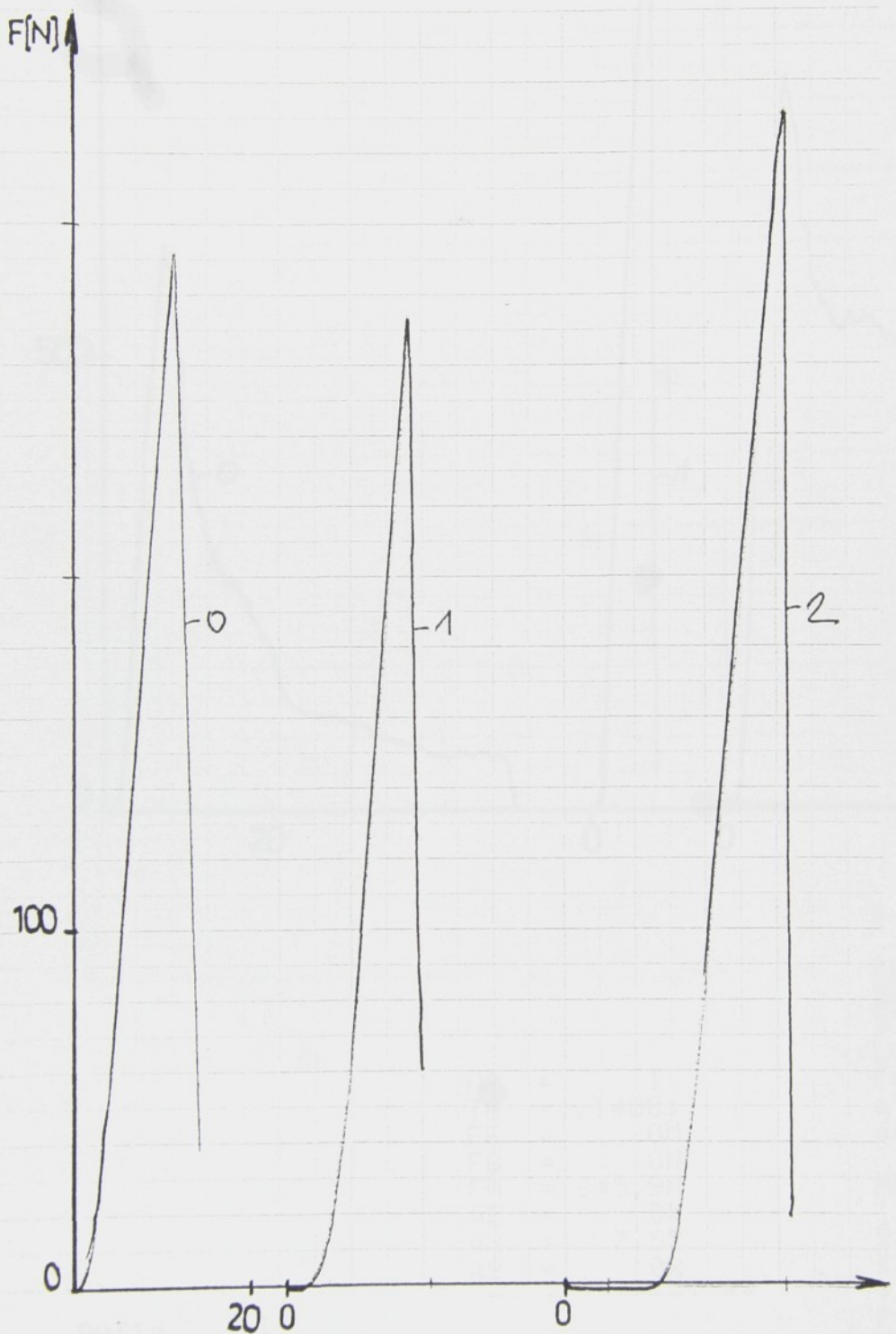
NR = 1
TH = 2.0800s
FE = 0.0H
EE = 279.5H
EG = 0.0X
EH = 14%
AB = 0%

NR = 2
TH = 2.3800s
FE = 0.0H
EE = 281.3H
EG = 0.0X
EH = 20.0%
AB = 0%

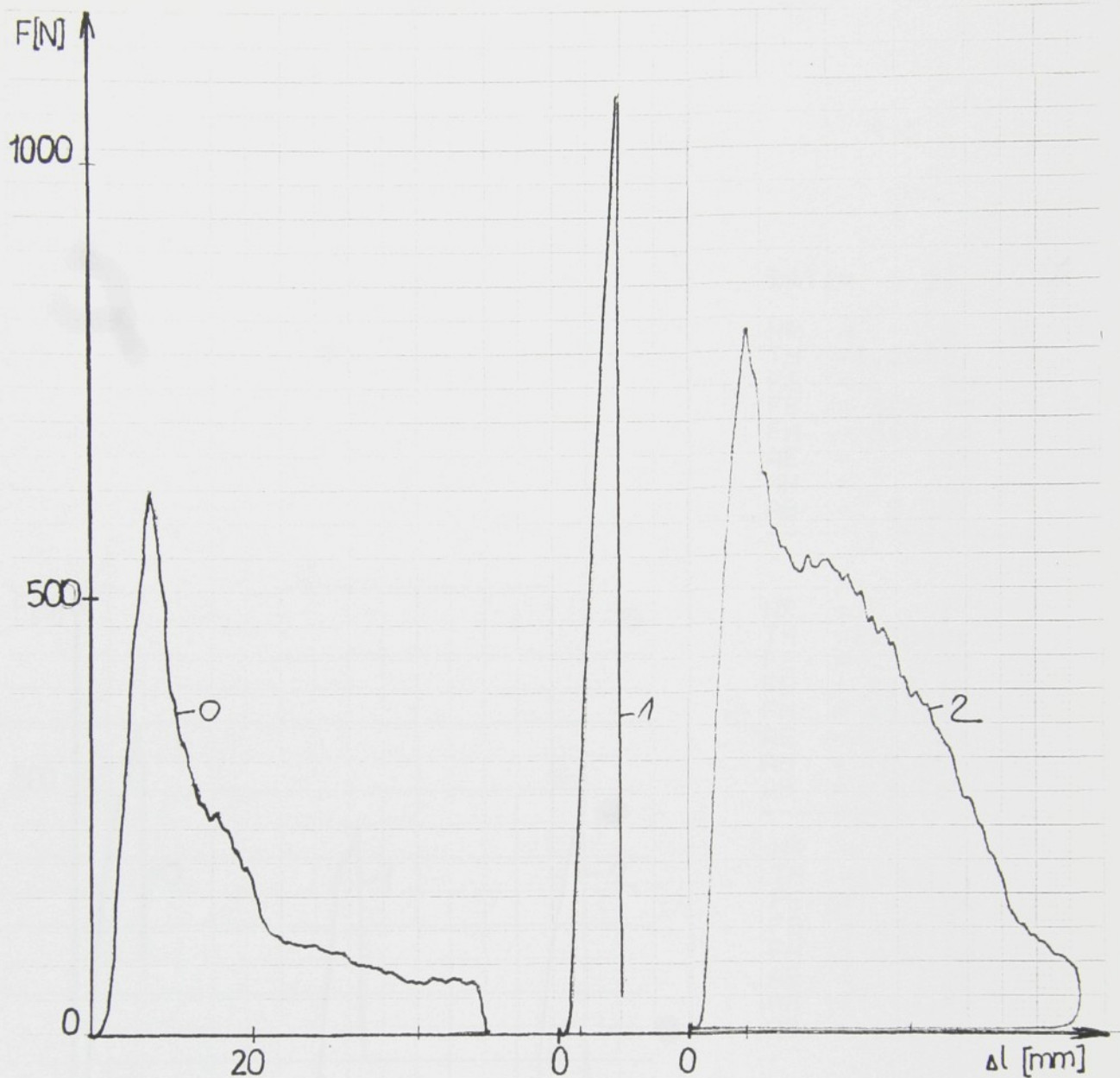
KNU = 1KN
DAT1= 15
DIV = 1
LQ = 46mm
FO = 0H
a1 = 0H
e1 = 100H
NR = 3

X/FH=303.46H
s/FH=30.136H
V/FH=9.9300%
P/FH=24.664%
E/FH=273.33H

X/AH= 17%
s/AH=7.3327%
V/AH=42.545%
P/AH=105.62%
E/AH=9.7672%



sk 0/0



DAT1 =	1	KMW =	1KN
HR =	0	DAT1 =	21
TH =	1.1400s	DIV =	1
FE =	0N	LB =	40mm
FB =	0N	FG =	0N
FH =	645.9N	g1 =	0N
AE =	0%	g2 =	100N
AH =	7.5%	HR =	3
AB =	0%	R/FH=	953.33N
		s/FH=	266.25N
		V/FH=	27.928%
		P/FH=	69.335%
		E/FH=	687.08N
		HR =	2
		TH =	1.0200s
		FE =	0N
		FB =	1100.9N
		FH =	1108.9N
		AE =	0%
		AH =	6.75%
		AB =	0%
		HR =	2
		TH =	1.0200s
		FE =	0N
		FB =	1108.9N
		FH =	1108.9N
		AE =	0%
		AH =	6.75%
		AB =	6.75%
			ENDE ZERTIFIKAT

sk:045

DAT1= 22 26

HR	=	0	0	0	0	0	0	0	0	0	0
TH	=	1.22000	0N								
FE	=	0	0	0	0	0	0	0	0	0	
FB	=	0	0	0	0	0	0	0	0	0	
HT	=	0	0	0	0	0	0	0	0	0	
FT	=	0	0	0	0	0	0	0	0	0	
BT	=	0	0	0	0	0	0	0	0	0	
TT	=	0	0	0	0	0	0	0	0	0	
DE	=	0	0	0	0	0	0	0	0	0	
TE	=	0	0	0	0	0	0	0	0	0	
DE	=	0	0	0	0	0	0	0	0	0	
BT	=	0	0	0	0	0	0	0	0	0	
TT	=	0	0	0	0	0	0	0	0	0	
DE	=	0	0	0	0	0	0	0	0	0	
TE	=	0	0	0	0	0	0	0	0	0	
DE	=	0	0	0	0	0	0	0	0	0	
BT	=	0	0	0	0	0	0	0	0	0	
TT	=	0	0	0	0	0	0	0	0	0	

HR	=	0	0	0	0	0	0	0	0	0	0
TH	=	1.30000	0N								
FE	=	0	0	0	0	0	0	0	0	0	
FB	=	0	0	0	0	0	0	0	0	0	
HT	=	0	0	0	0	0	0	0	0	0	
FT	=	0	0	0	0	0	0	0	0	0	
BT	=	0	0	0	0	0	0	0	0	0	
TT	=	0	0	0	0	0	0	0	0	0	
DE	=	0	0	0	0	0	0	0	0	0	
TE	=	0	0	0	0	0	0	0	0	0	
DE	=	0	0	0	0	0	0	0	0	0	
BT	=	0	0	0	0	0	0	0	0	0	
TT	=	0	0	0	0	0	0	0	0	0	

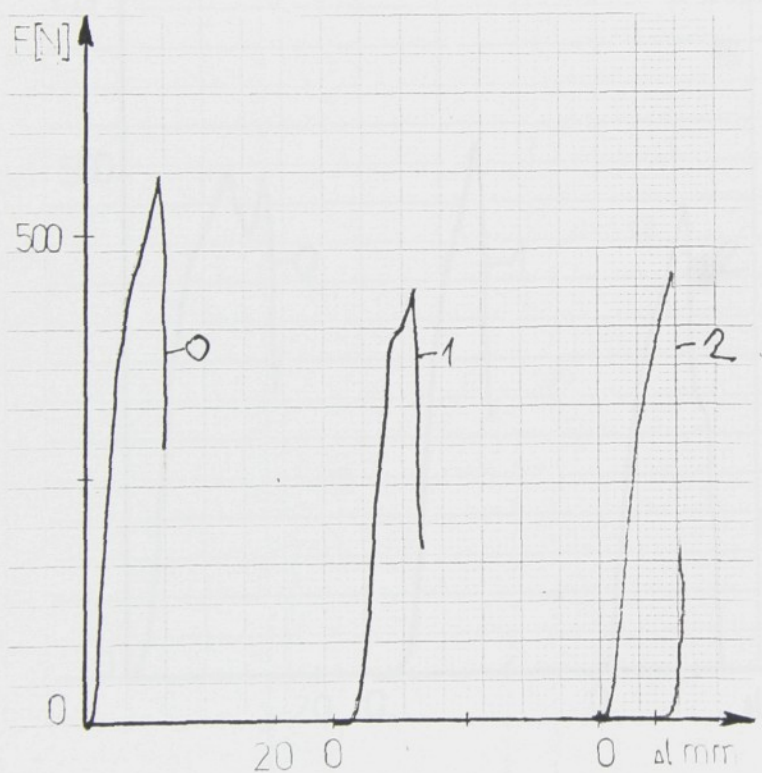
HR	=	0	0	0	0	0	0	0	0	0	0
TH	=	1.34500	0N								
FE	=	0	0	0	0	0	0	0	0	0	
FB	=	0	0	0	0	0	0	0	0	0	
HT	=	0	0	0	0	0	0	0	0	0	
FT	=	0	0	0	0	0	0	0	0	0	
BT	=	0	0	0	0	0	0	0	0	0	
TT	=	0	0	0	0	0	0	0	0	0	
DE	=	0	0	0	0	0	0	0	0	0	
TE	=	0	0	0	0	0	0	0	0	0	
DE	=	0	0	0	0	0	0	0	0	0	
BT	=	0	0	0	0	0	0	0	0	0	
TT	=	0	0	0	0	0	0	0	0	0	

KMW1	=	1KN	
DAT1	=	22	
DIV1	=	1	
DISC1	=	49mm	
END1	=	0N	
END2	=	100N	
END3	=	0N	

ZR = . . . 2

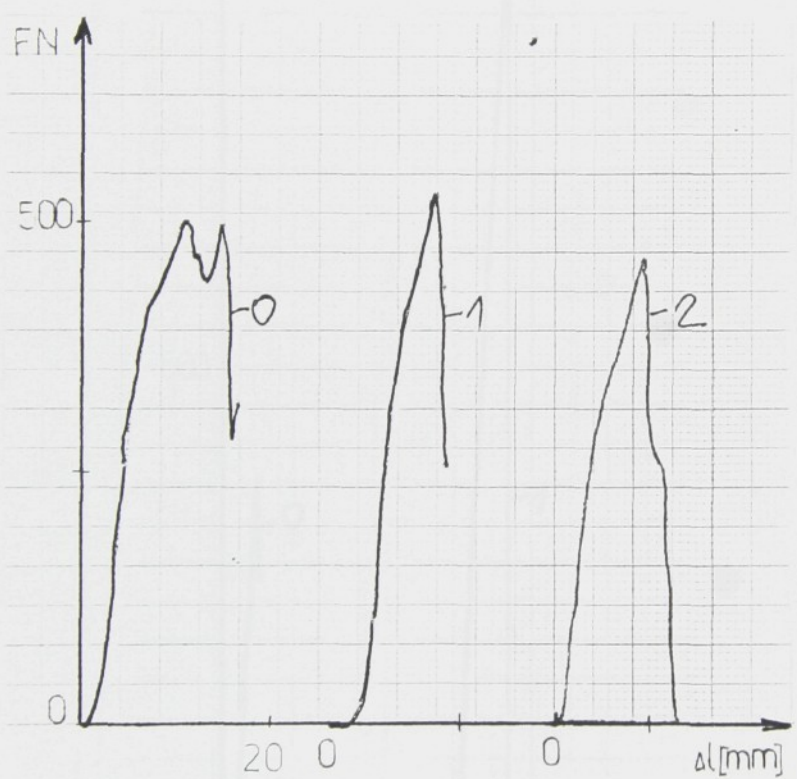
R/FH= 587.3N 492.83
S/FH=80.468N
V/FH=15.062N
P/FH=46.820N
E/FH=426.83N

R/AH= 8.375N 8417
S/AH=8.530N
V/AH=8.332N
P/AH=19.253N
E/AH=7.8446N



sk: U/45

DAT1= 24



KNU: 1KN
DAT1= 24
DIV 1
Q1= 49924
Q2= 10931
NR = 0

KNU: 1KN
DAT1= 24
DIV 1
Q1= 517.0000000000000
Q2= 14.75000000000000
NR = 0

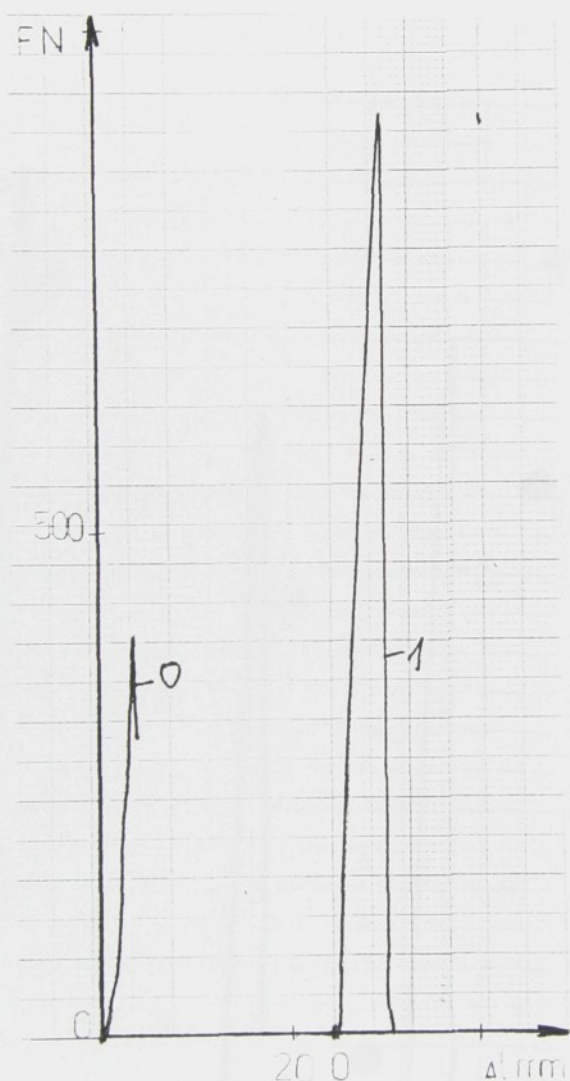
KNU: 1KN
DAT1= 24
DIV 1
Q1= 11.74000000000000
Q2= 422.0000000000000
NR = 0

KNU: 1KN
DAT1= 24
DIV 1
Q1= 550.0000000000000
Q2= 11.01700000000000
NR = 0

X/AH=534.25%
S/AH=23.263%
V/AH=4.3044%
P/AH=13.239%
E/AH=510.98%

X/AH= 13%
S/AH=2.4749%
V/AH=19.037%
P/AH=57.084%
E/AH=10.525%

sk:0/U



DAT1= 23

NR = 0
TH = 0.6000s
FE = 0N
FB = 0N
FH = 420.8N
AH = 0%
AB = 0%

NR = 0
TH = 0.9000s
FE = 0N
FB = 964.6N
FH = 964.6N
AH = 0%
AB = 5.75%
AB = 5.75%

KMU: 1KN
DAT1= 23
DIV = 1
LG = 40mm
FO = 0N
a1 = 0N
a2 = 100N
NR = 2

R/FH=566.65N
s/FH=206.26N
V/FH=36.400%
P/FH=110.67%
E/FH=360.38N
699.3

R/AH= 4.25%
s/AH=0.3535%
V/AH=0.3198%
P/AH=25.294%
E/AH=3.8964%
4/75

sk:Ü/Ü

DAT1= 25 29

NR = 0
TH = 0.8800s
FE = 0N
FB = 1004.7N
FH = 1004.7N
AE = 0%
AH = 5.75%
AB = 5.75%

NR = 1
TH = 0.7800s
FE = 0N
FB = 751.5N
FH = 751.5N
AE = 0%
AH = 5%
AB = 5%

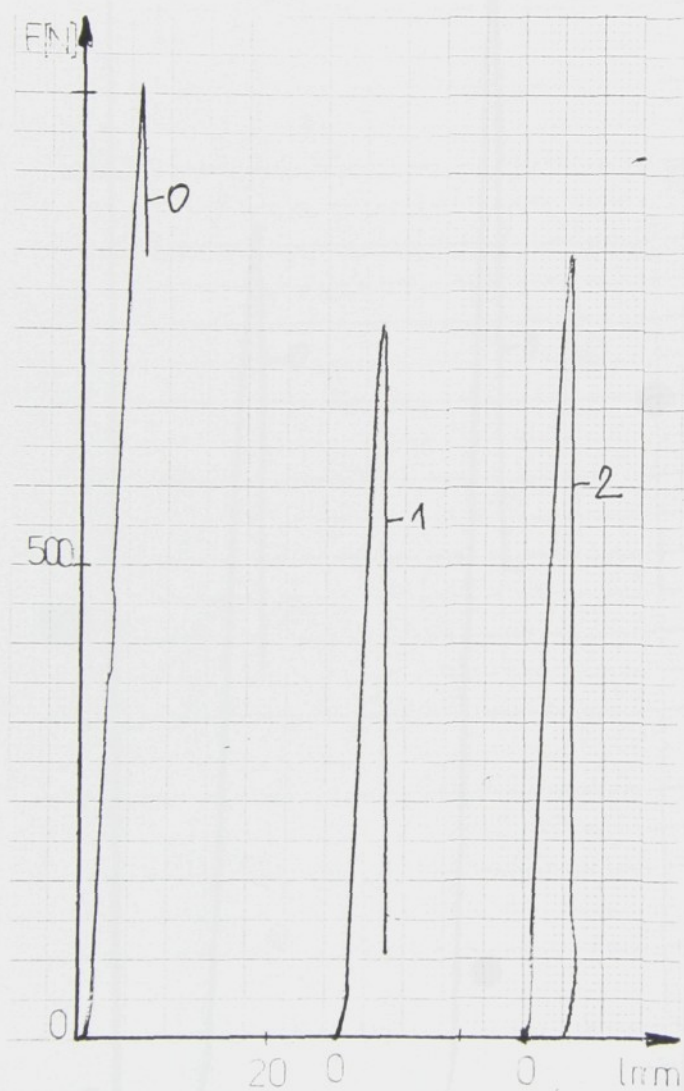
NR = 0
TH = 0.8200s
FE = 0N
FB = 817.4N
FH = 817.4N
AE = 0%
AH = 5.25%
AB = 5.25%

KMW: 1KN
DAT1= 25
DIV = 1
L0 = 40mm
F0 = 0N
 $\Delta 1$ = 0N
 $\Delta 2$ = 100N

NR = 2

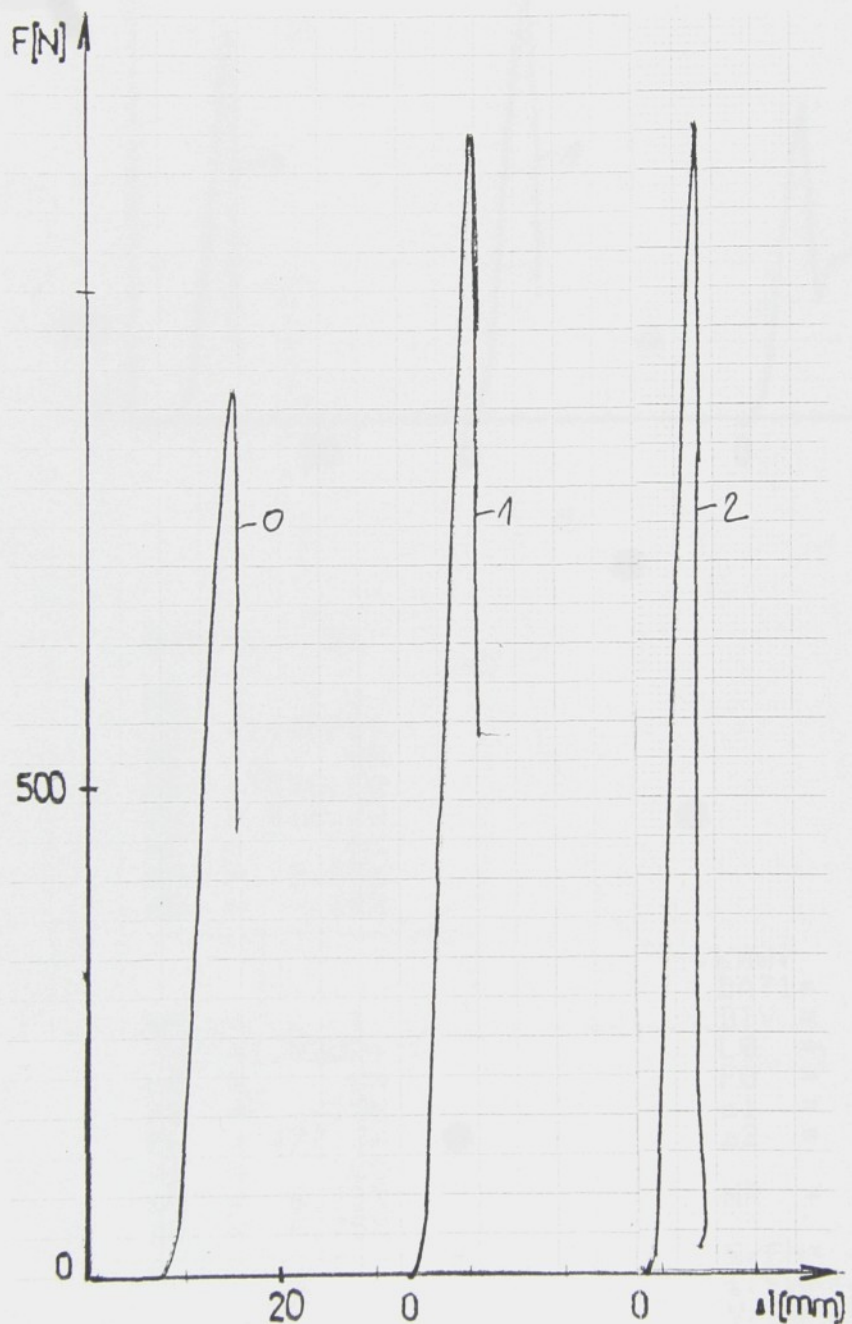
$\bar{x}/FH = 878.1N$
 $s/FH = 179.03N$
 $V/FH = 20.389\%$
 $P/FH = 61.995\%$
 $E/FH = 699.06N$

$\bar{x}/AH = 5.375\%$ 5133
 $s/AH = 0.5303\%$
 $V/AH = 9.8665\%$
 $P/AH = 29.999\%$
 $E/AH = 4.8446\%$



skp:0/0

DAT1= 31



X/FH=1083.1%

S/FH=150.57%

V/FH=13.001%

P/FH=34.510%

E/FH=938.59%

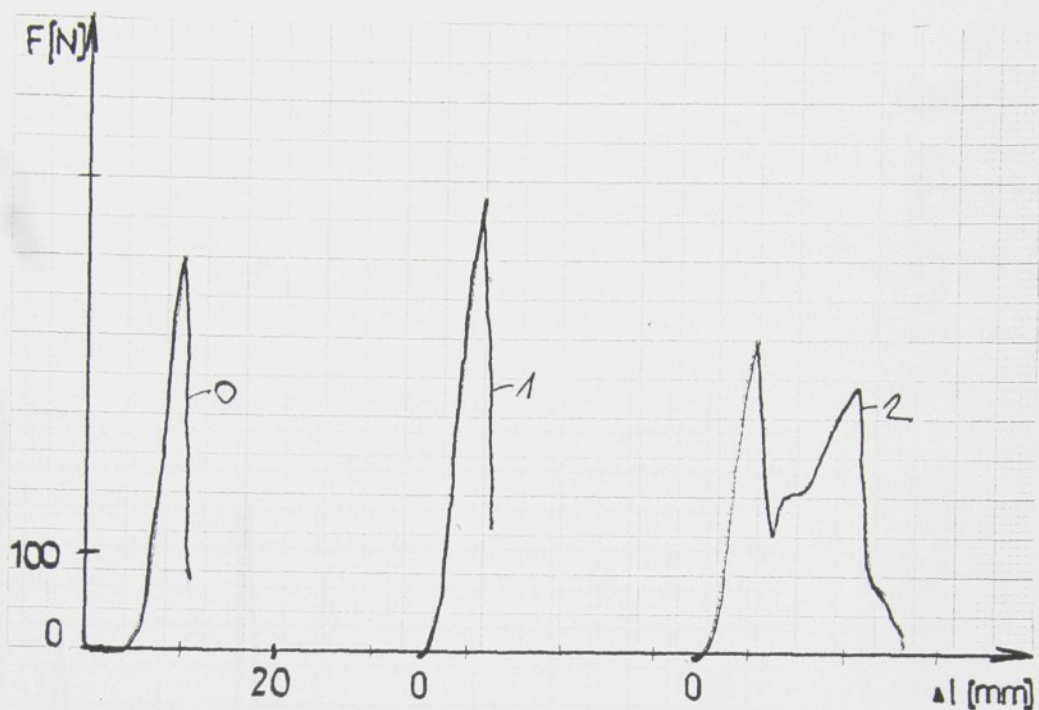
X/AH=9.3333%

S/AH=4.7716%

V/AH=51.127%

P/AH=125.92%

E/AH=4.5614%



DAT1= 32

NR = 0
 TH = 1.4800s
 FE = 0N
 FB = 348.7N
 FH = 416.7N
 AE = 0%
 AH = 9.75%
 AB = 10%

NR = 1
 TH = 1.0200s
 FE = 0N
 FB = 415N
 FH = 477.3N
 AE = 0%
 AH = 6.75%
 AB = 6.75%

NR = 2
 TH = 1.0200s
 FE = 0N
 FB = 0N
 FH = 328.8N
 AE = 0%
 AH = 6.75%
 AB = 0%

KMW: 1KN

DAT1= 32
 DIV = 1
 L0 = 40mm
 FO = 0N
 s1 = 0N
 s2 = 100N

NR = 3

R/FH= 407.6N
 s/FH=74.667N
 V/FH=18.318%
 P/FH=45.478%
 E/FH=332.93N
 R/AH= 7.75%
 s/AH=1.7328%
 V/AH=22.349%
 P/AH=55.484%
 E/AH=6.0179%

$sk_p \cdot U/U$

DAT1= 35

NR = 0
TH = 1.0400%
FE = 559.8N
FB = 640N
HE = 6%
HF = 0.75%
BB = 7%

TR = 1
TH = 1.4200%
FE = 760.9N
FB = 790.9N
HE = 9.25%
HF = 9.5%

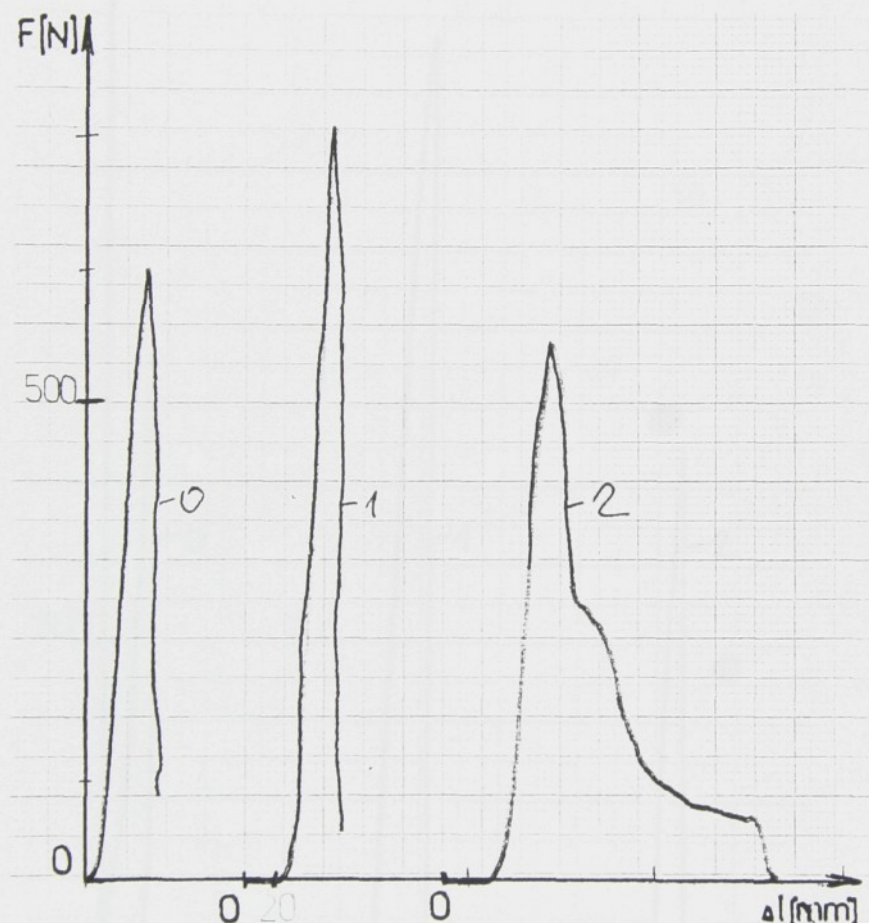
NR = 0
TH = 1.8000%
FE = 554.0N
FB = 11.75%
HE = 0%

KM1= 1KN
DAT1= 35.1mm
DIV= 40mm
LQ= 0mm
ai= 0mm
a2= 100mm

NR = 3

X/FH=664.53N
S/FH=123.93N
V/FH=18.649%
P/FH=46.380%
E/FH=540.59N

X/AH= 9.25%
S/AH= 0.00%
V/AH= 27.027%
P/AH= 67.097%
E/AH= 6.75%



sk_p: O/U



DAT1 = 35
NR = 8.4609%
TH = 0.0000%
FE = 785.785%
FH = 0.0000%
P = 0.0000%
AH = 0.0000%
AB = 0.0000%

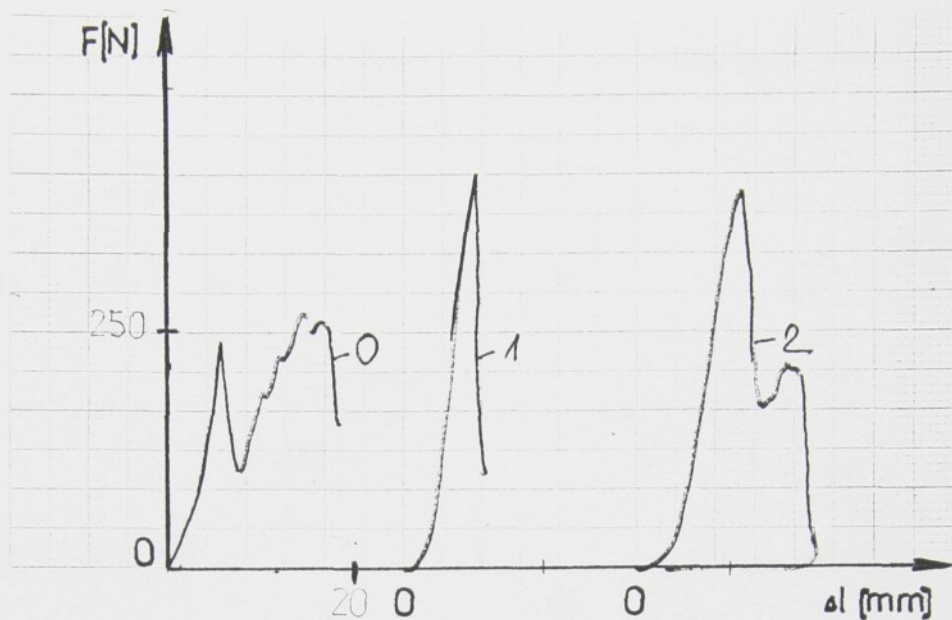
NR = 1.2688%
TH = 0.0000%
FE = 11107.11107%
FH = 0.0000%
P = 0.0000%
AH = 0.0000%
AB = 0.0000%

NR = 0.7888%
TH = 0.0000%
FE = 695.695%
FH = 0.0000%
P = 0.0000%
AH = 0.0000%
AB = 0.0000%

KM1: 1KN
DAT1 = 33
DIV = 1
L0 = 46mm
F0 = 0.04
a1 = 0.04
a2 = 1000
NR = 3

X/FH=863.06%
s/FH=216.49%
V/FH=25.07%
P/FH=62.254%
E/FH=646.64%

X/AH=6.0833%
s/AH=1.6645%
V/AH=0.27.563%
P/AH=67.931%
E/AH=4.4187%



DAT1 = 34

NR = 0
 TH = 3.3000s
 FE = 0N
 FB = 0N
 FH = 264.3N
 AE = 0%
 AH = 22%
 AB = 0%

KMU = 1kN
 DAT1 = 34
 DIV = 1
 L0 = 40mm
 FG = 0N
 s1 = 0N
 s2 = 100N

NR = 1
 TH = 1.1800s
 FE = 0N
 FB = 371.1N
 FH = 407.5N
 AE = 0%
 AH = 7.75%
 AB = 7.75%

NR = 3
 $\bar{x}/FH = 354.76\%$
 $s/FH = 79.704\%$
 $V/FH = 22.184\%$
 $P/FH = 55.076\%$
 $E/FH = 275.06N$

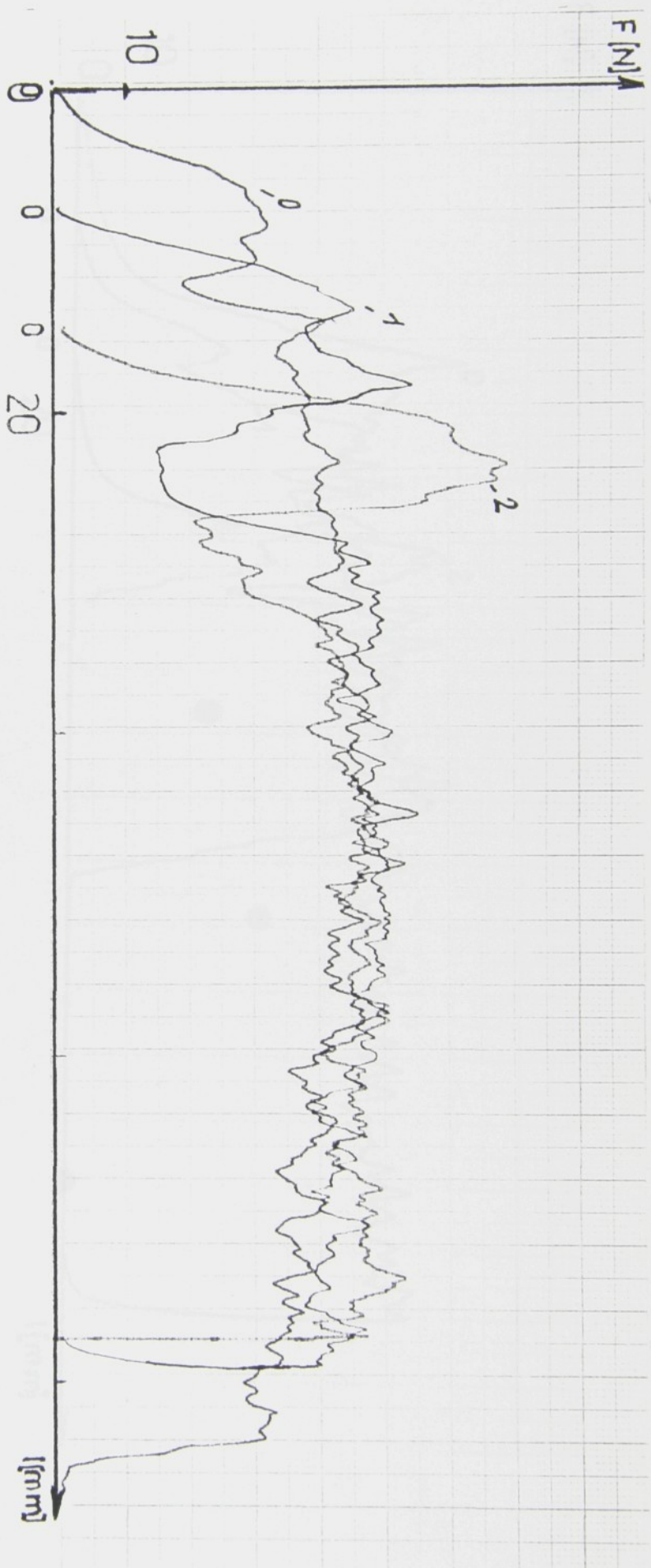
NR = 2
 TH = 1.7000s
 FE = 0N
 FB = 0N
 FH = 392.5N
 AE = 0%
 AH = 11.25%
 AB = 0%

$\bar{x}/AH = 13.666\%$
 $s/AH = 7.4260\%$
 $V/AH = 54.336\%$
 $P/AH = 134.89\%$
 $E/AH = 6.2406\%$

PRÍLOHA 4

Pracovné diagrami jednostranne preplatovaných spojov

Počet listov : 14



HR = 0
E₁ = 0.64
F* = 35.704 N

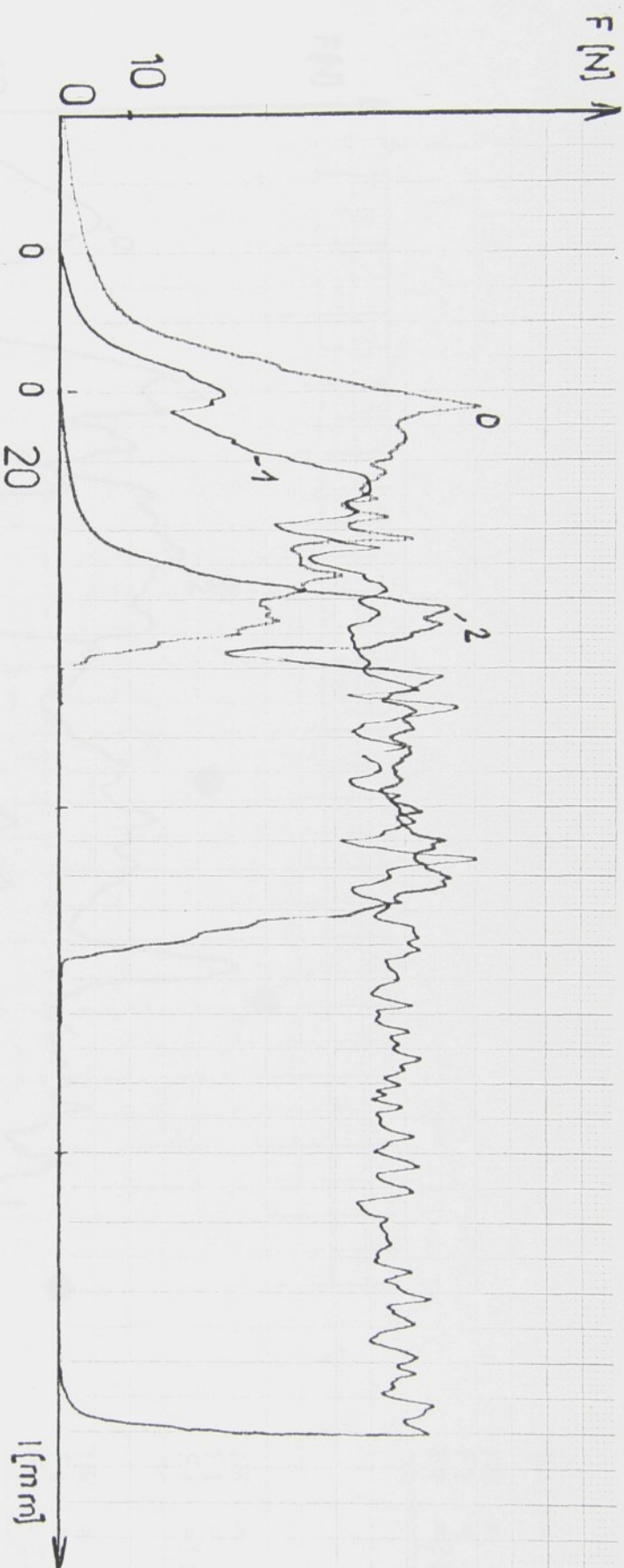
HR = 1 KHz
DAT1 = 11
DIV = 1
L₀ = 20 mm
E₁ = 0.64

HR = 1
E₁ = 0.64
F* = 41.289 N

HR = 3
E₁ = 0.64
F* = 42.035 N

HR = 2
E₁ = 0.64
F* = 42.035 N

E/F* = 35.6764
δ/F* = 3.46014
γ/F* = 8.72082
P/F* = 21.6582
E/F* = 35.2164



DAT1 = 13

HR = 3

F1 = 0N

F* = 22.854N

Kühl: 1KH
 DAT1 = 13
 DIV = 1
 LG = 20mm
 H1 = 0%

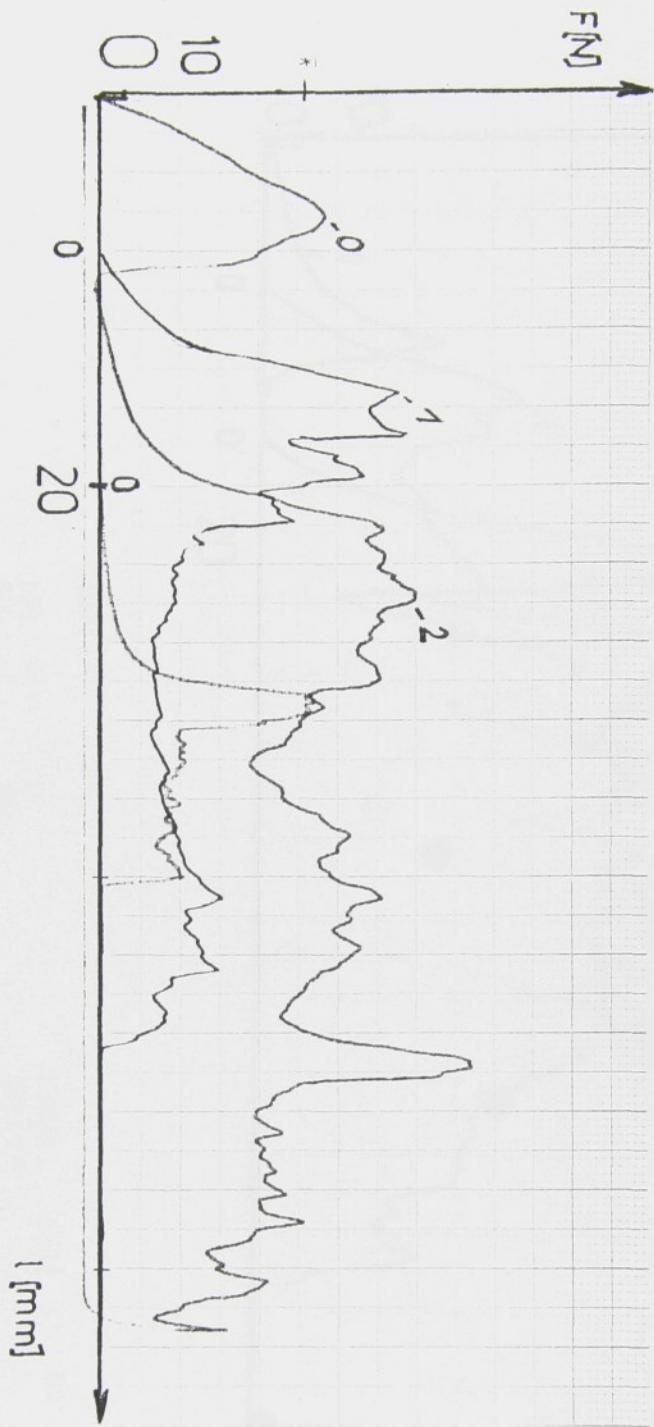
HR = 1

F1 = 0N

F* = 40.210N

X \times F* = 30.011N
 <math>\times</math> F* = 0.9.2000N
 <math>\times</math> F* = 38.951N
 <math>\times</math> F* = 76.840N
 <math>\times</math> F* = 100.722N

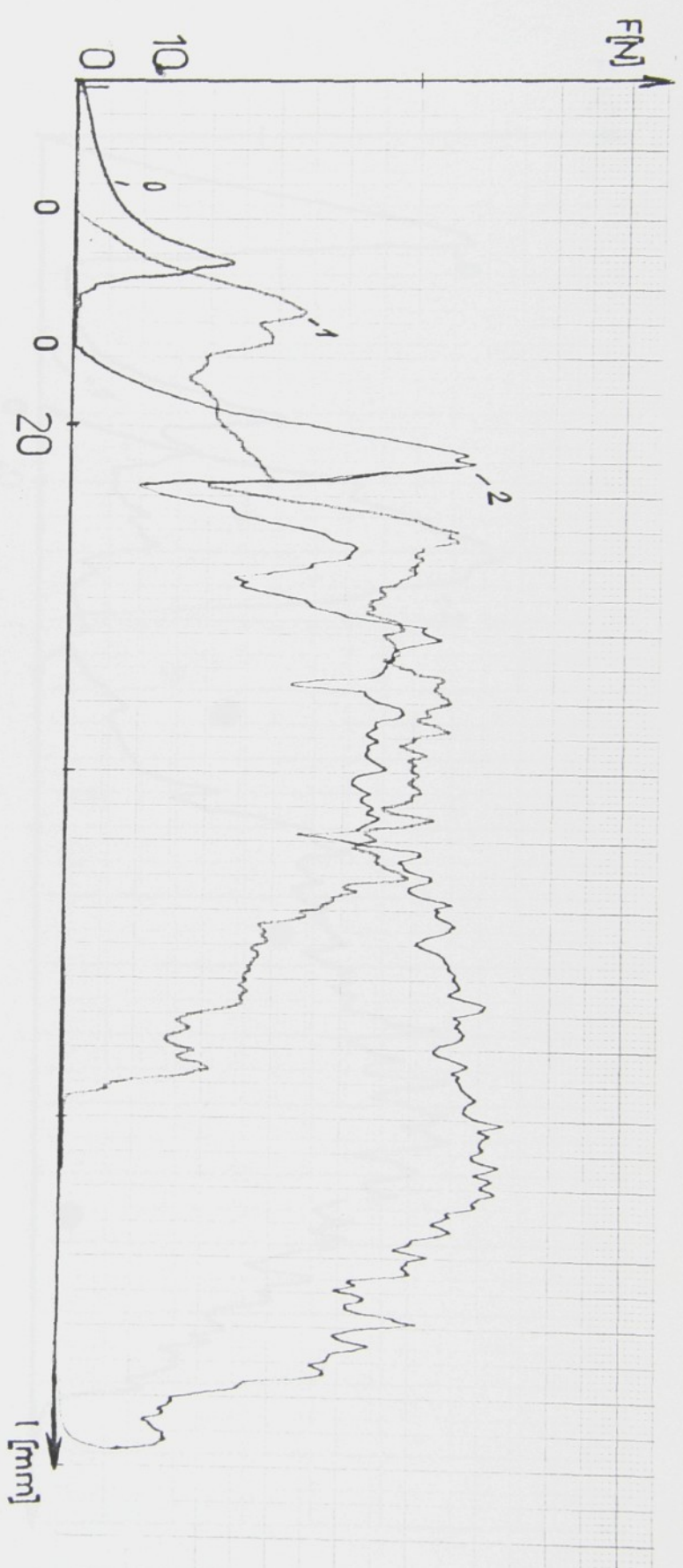
HR = 2
 F1 = 0N
 F* = 27.760N



DAT1 = 12

HR	=	0
F1	=	0.4
F*	=	21.6564

HR	=	0				
F1	=	0.4				
F*	=	21.6564				
X/F*	=	13.8368				
Y/F*	=	7.8368				
R/F*	=	5.9368				
E/F*	=	5.0				
X/F	=	14.7368				
Y/F	=	7.368				
R/F	=	5.9368				
E/F	=	5.0				



DAT1 = 14

HR = 0

F1 = 0H

F* = 4,7216H

A1 =

HR = 1

F1 = 0H

F* = 29,452H

A1 =

HR = 2

F1 = 0H

F* = 41,504H

A1 =

KM_W: 1KHz

DAT1 = 14

DIV = 1

L0 = 20mm

A1 = 0%

HR = 3

F1 = 0H

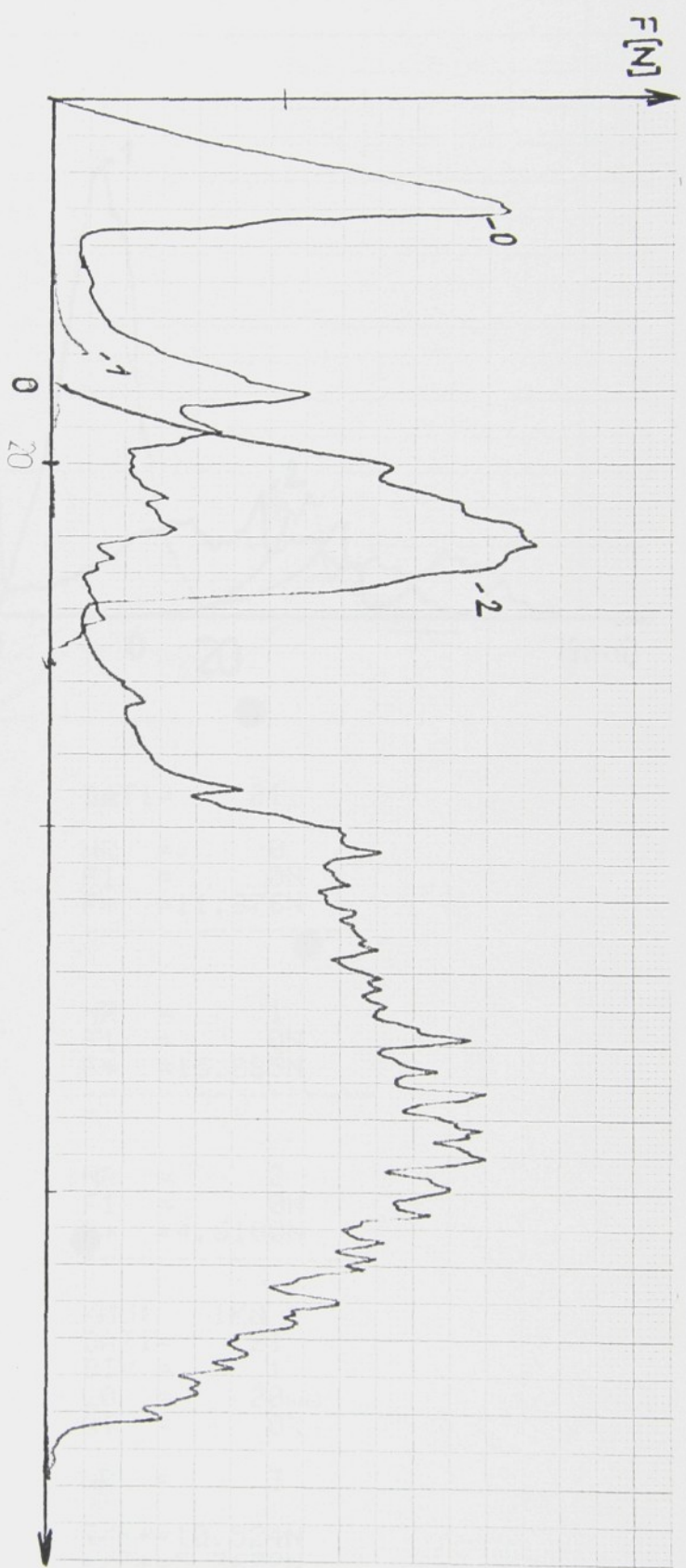
F* = 25,225H

A1 = 10,751H

Q/F* = 74,335%

P/F* = 184,54%

E/F* = 5,4742H



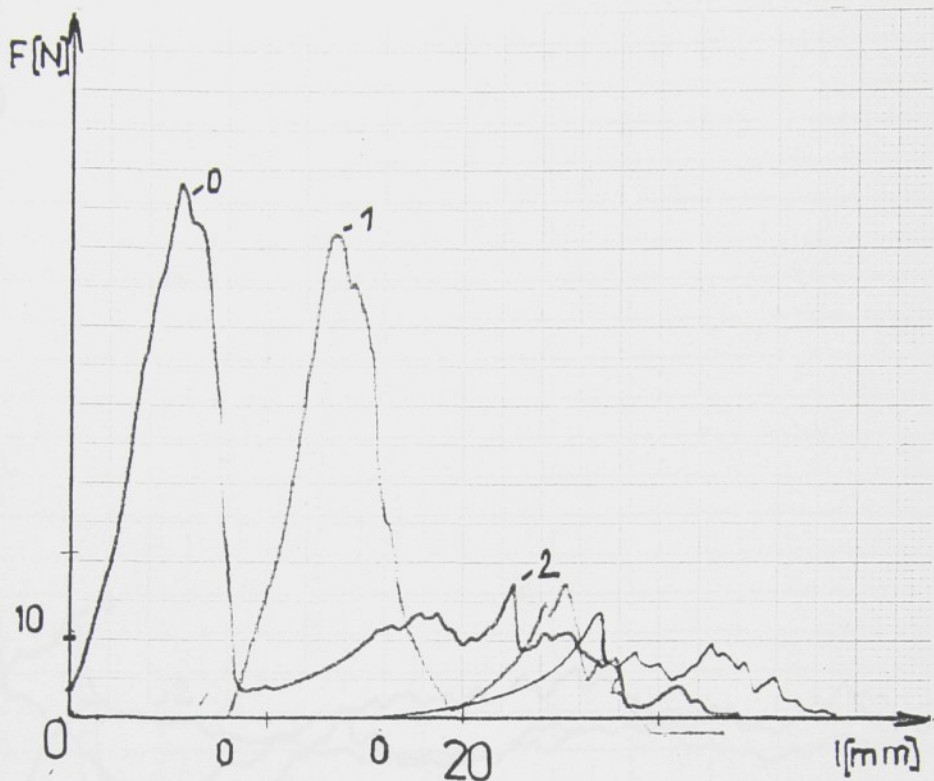
DATI = 15

NR = 0
F1 = 0.04
F* = 16.6584

HR = 1
F1 = 0.04
F* = 0.22194

HR = 2
F1 = 0.04

sk: 0/0



DAT1 = 21

NR = 0
F1 = 0N
F* = 11.876N

NR = 1
F1 = 0N
F* = 15.085N

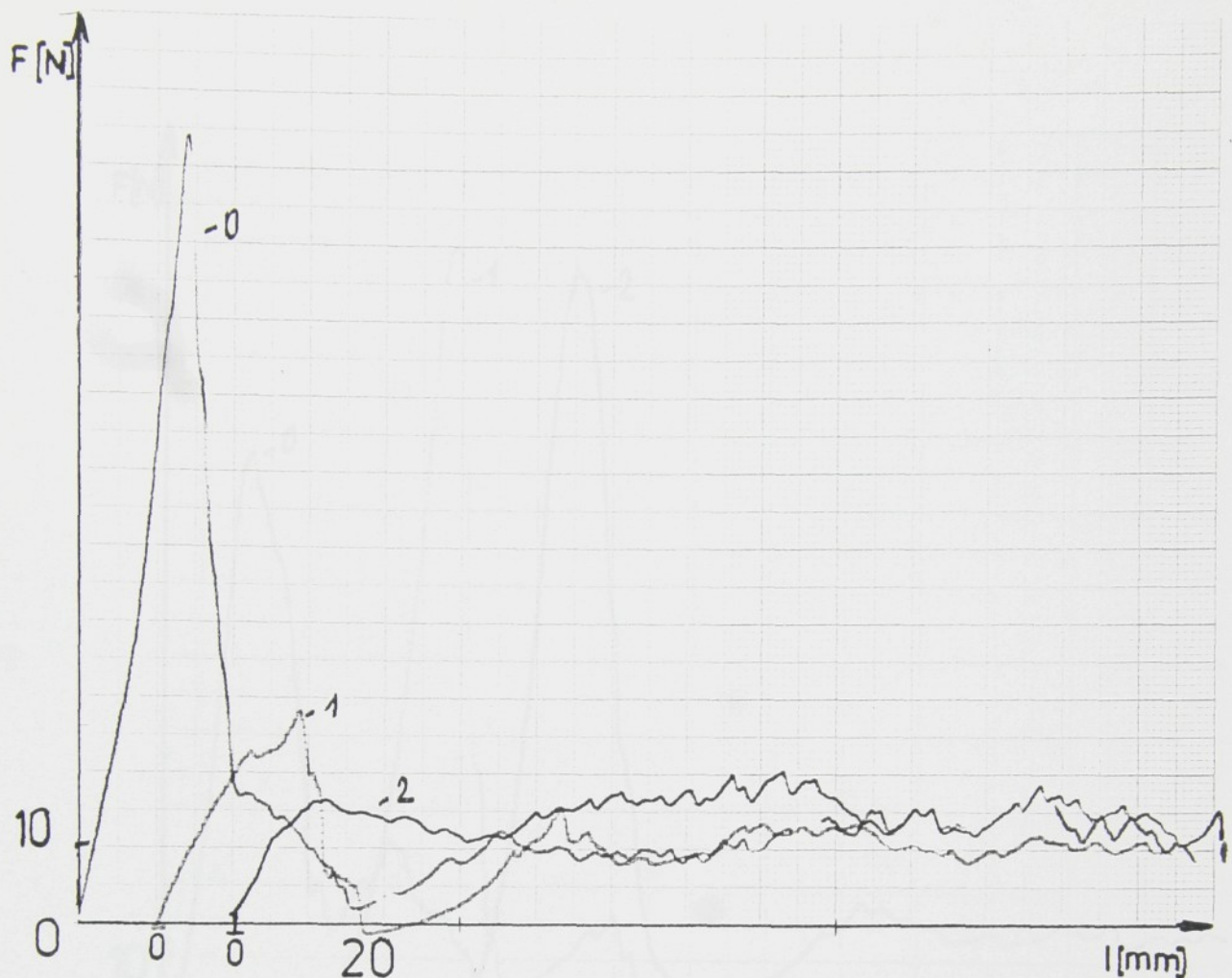
NR = 2
F1 = 0N
F* = 4.6100N

KMW = 1KN
DAT1 = 21
DIV = 1
L0 = 20mm
A1 = 0%

NR = 3

R/F* = 10.524N
S/F* = 5.3672N
V/F* = 50.999%
P/F* = 125.61%
E/F* = 5.1568N

sk: 0/45



DAT1 = 23

NR = 0
F1 = 0N
F* = 15.689N

NR = 1
F1 = 0N
F* = 18.705N

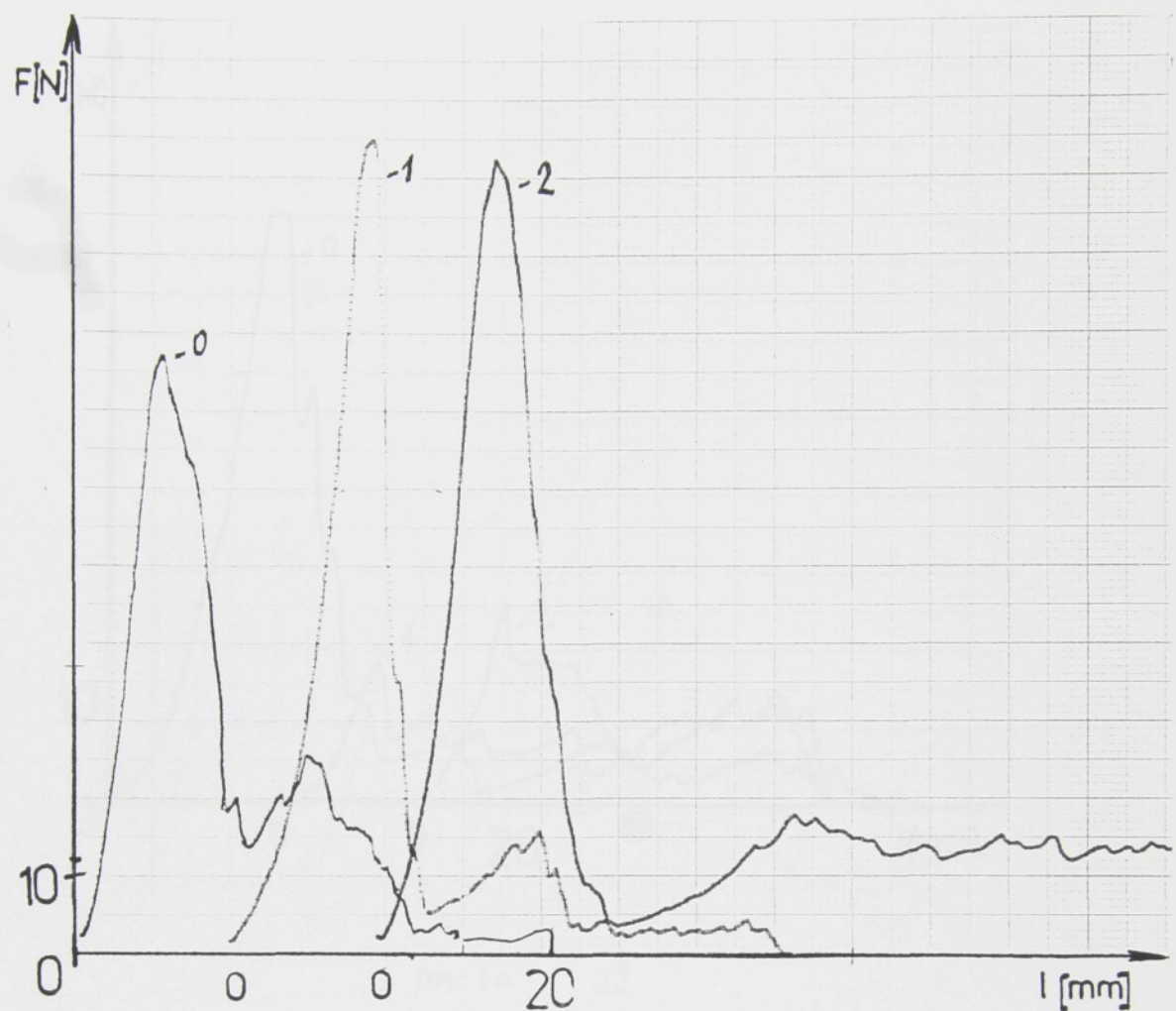
NR = 2
F1 = 0N
F* = 12.362N

KMU = 1KN
DAT1 = 23
DIV = 1
L0 = 20mm
A1 = 0%

NR = 3

R/F* = 12.892N
s/F* = 2.4944N
V/F* = 19.348%
P/F* = 48.034%
E/F* = 10.397N

sk: Ú/45



DAT1 = 24

NR = 0
F1 = 0N
F* = 23.684N

NR = 1
F1 = 0N
F* = 15.931N

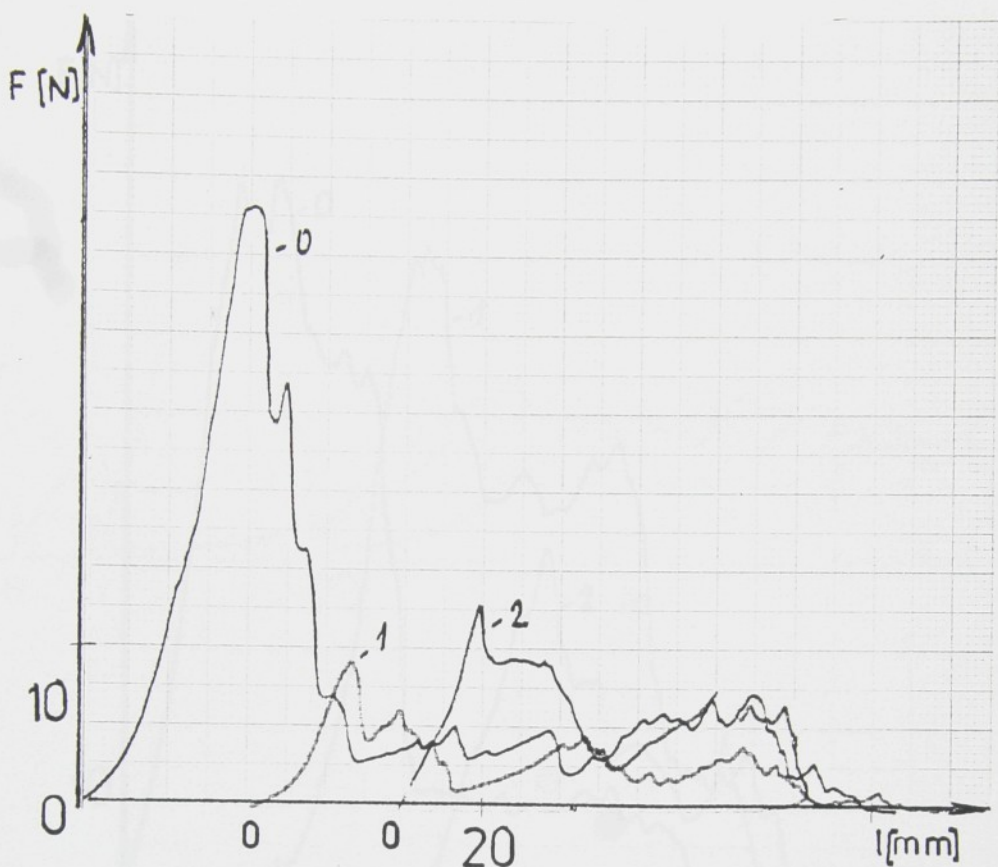
NR = 2
F1 = 0N
F* = 15.853N

KMU = 1KN
DAT1 = 24
DIV = 1
L0 = 20mm
A1 = 0%

NR = 3

$\bar{x}/F* = 18.49N$
 $s/F* = 4.4989N$
 $V/F* = 24.331\%$
 $P/F* = 60.405\%$
 $E/F* = 13.991N$

sk: O/U



DAT1= 22

NR = 0
F1 = 0N
F* = 14.839N

NR = 1
F1 = 0N
F* = 6.1954N

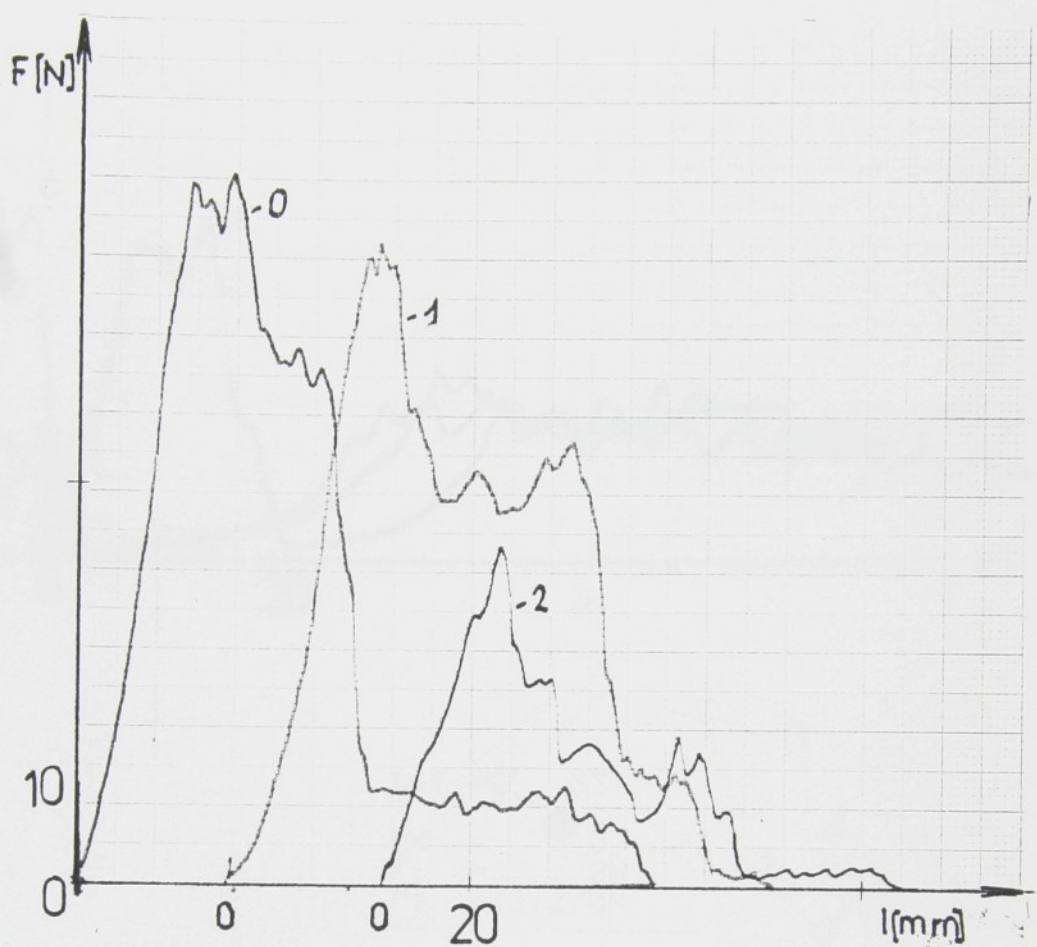
NR = 1
F1 = 0N
F* = 6.1954N

KMU= 1KN
DAT1= 22
DIV= 1
L0= 20mm
A1= 0%

NR = 3

R/F*=9.8477N
s/F*=4.4750N
V/F*=45.442%
P/F*=112.81%
E/F*=5.3727N

sk: U/U



DAT1= 25

NR = 0
F1 = 0N
F* = 30.893N

NR = 1
F1 = 0N
F* = 34.386N

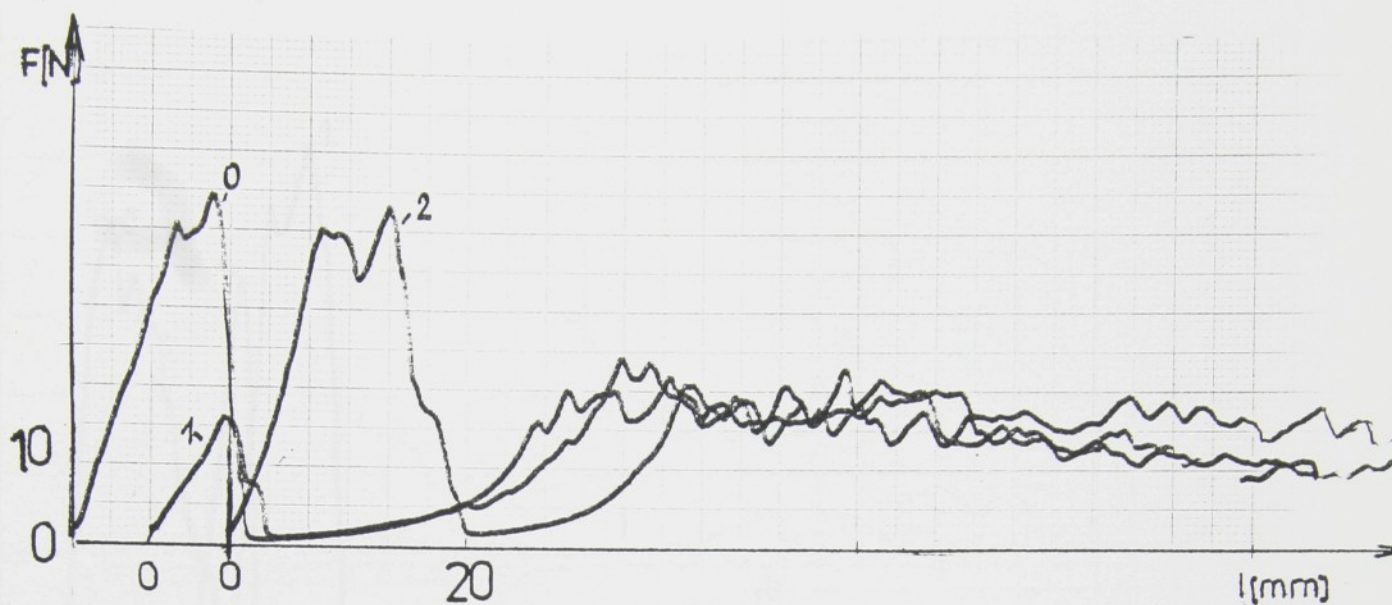
NR = 2
F1 = 0N
F* = 11.088N

KNU: 1KN
DAT1= 25
DIV = 1
L0 = 20mm
A1 = 0%

NR = 3

$\bar{x}/F* = 25.453N$
 $s/F* = 12.569N$
 $V/F* = 49.382\%$
 $P/F* = 122.59\%$
 $E/F* = 12.883N$

skp:0/45



DAT1= 33

NR = 0
F1 = 0N
F* = 12.878N

NR = 1
F1 = 0N
F* = 9.5091N

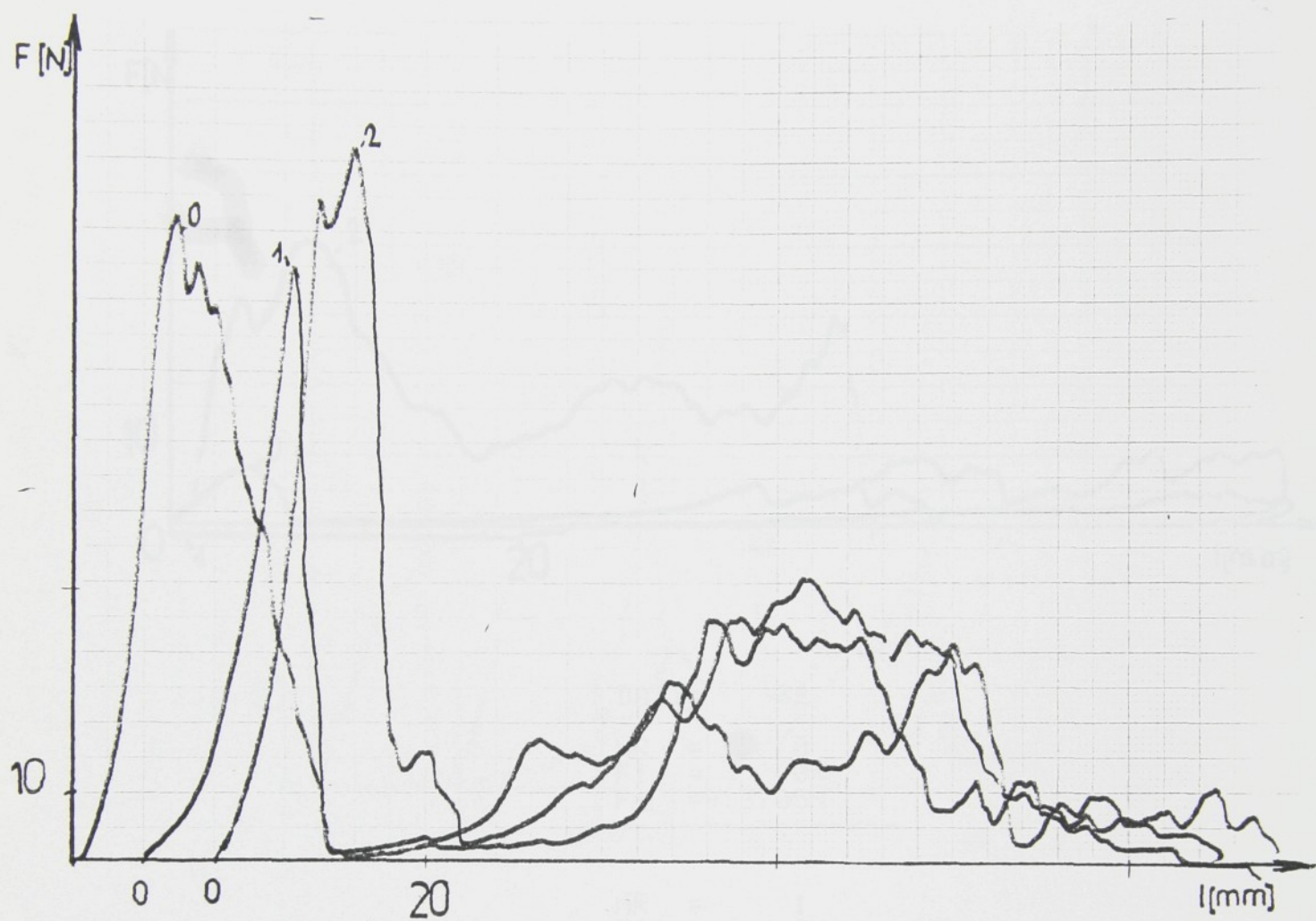
NR = 2
F1 = 0N
F* = 14.479N

KMU = 1KN
DAT1= 33
DIV = 1
LB = 20mm
AI = 0%

NR = 3

$\bar{x} \times F* = 12.086N$
 $\bar{y} \times F* = 2.4901N$
 $\bar{v} \times F* = 20.603N$
 $P/F* = 51.150\%$
 $E/F* = 9.5968N$

skp U/45



DAT1 = 34

NR = 0
F1 = 0N
F* = 18.338N

NR = 1
F1 = 7.000N
F* = 13.855N

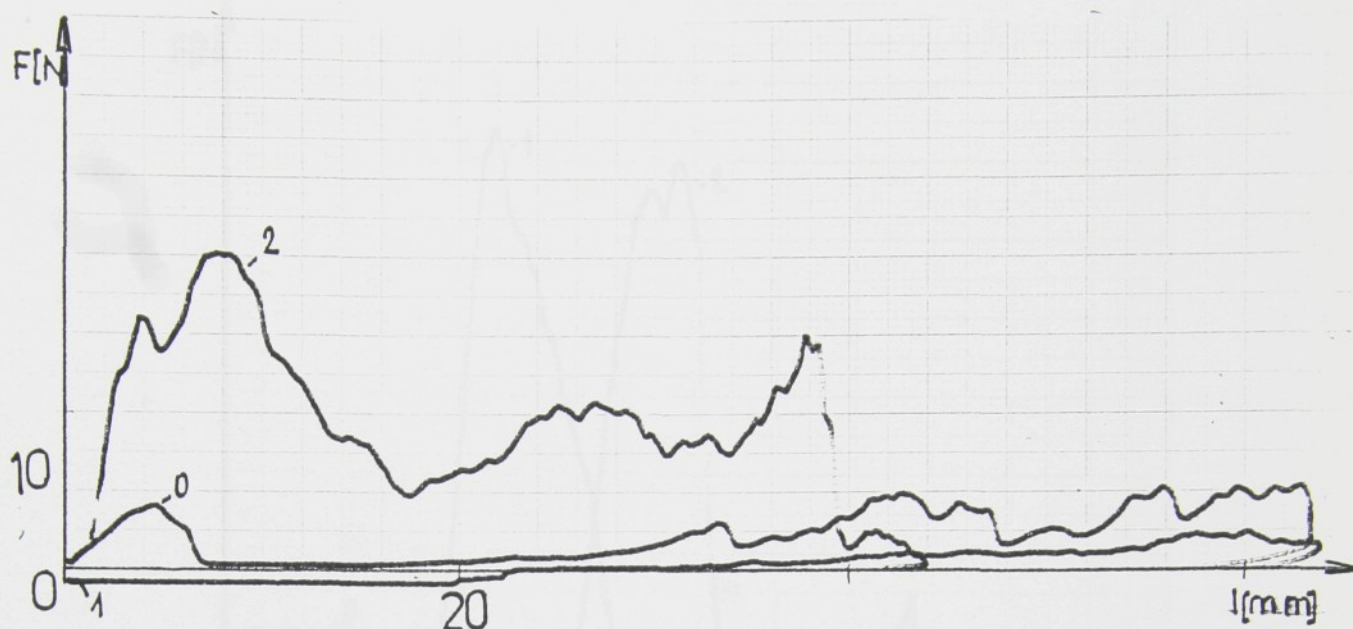
NR = 2
F1 = 0N
F* = 19.844N

KMU: 1kN
DAT1 = 34
DIV = 1
L0 = 20mm
A1 = 0%

NR = 3

$\Sigma F^* = 17.079N$
 $\sigma F^* = 3.5658N$
 $V F^* = 20.873\%$
 $P F^* = 51.828\%$
 $E F^* = 13.514N$

skp 0/U



DAT1 = 32

NR = 0
F1 = 0 N
F* = 9.3765 N

NR = 1
F1 = 0 N
F* = 3.5061 N

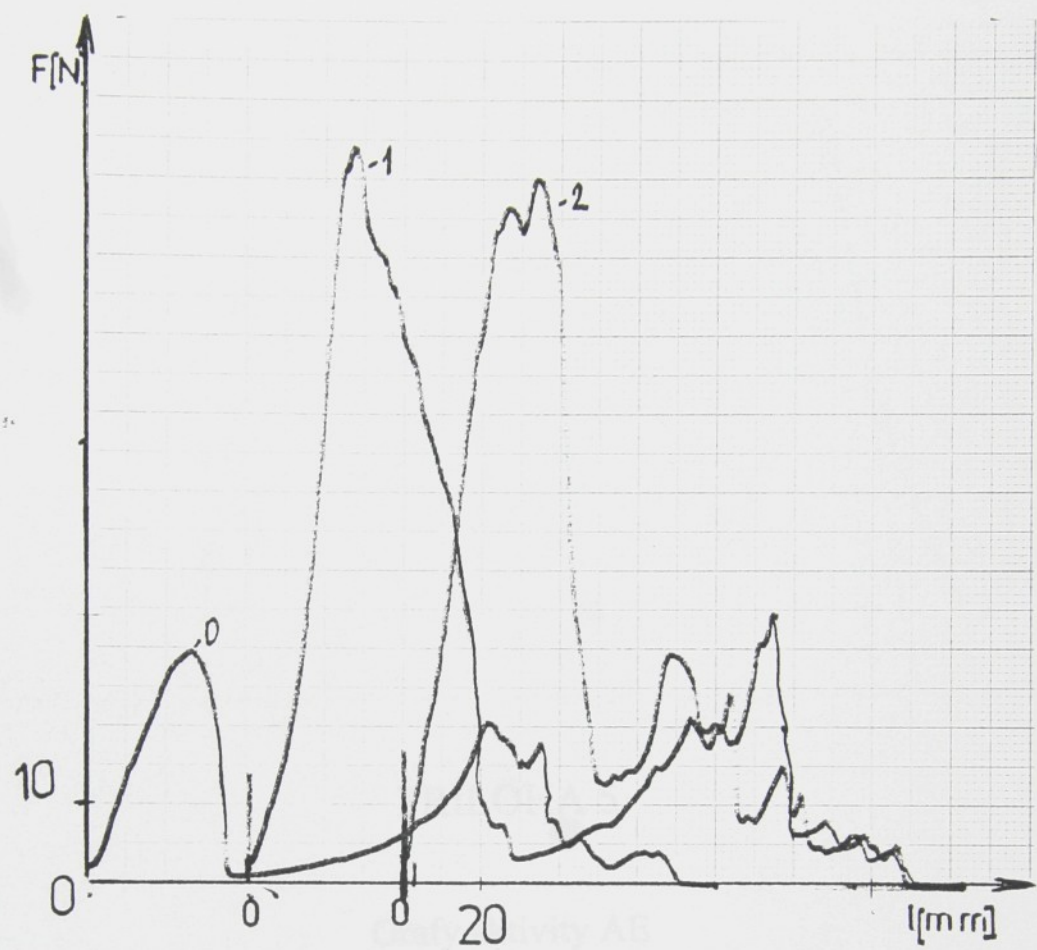
NR = 2
F1 = 0 N
F* = 17.486 N

KMU = 1KN
DAT1 = 32
DIV = 1
L0 = 20mm
A1 = 0%

NR = 3

R/F* = 10.121 N
s/F* = 7.0264 N
V/F* = 69.364 %
P/F* = 172.20 %
E/F* = 3.1007 N

sk. U/U



DAT1 = 35

NR = 0
E1 = 0N
F* = 7, 0609N

NR = 1
E1 = 0N
F* = 19, 616N

NR = 2
E1 = 0N
F* = 23, 924N

KMU = 1KN
DAT1 = 35
DIV = 1
LG = 20mm
AI = 0%

NR = 3

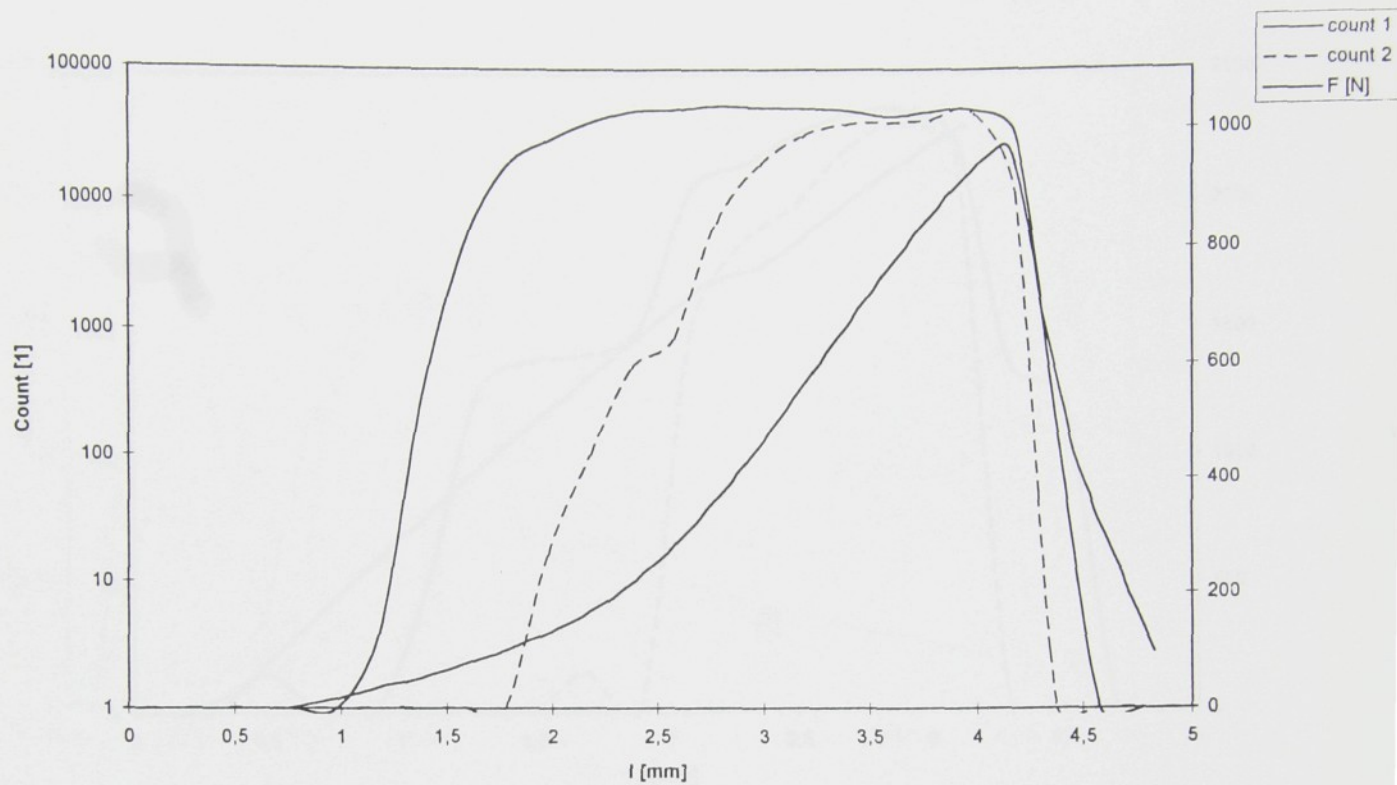
$\Delta/F^* = 16, 867N$
 $\delta/F^* = 8, 7615N$
 $V/F^* = 51, 943\%$
 $P/F^* = 128, 95\%$
 $E/F^* = 8, 1057N$

PRÍLOHA 5

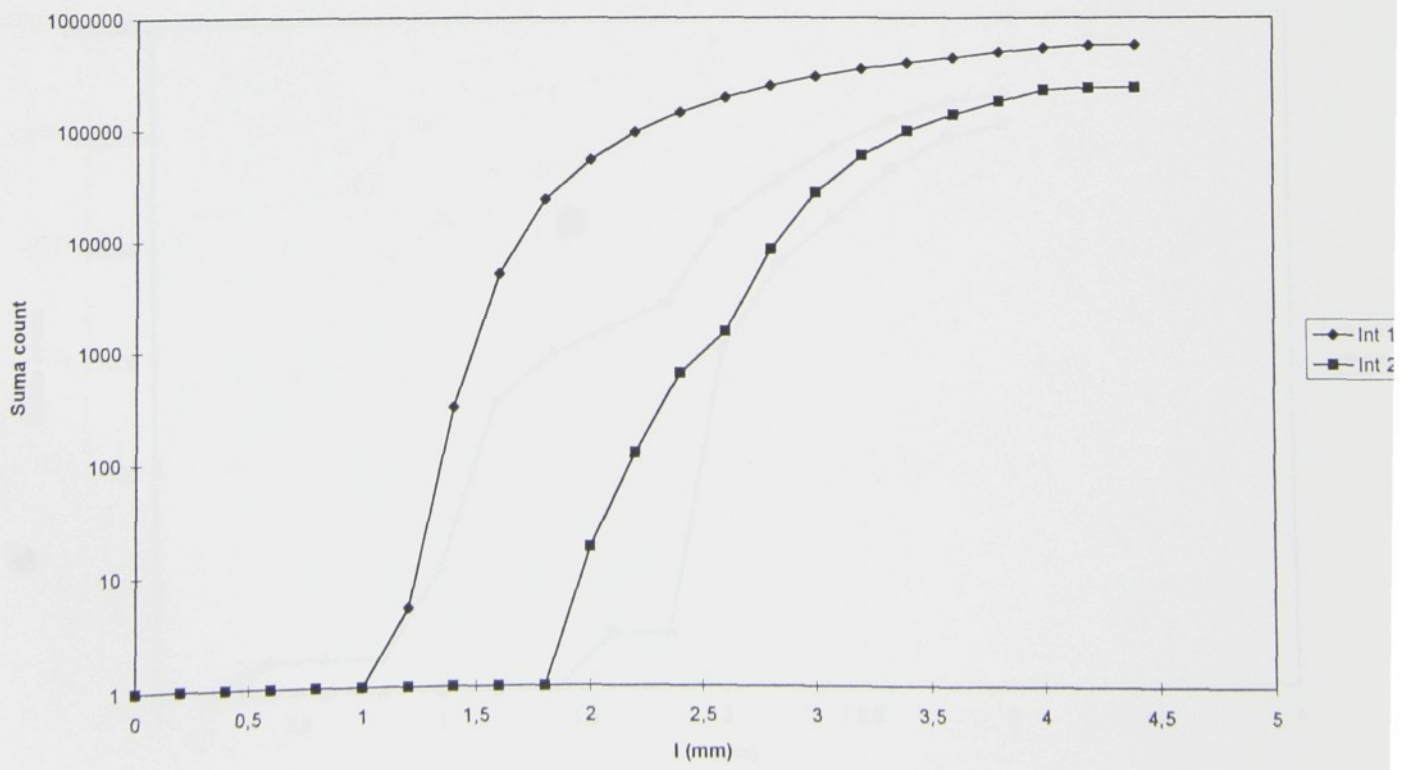
Grafy aktivity AE

Počet listov : 14

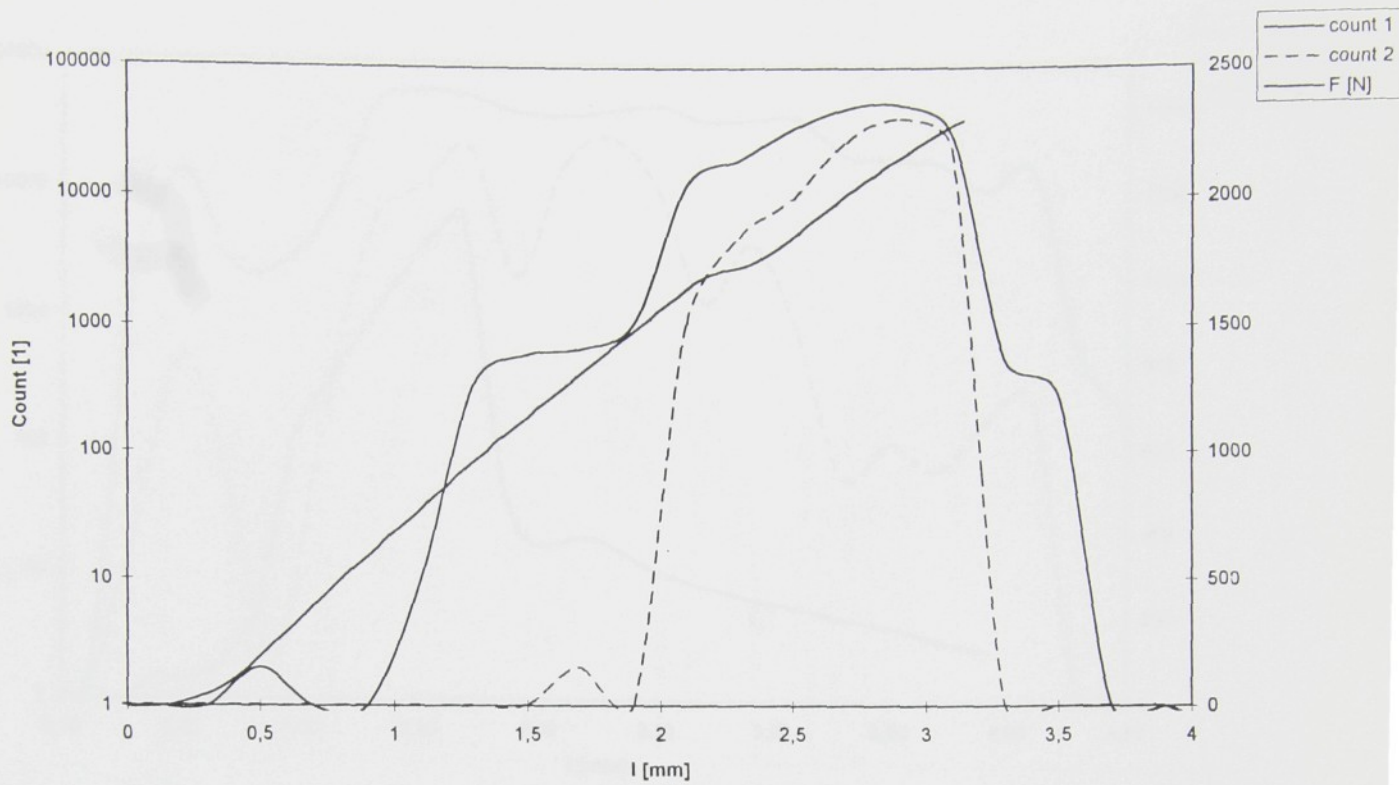
Graf aktivity AE u vzorku O-3



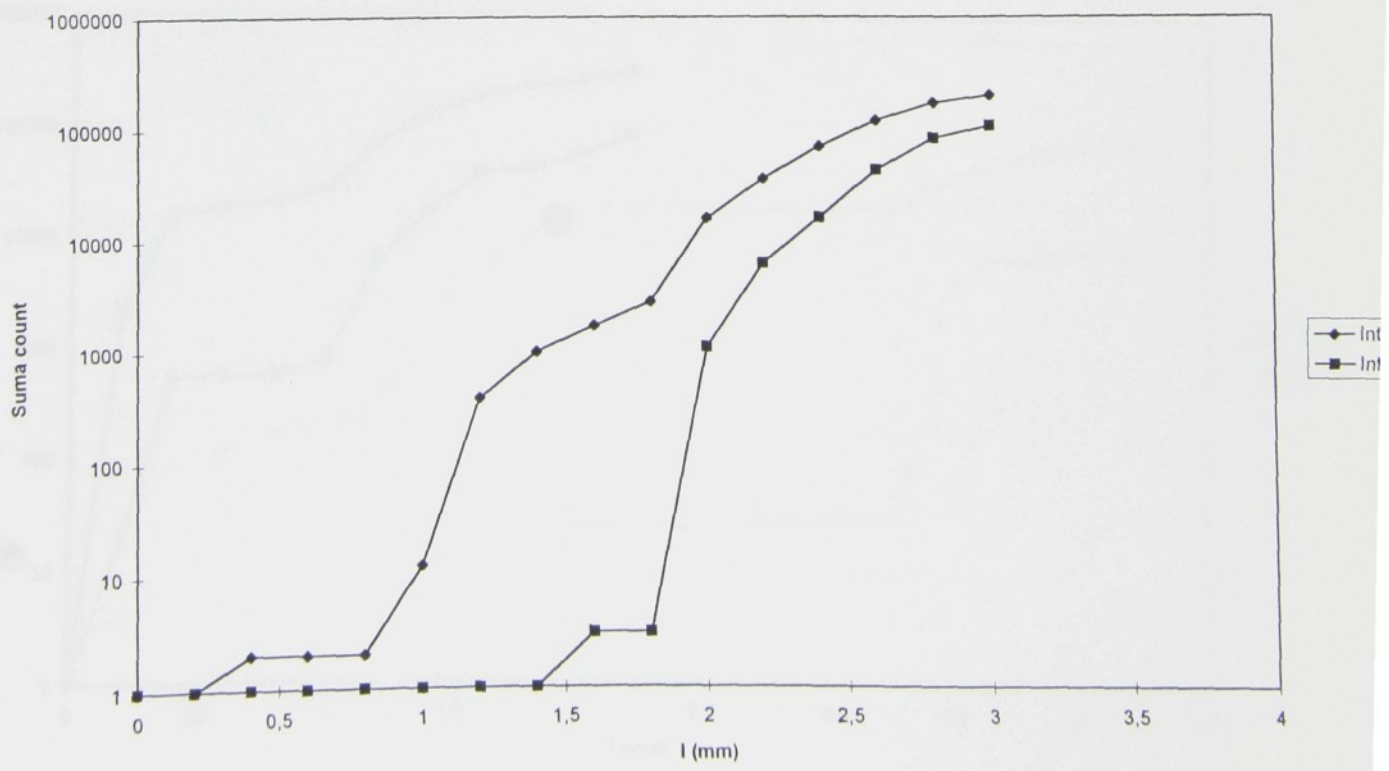
Integrační křivka Count 1 a Count 2 vzorku O-3



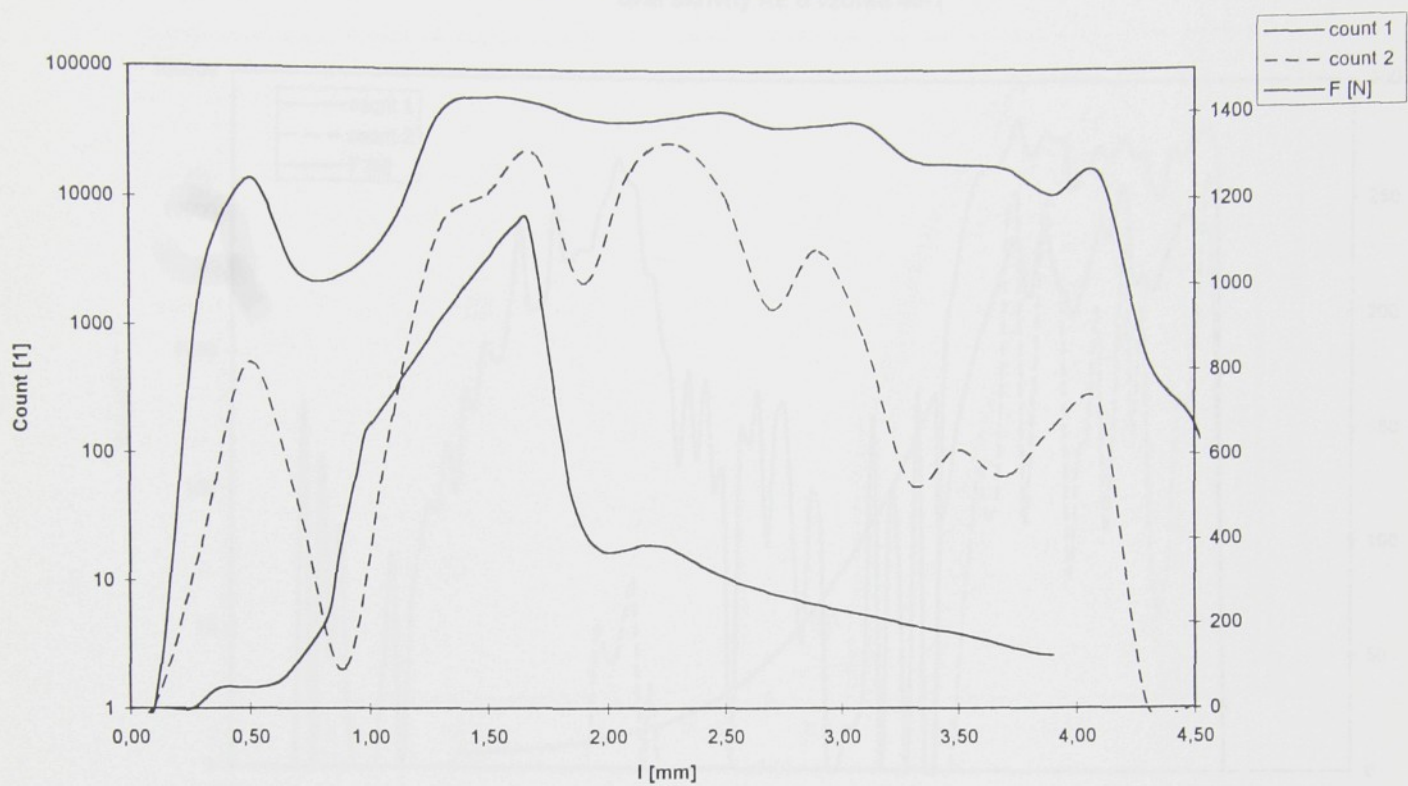
Graf aktivity AE u vzorku O-6



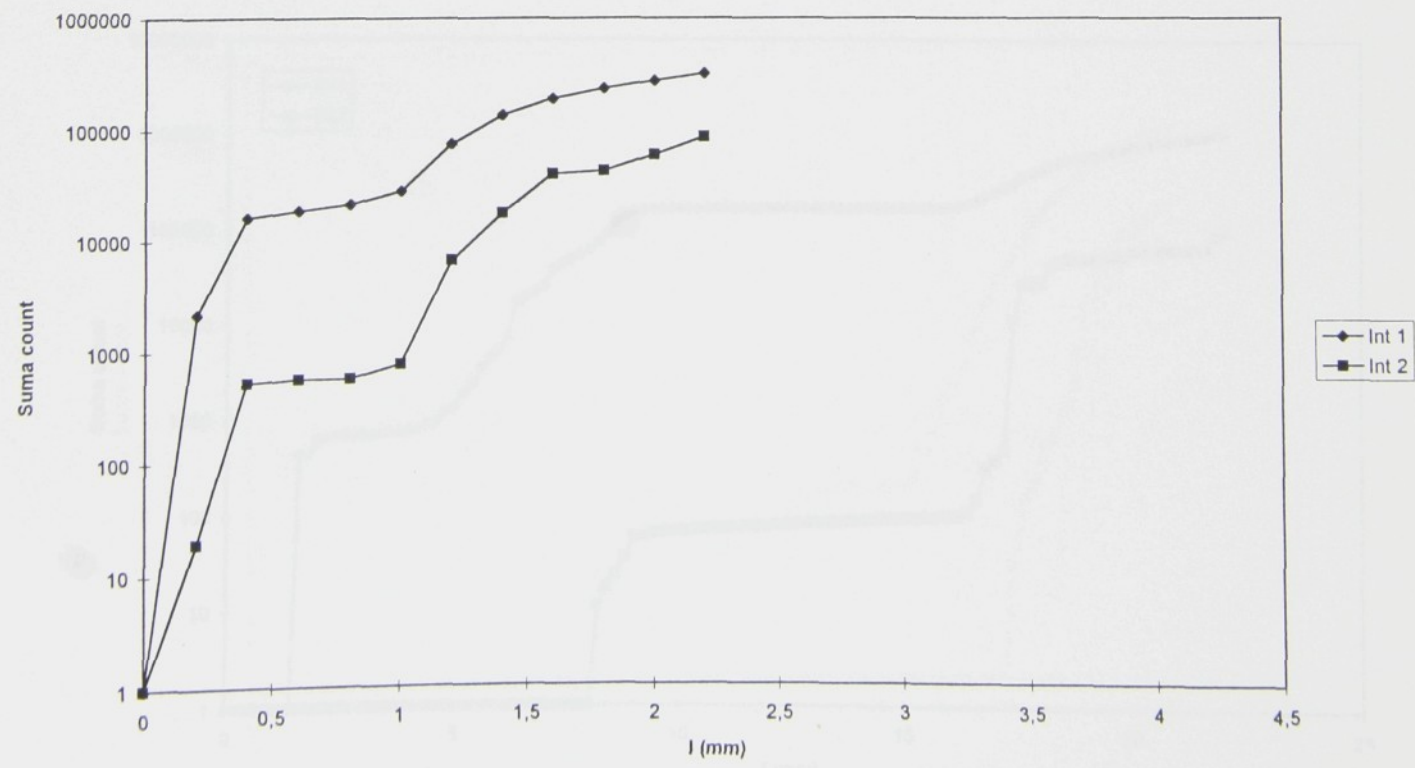
Integrační křivka Count 1 a Count 2 vzorku O-6



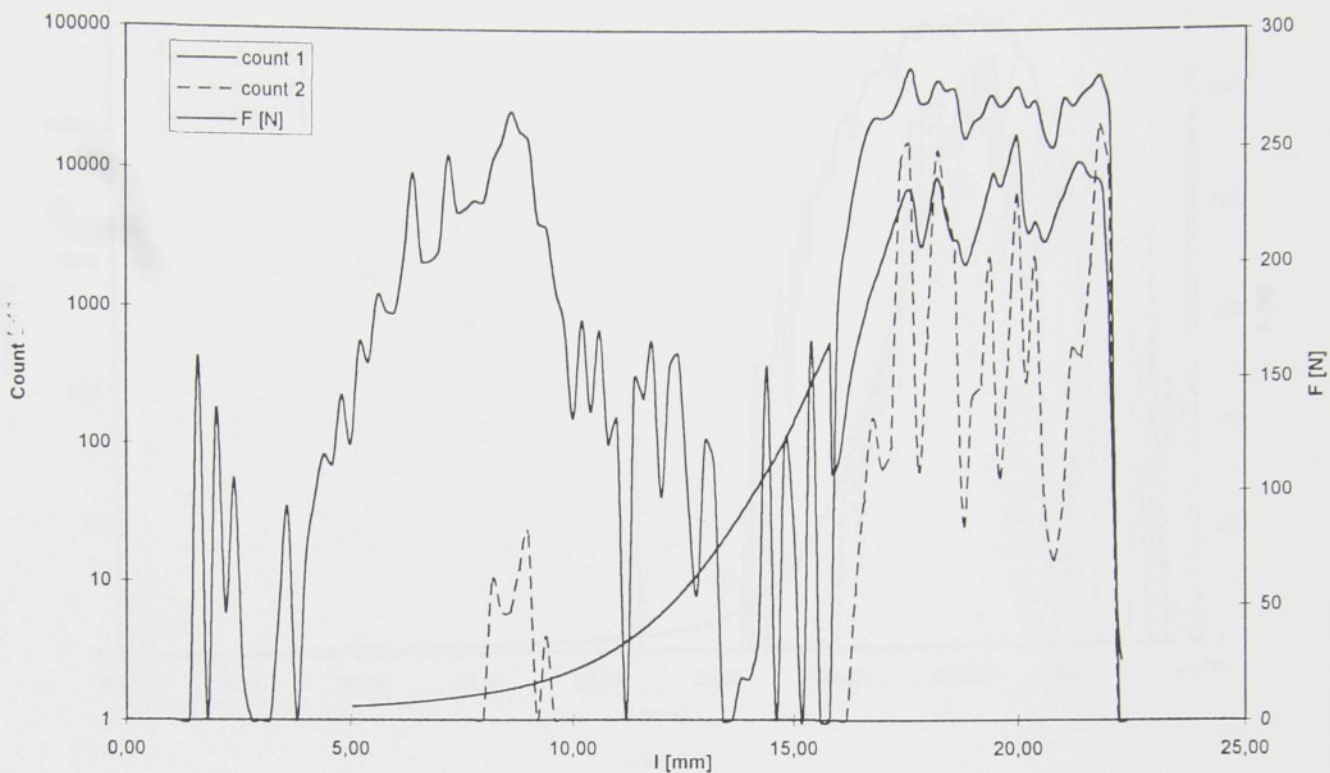
Graf aktivity AE u vzorku O-9



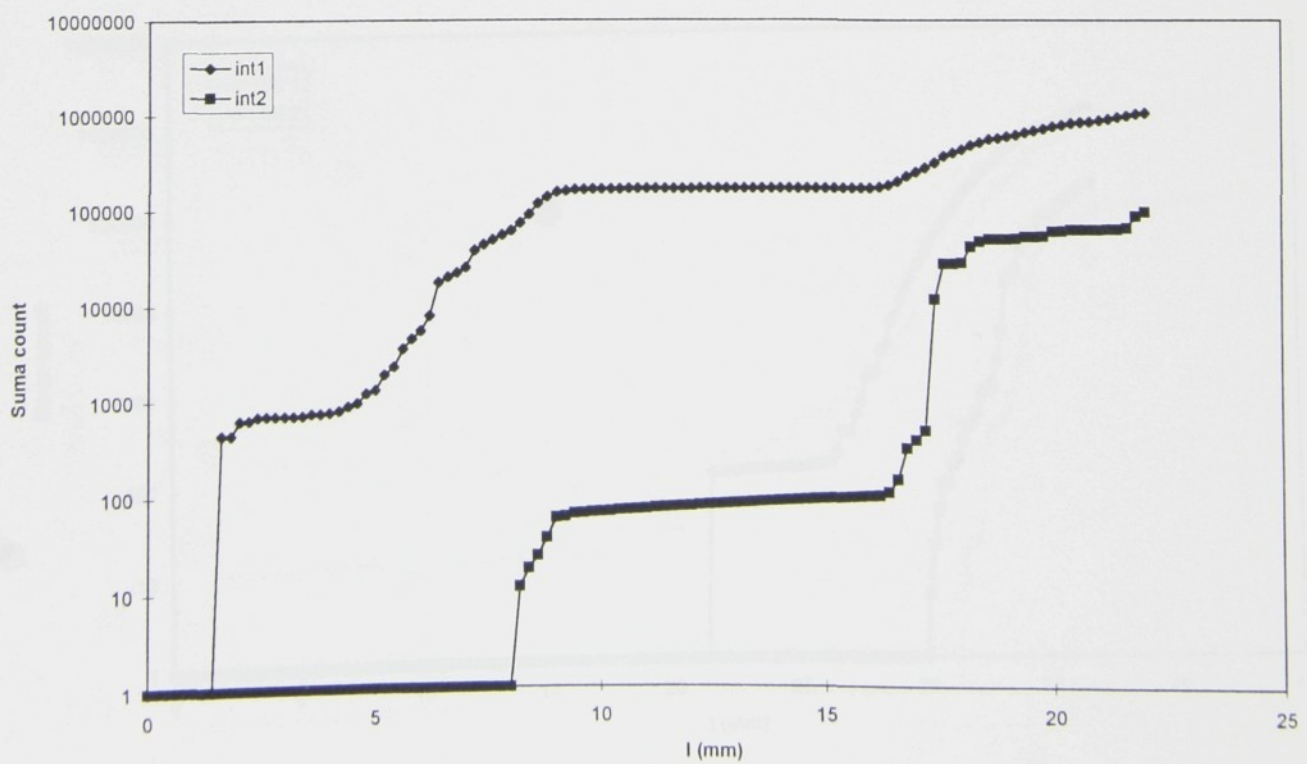
Integrační křivka Count 1 a Count 2 vzorku O-9



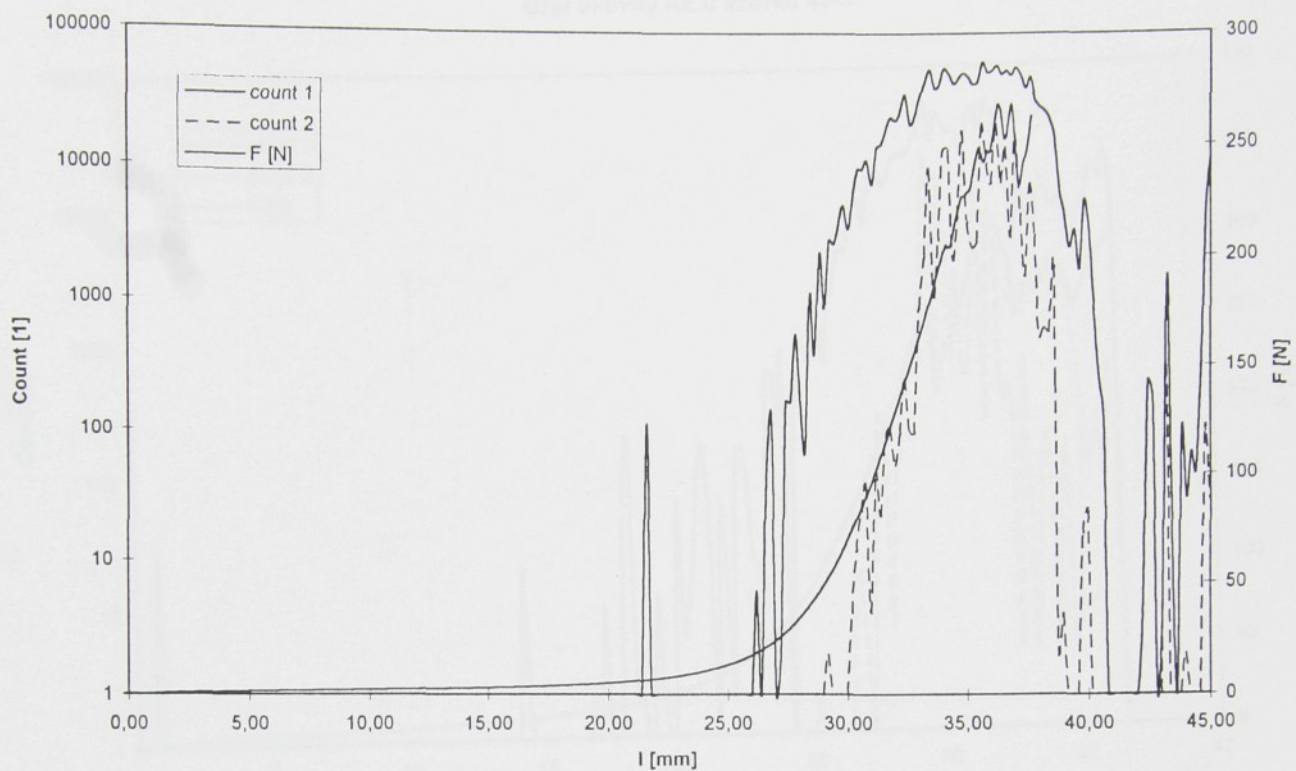
Graf aktivity AE u vzorku 45-1



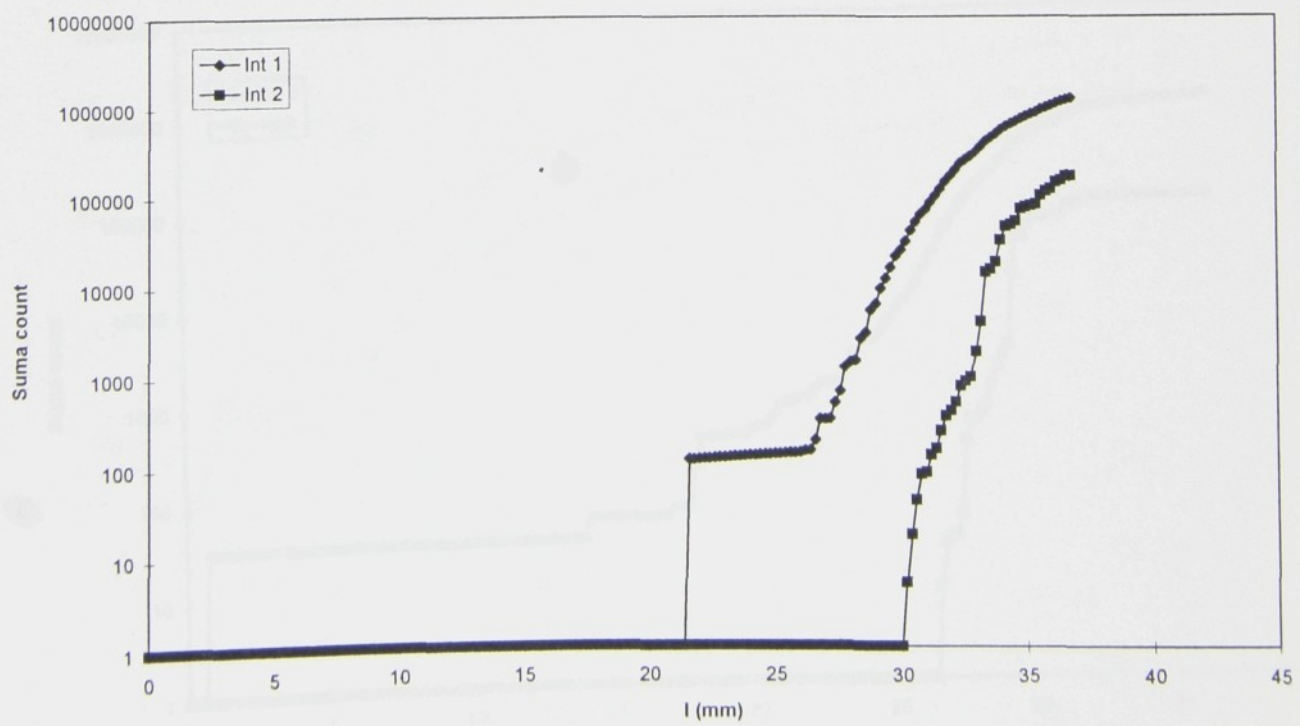
Integrační křivka Count 1 a Count 2 vzorku 45-1



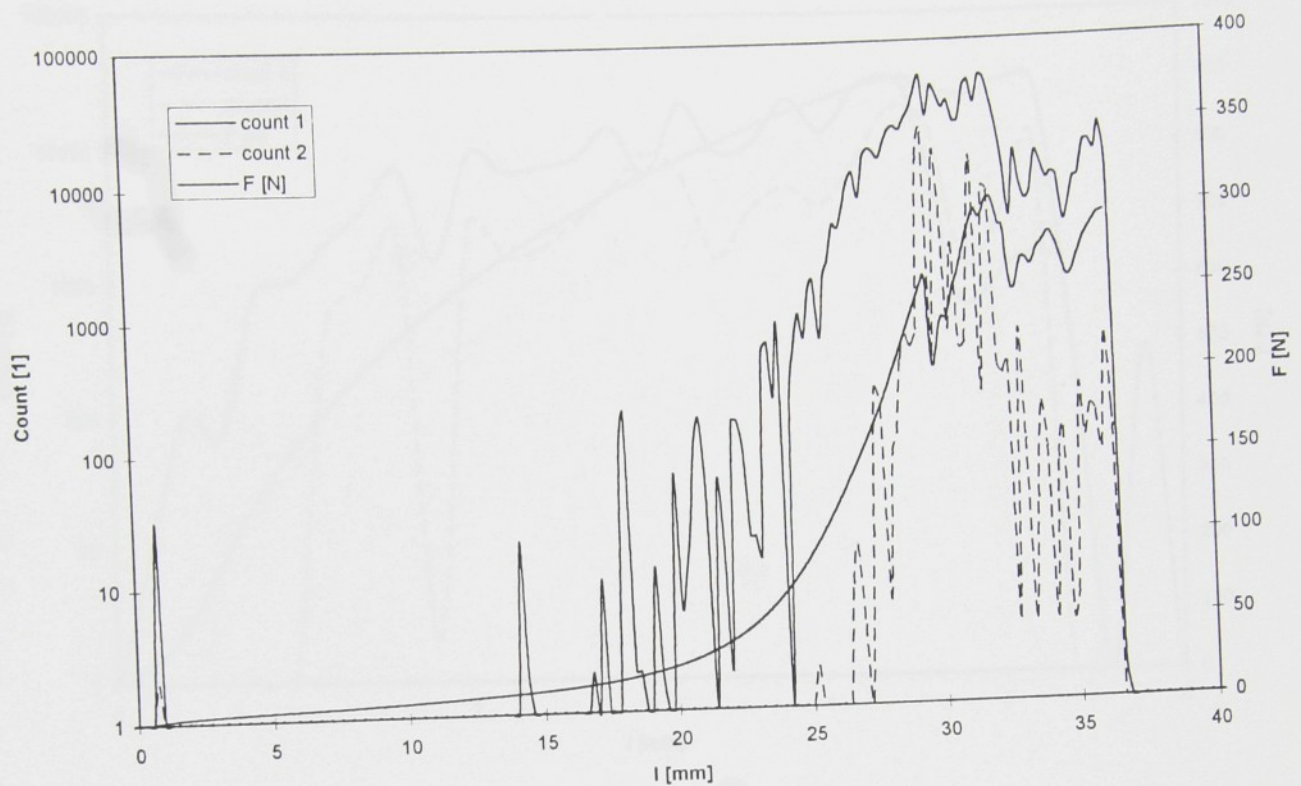
Graf aktivity AE u vzorku 45-2



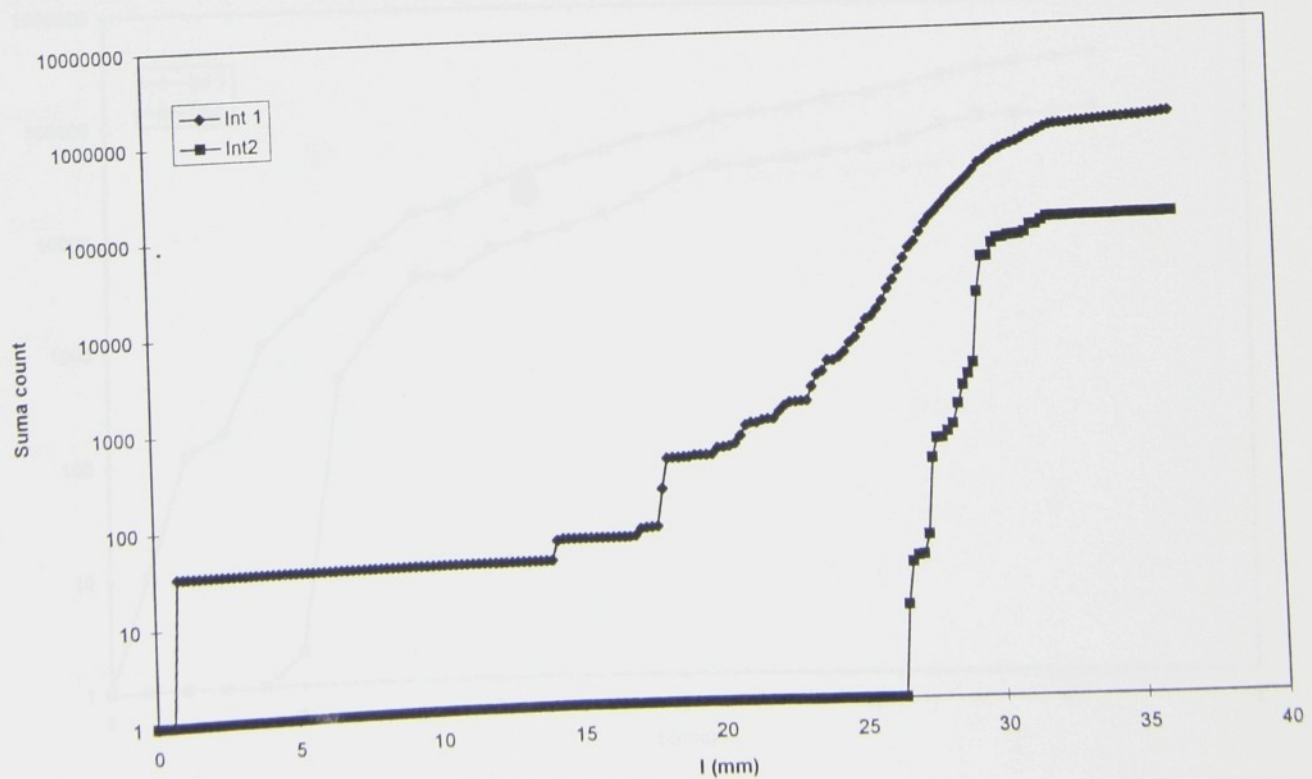
Integrační křivka Count 1 a Count 2 vzorku 45-2



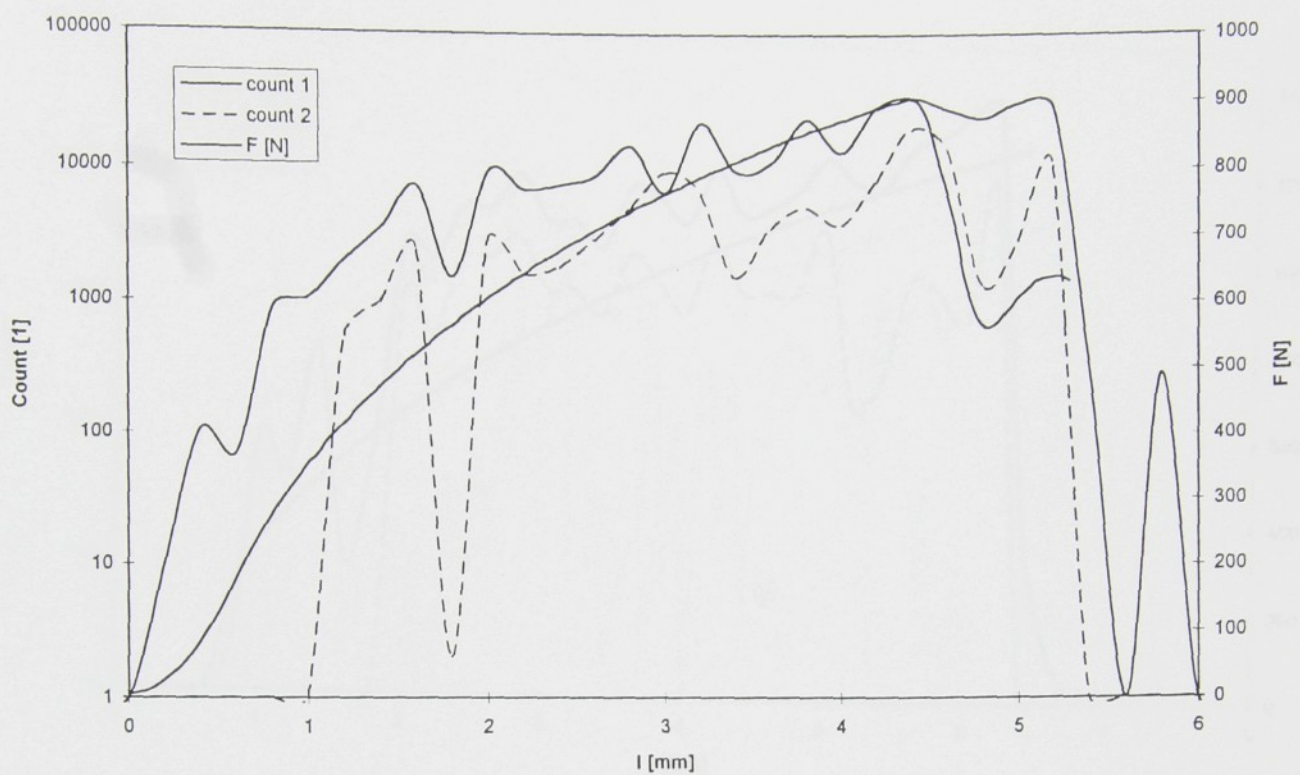
Graf aktivity AE u vzorku 45-3



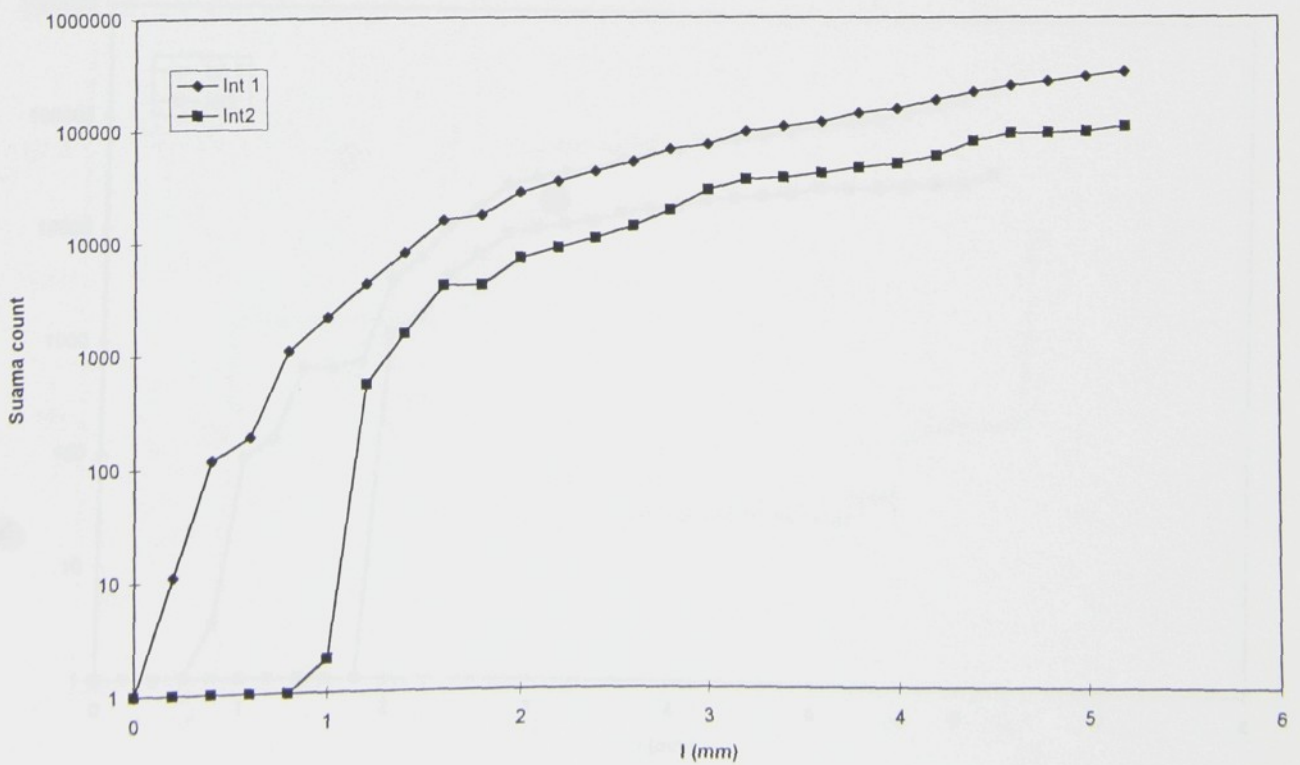
Integrační křivka Count 1 a Count 2 vzorku 45-3



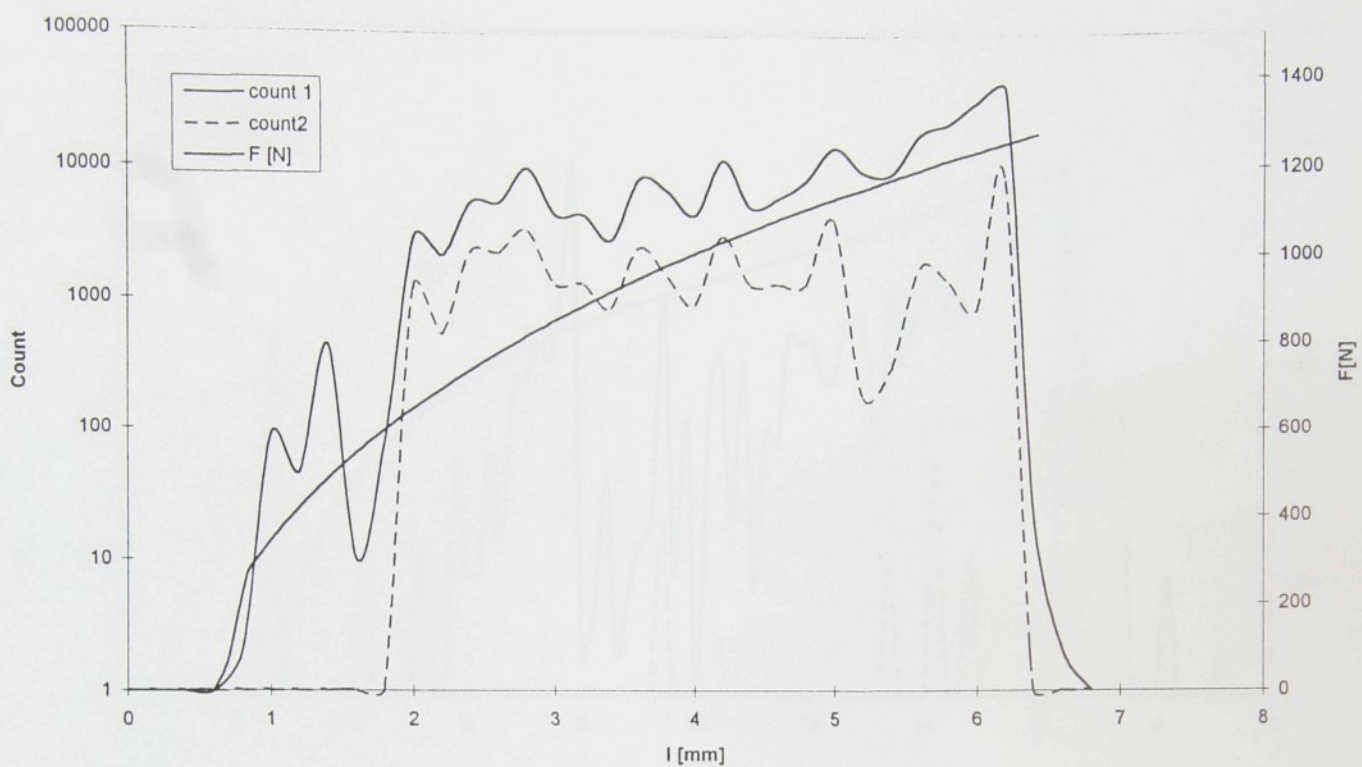
Graf aktivity AE 45-4



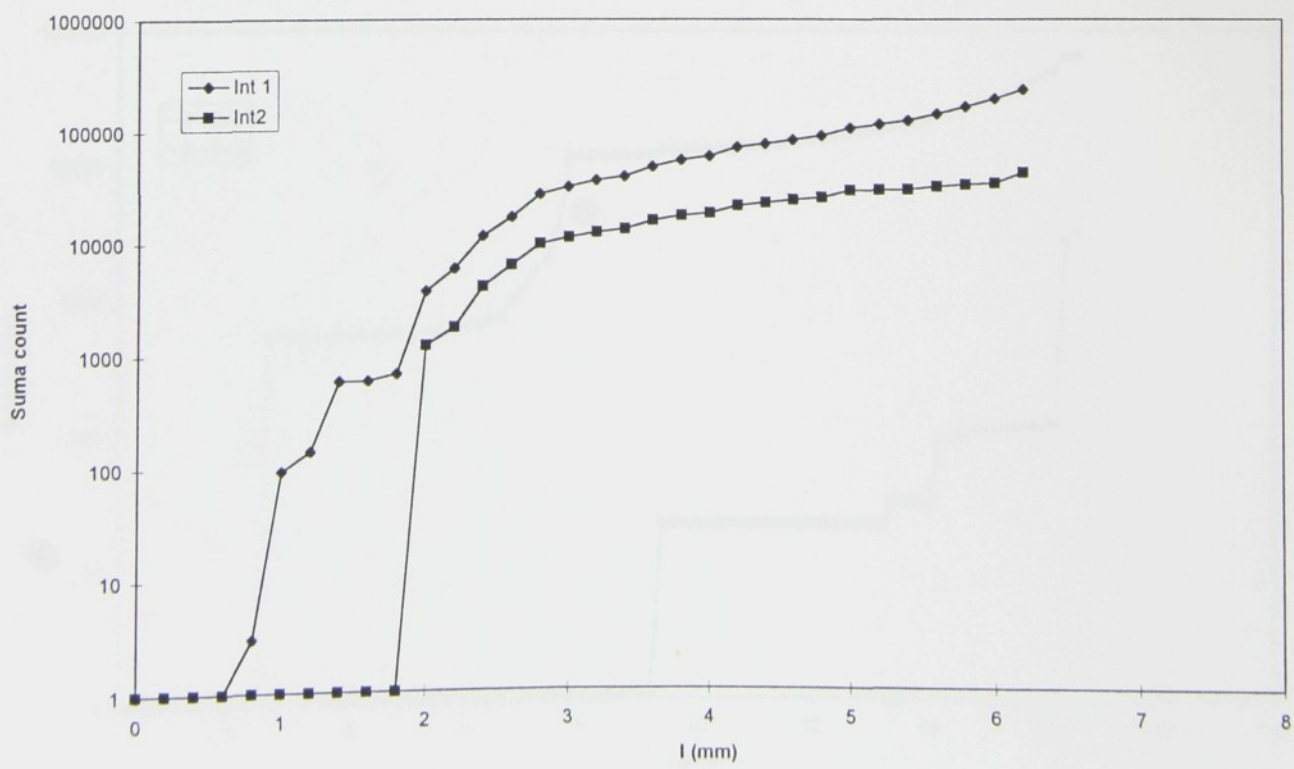
Integrační křivka Count 1 a Count 2 vzorku 45-4



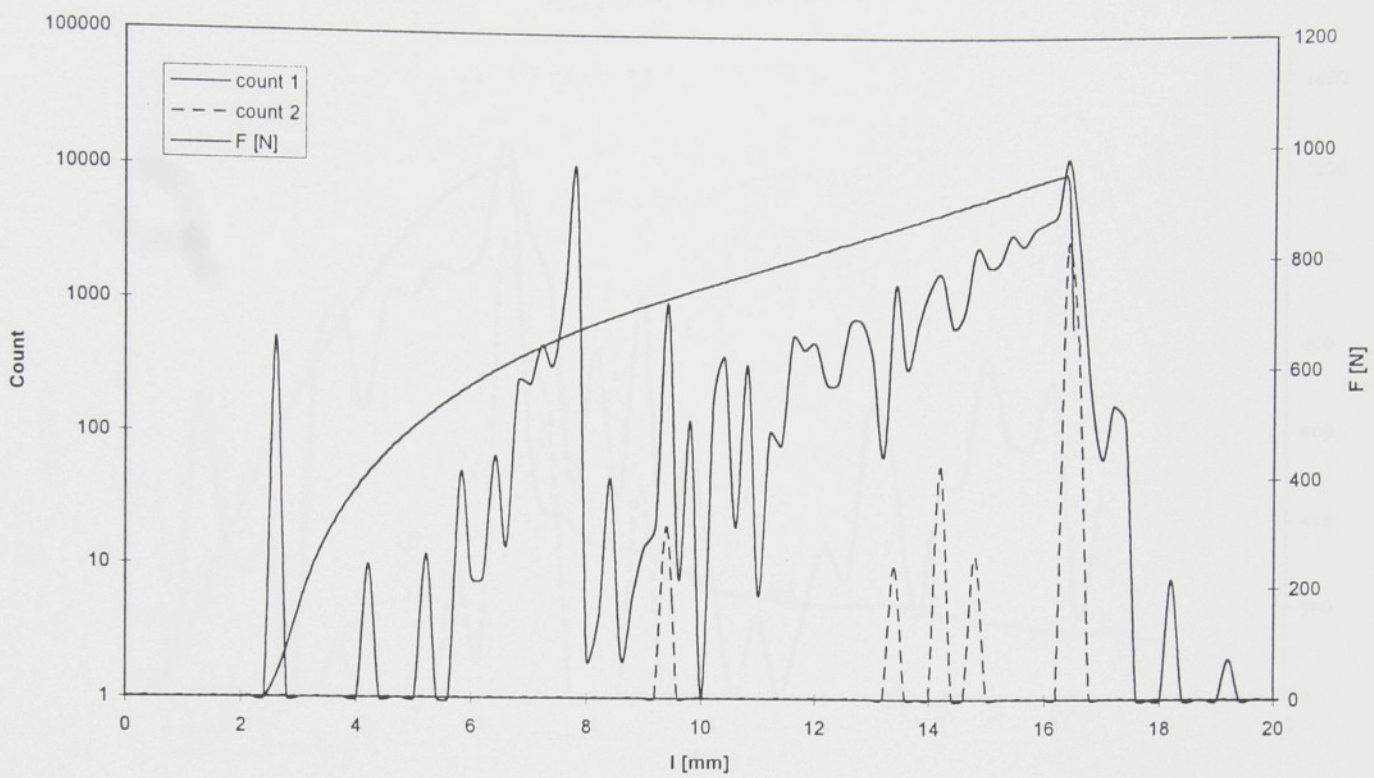
Graf aktivity AE u vzorku 45-5



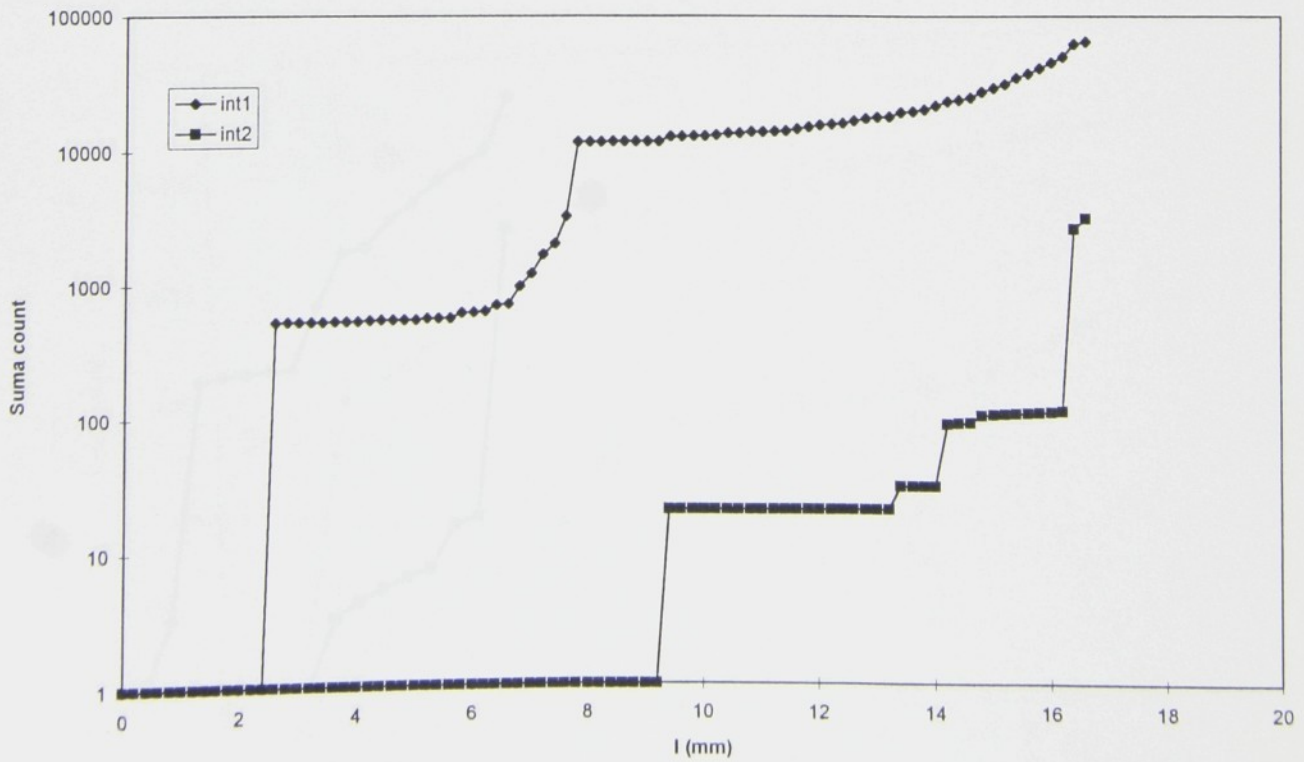
Integrační křivka Count 1 a Count 2 vzorku 45-5



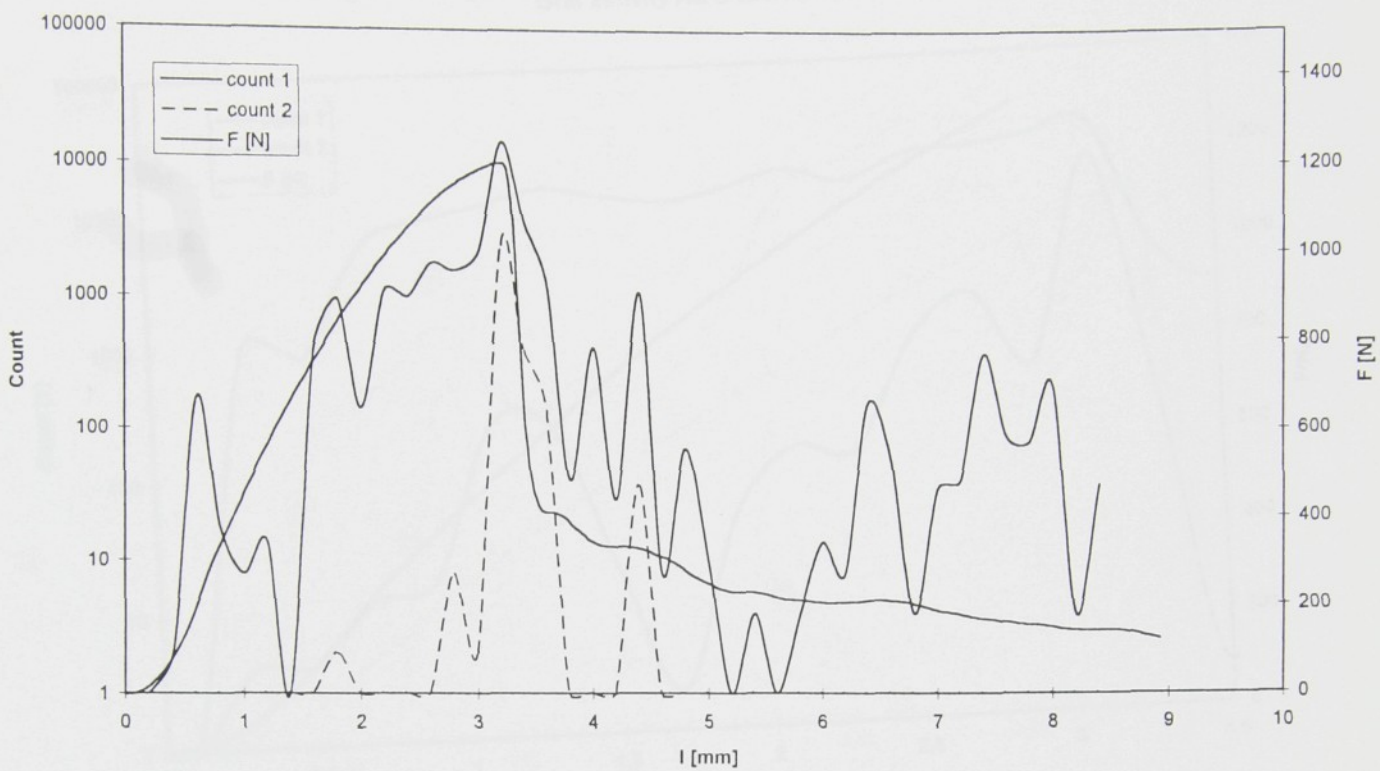
Graf aktivity AE u vzorku 45-6



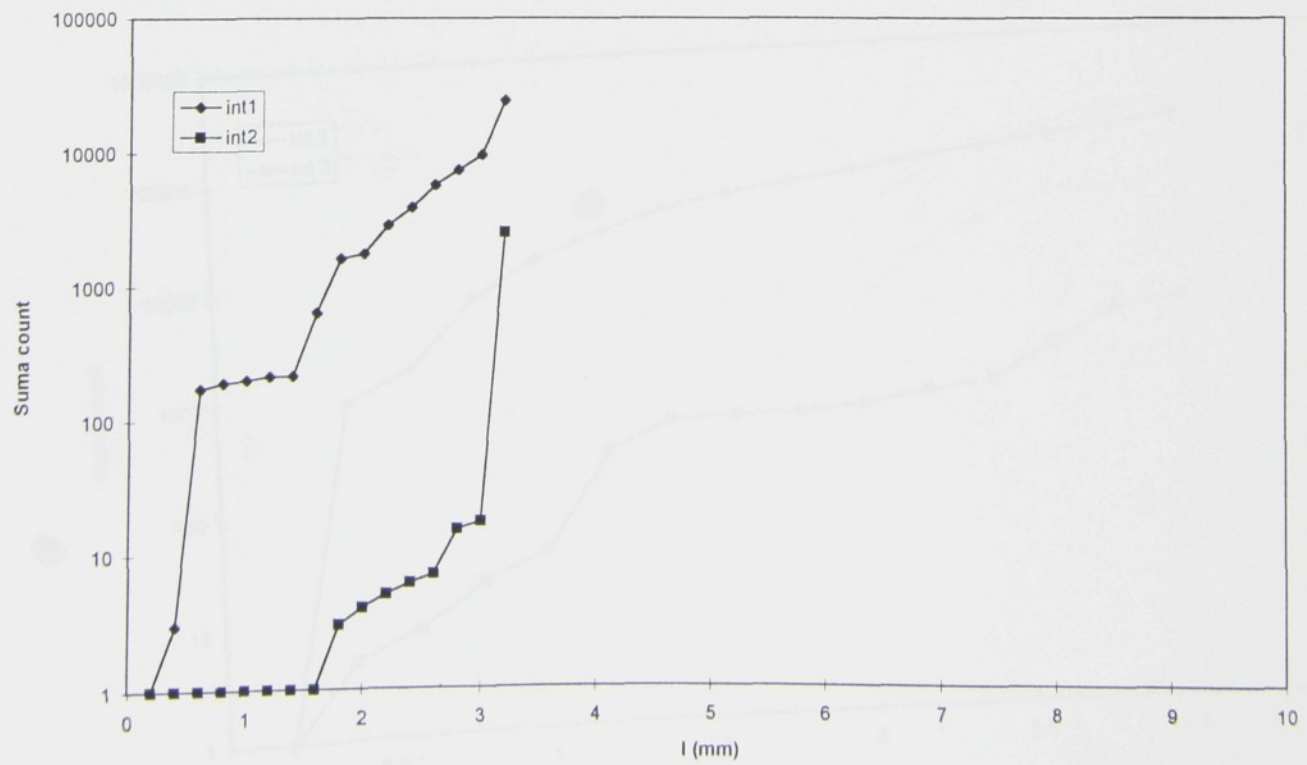
Integrační křivka Count 1 a Count 2 vzorku 45-6



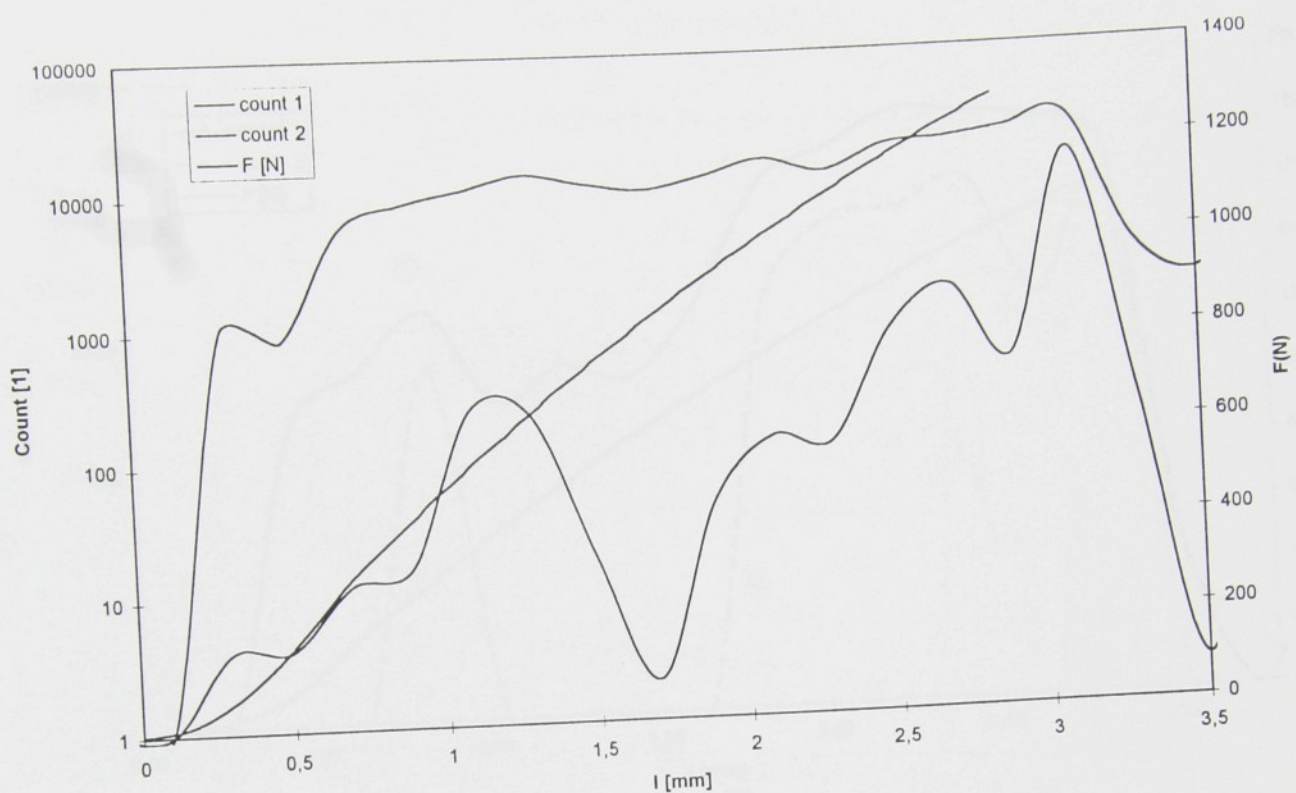
Graf aktivity u vzorku 45-7



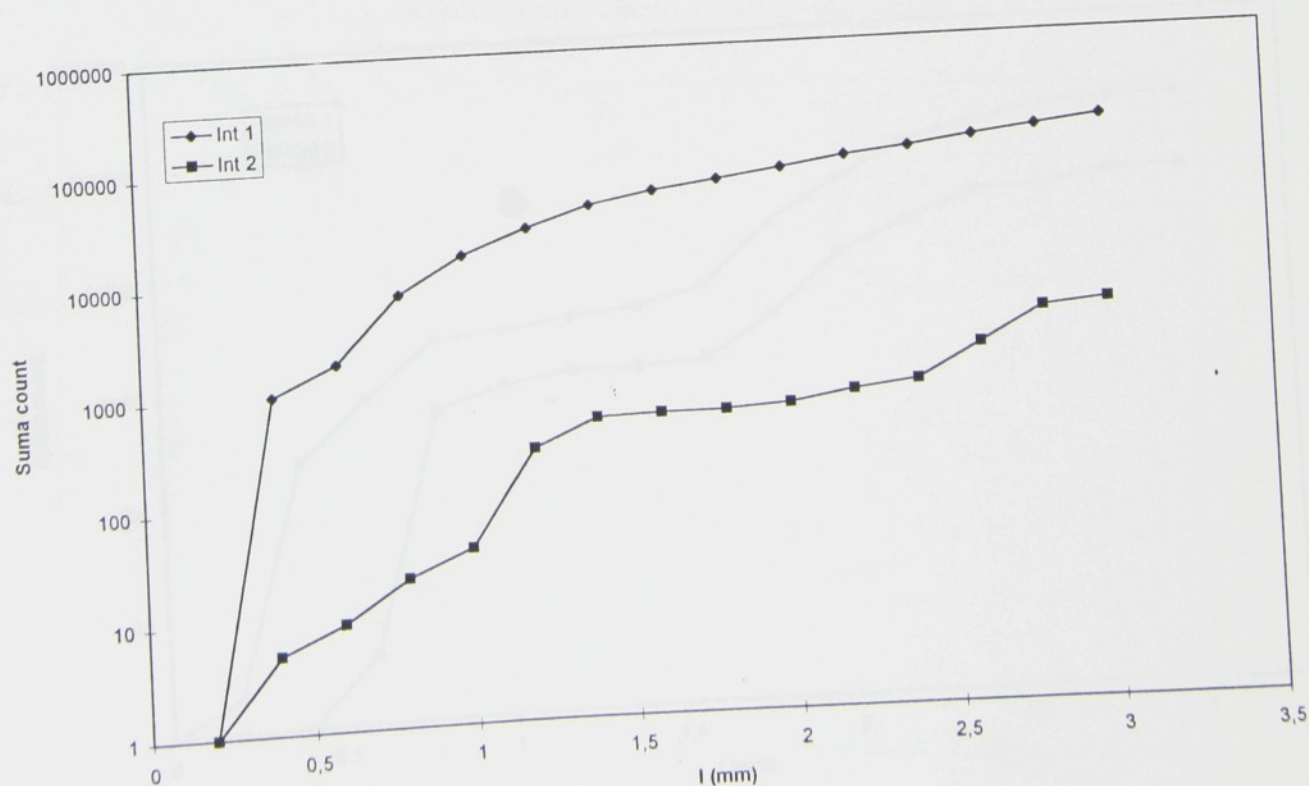
Integrační křivka Count 1 a Count 2 vzorku 45-7



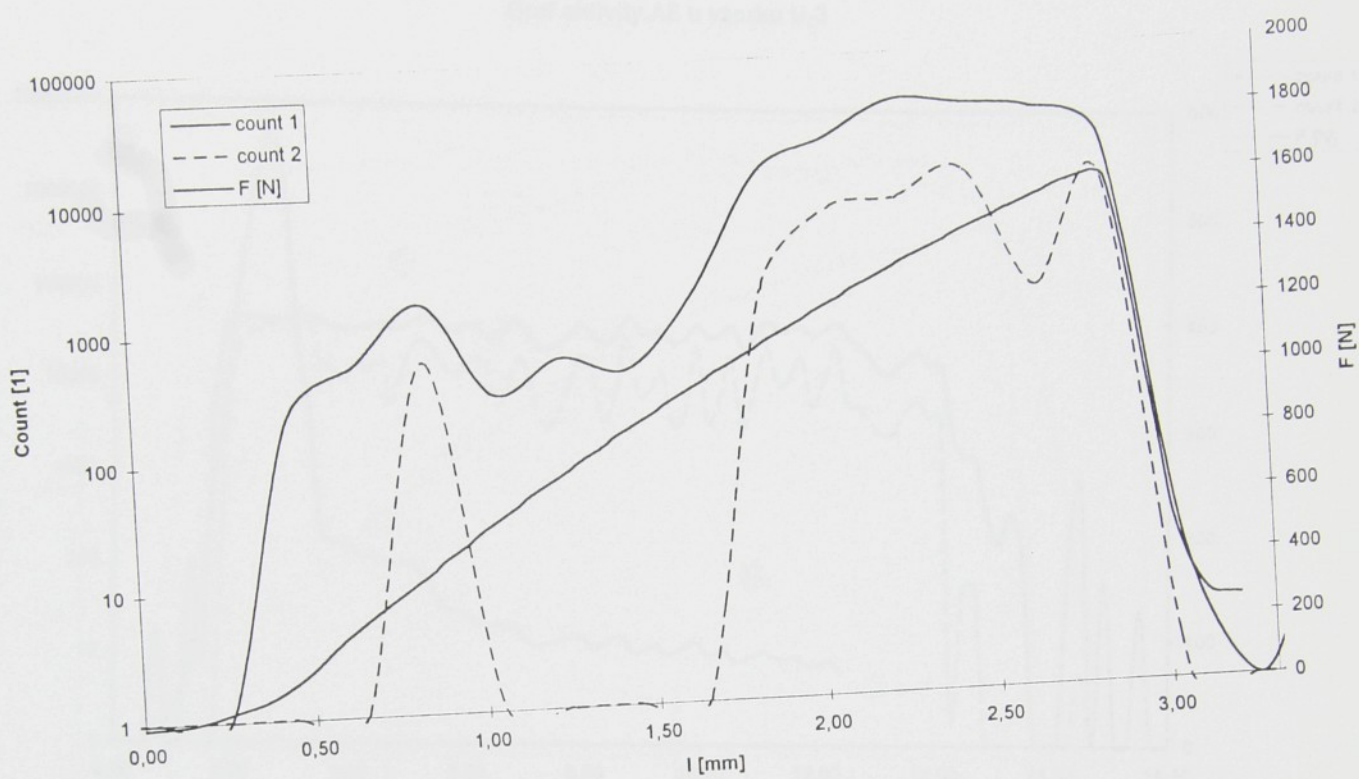
Graf aktivity AE u vzorku 45-8



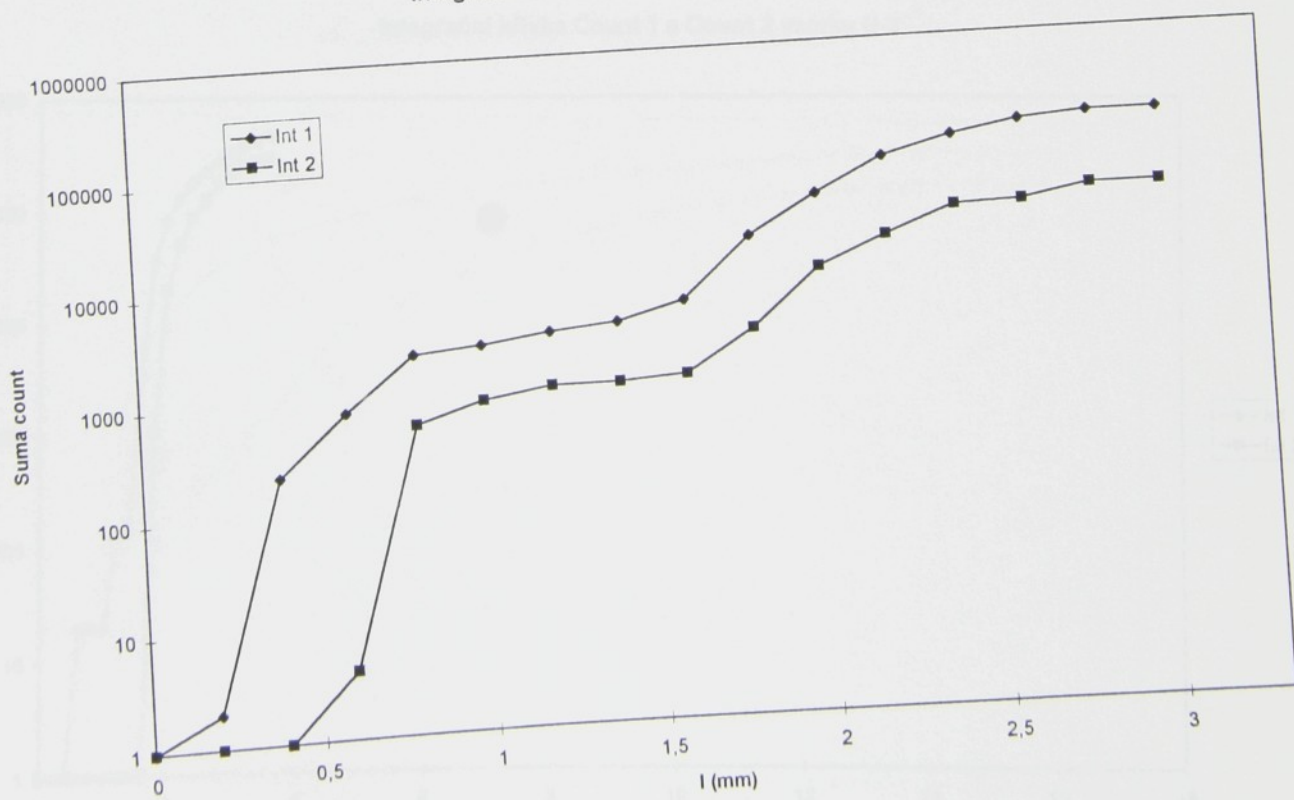
Integrační křivka Count 1 a Count 2 vzorku 45-8



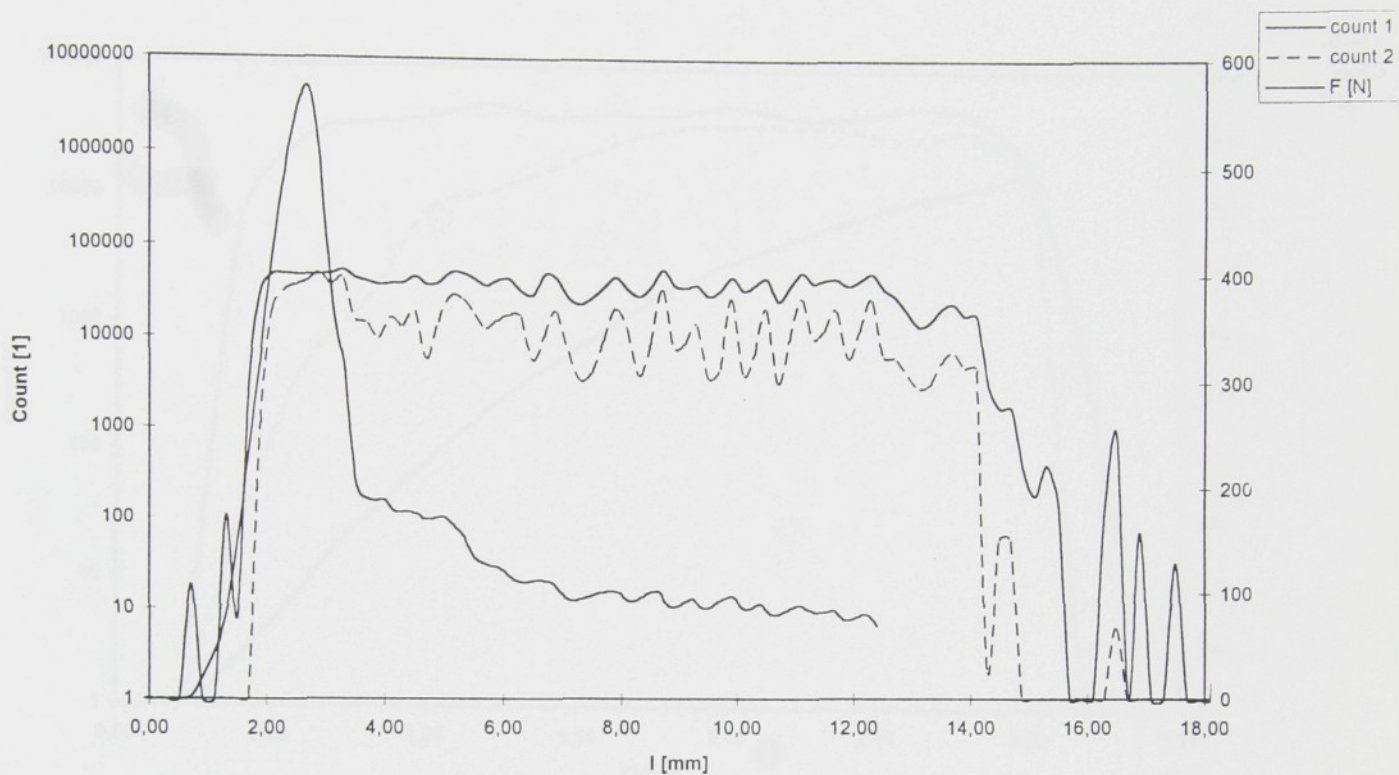
Graf aktivity AE u vzorku 45-9



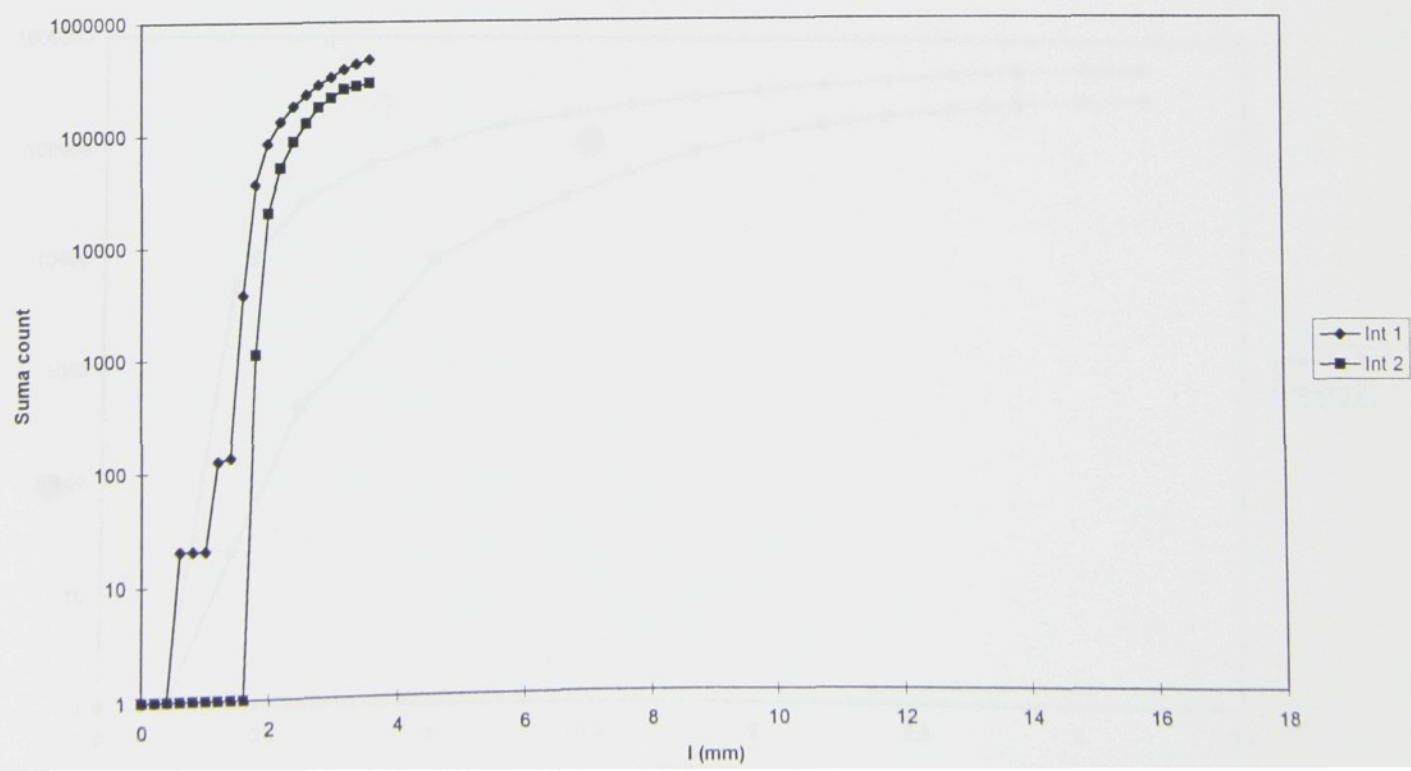
Integrační křivka Count 1 a Count 2 vzorku 45-9



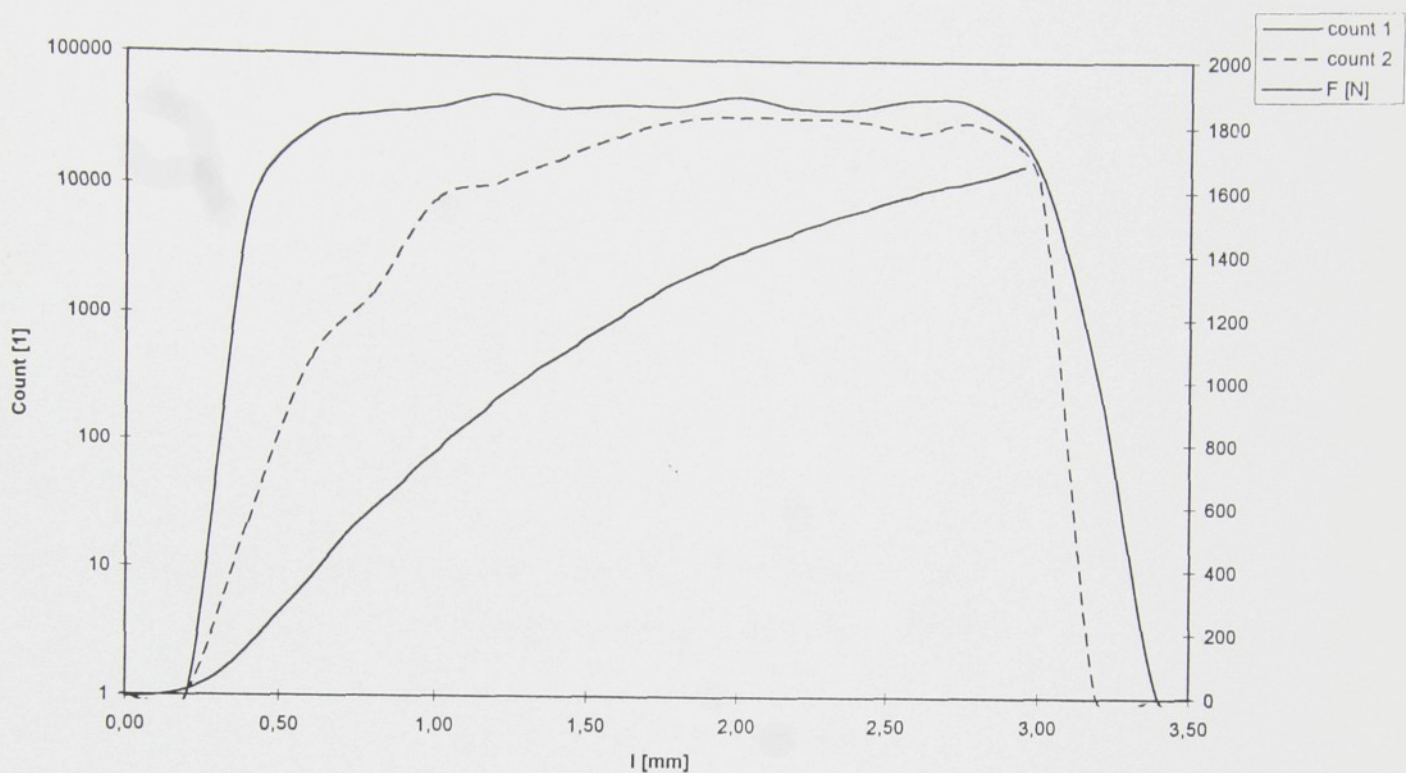
Graf aktivity AE u vzorku U-3



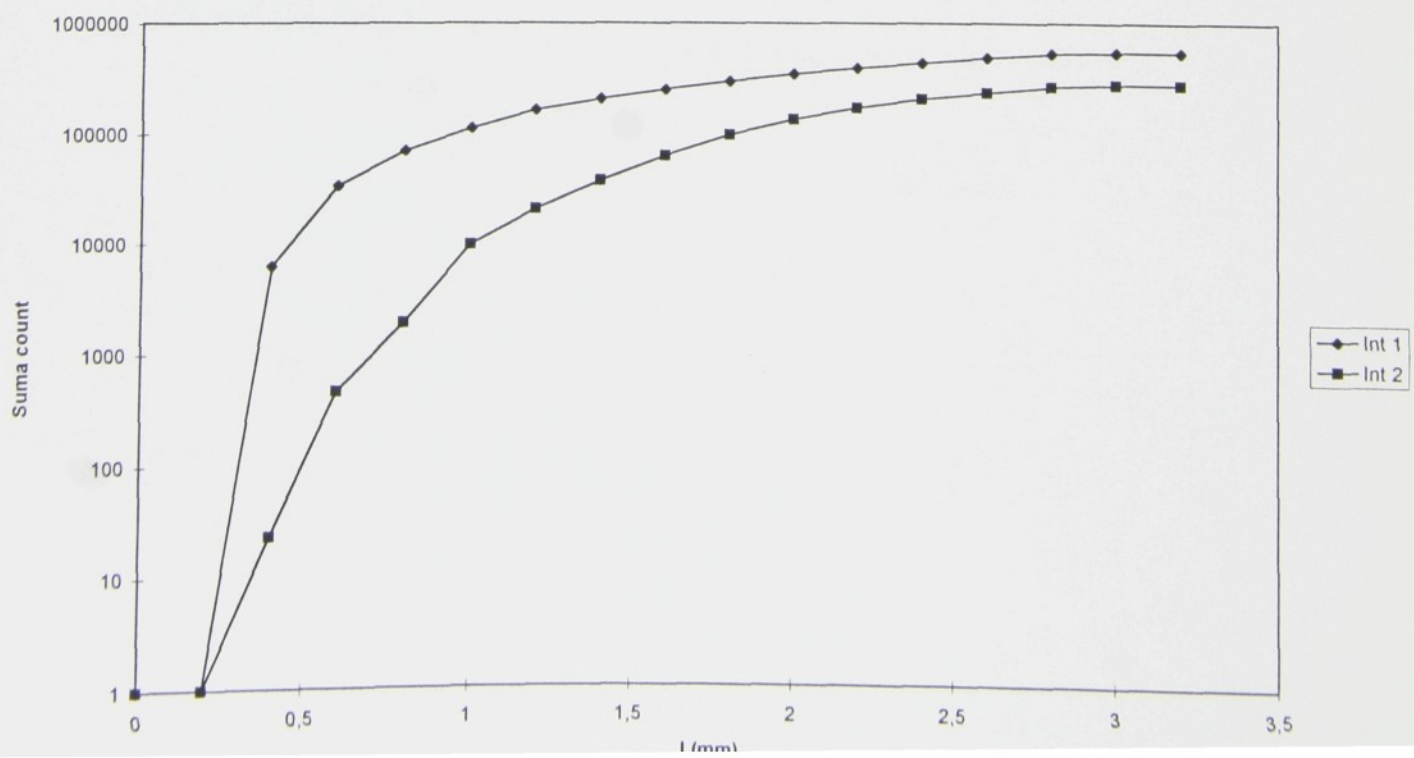
Integrační křivka Count 1 a Count 2 vzorku U-3



Graf aktivity AE u vzorku U-6



Integrační křivka Count 1 a Count 2 vzorku U-6



PRÍLOHA 6

Modelový výpočet adheznej energie

Počet listov : 1

MODELOVÝ VÝPOČET DEFORMAČNEJ PRÁCE :

Modul m_y [mm / N] : z grafu na ose y 41.5 mm m_y
zistené z výsledkov 332.2 N 1 N

$$m_y = 41.5 / 332.2 = 0.125 \text{ mm / N}$$

m_x [mm / m] : z grafu na ose x 25 mm m_x
zistené z výsledkov 21 % 1000 mm
upínacia dĺžka 40 mm 21% zo 40 mm = 16.2 mm

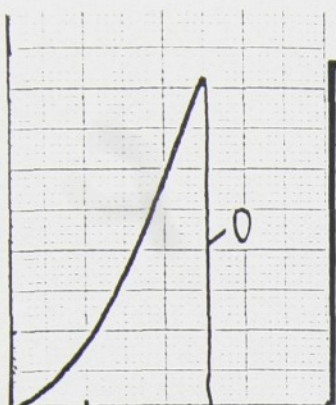
$$m_x = 1000 \times 25 / 16.2 = 1543.2 \text{ mm / m}$$

Deformačná práca :

$$A [J] = S [\text{mm}^2] / m_x [\text{mm / m}] \times m_y [\text{mm / N}]$$

$$A = 375 / (0.125 \times 1543.2) = \underline{\underline{1.94 [J]}}$$

VZOROVÝ VÝPOČET DEFORMAČNEJ PRÁCE :



DAT1=	14
NR	0
TH	3,1600s
FE	332,2N
EB	300,8N
EH	332,2N
AE	21%
AH	21%
AB	21,25%

$m_y[\text{mm}/\text{N}]$: z grafu na ose y
41,5 mm

zistené z výsledkov
332,2 N

$$m_y = \frac{41,5}{332,2} = 0,125 \text{ mm/N}$$

$m_x[\text{mm}/\text{m}]$: z grafu na ose x
25 mm

zistené z výsledkov
21% → 40 mm

$$21\% \text{ zo } 40 \text{ mm} = 16,2 \text{ mm}$$

$$m_x = \frac{1000 \cdot 25}{8,4} = 2973,2 \text{ mm/m}$$

DEFORMAČNÁ PRÁCA :

$$A_d = \frac{S[\text{mm}^2]}{m_x[\text{mm}/\text{m}] \cdot m_y[\text{mm}/\text{N}]}$$

$$A_d = \frac{8}{0,125 \cdot 2973,2} = 0,0215 = 215 \cdot 10^{-2} \text{ J}$$